



อิทธิพลของตัวแปรในกระบวนการทางความร้อนที่มีผลต่อสมบัติทางกลและโครงสร้าง  
ชุลภาคของอลูมิเนียมหล่อ แบบกึ่งของแข็ง A356

**Influence of Heat Treatment Process Parameters on the Mechanical Properties  
and the Microstructure of Semi-solid A356 Aluminum Alloy**

สิริพร ขันทองคำ

**Siriporn Kuntongkam**

วิทยานิพนธ์นี้เป็นส่วนหนึ่งของการศึกษาตามหลักสูตรปริญญา  
วิศวกรรมศาสตรมหาบัณฑิต สาขาวิชาวิศวกรรมวัสดุ  
มหาวิทยาลัยสงขลานครินทร์

**A Thesis Submitted in Partial Fulfillment of the Requirements for the Degree of  
Master of Engineering in Materials Engineering  
Prince of Songkla University**

**2552**

**ลิขสิทธิ์ของมหาวิทยาลัยสงขลานครินทร์**

(1)

<b>ชื่อวิทยานิพนธ์</b>	อิทธิพลของตัวแปรในกระบวนการทางความรู้ที่มีผลต่อสมบัติทางกลและโครงสร้างจุลภาคของอลูมิเนียมหล่อ แบบกึ่งของแข็ง A356
<b>ผู้เขียน</b>	นางสาว สิริพร ขันทองคำ
<b>สาขาวิชา</b>	วิศวกรรมวัสดุ

## อาจารย์ที่ปรึกษาวิทยานิพนธ์หลัก

ຄະນະກຽມກາຮສອນ

## (รองศาสตราจารย์ ดร.ศรีกุล วิสุทธิ์เมธากุ)

.....**ประธานกรรมการ**  
**(รองศาสตราจารย์ ดร.ชาوالิต ลิ่มภูมิวิจิตร)**

## อาจารย์ที่ปรึกษาวิทยานิพนธ์ร่วม

..... กรรมการ  
(รองศาสตราจารย์ ดร.ศิริกล วิสุทธิ์เมฆกร)

(ผู้ช่วยศาสตราจารย์ ดร.นวัชชัย ปลูกผล)

..... กรรมการ  
(ผู้ช่วยศาสตราจารย์ ดร.นวชัย ปลูกผล )

(ผู้ช่วยศาสตราจารย์ ดร.เจยฎา วรรณสินธุ์)

.....กรรมการ  
(ผู้ช่วยศาสตราจารย์ ดร.เจยฎา วรรณะินธ์)

.....กรรมการ  
(คร.ประภาศ เมืองจันทร์บุรี)

บัณฑิตวิทยาลัย มหาวิทยาลัยสงขลานครินทร์ อนุมัติให้นับวิทยานิพนธ์ชั้นบัน្តีเป็นส่วนหนึ่งของการศึกษา ตามหลักสูตรปริญญาวิศวกรรมศาสตร์มหาบัณฑิต สาขาวิชาบริหารธุรกิจ

# (รองศาสตราจารย์ ดร.เกริกชัย ทองหนู) คณบดีบัณฑิตวิทยาลัย

**ชื่อวิทยานิพนธ์ อิทธิพลของตัวแปรในกระบวนการทางความร้อนที่มีผลต่อสมบัติทางกลและ  
โครงสร้างจุลภาคของอลูมิเนียมหล่อ แบบกึ่งของแข็ง A356**

**ผู้เขียน** นางสาว ศิริพร ขันทองคำ

**สาขาวิชา** วิศวกรรมวัสดุ

**ปีการศึกษา** 2552

**บทคัดย่อ**

วิทยานิพนธ์นี้เป็นการศึกษาอิทธิพลของตัวแปรในกระบวนการทางความร้อนที่มีผลต่อสมบัติทางกลและโครงสร้างจุลภาคของอลูมิเนียมหล่อแบบกึ่งของแข็ง A356 โดยกระบวนการที่ใช้ในการเตรียมอลูมิเนียมหล่อแบบกึ่งของแข็งโดยกรรมวิธีการอัดขึ้นรูป คือ GISS-SC (Gas Induced Semi-Solid Squeezed Casting) และกระบวนการทางความร้อนที่ใช้คือ T5 และ T6 โดยกระบวนการ T5 กระทำโดยนำชิ้นงานไปปั่นโดยไม่ได้อบละลาย และกระบวนการ T6 ประกอบด้วยขั้นตอนการอบละลาย (Solution treatment) ที่อุณหภูมิ  $520^{\circ}\text{C}$  และ  $540^{\circ}\text{C}$  เป็นระยะเวลา 4 และ 8 ชั่วโมง และผ่านขั้นตอนการชุบ (Quenching) ด้วยการชุบชิ้นทดสอบในน้ำและนำชิ้นทดสอบเหล่านั้นผ่านขั้นตอนการบ่ม (Aging) ด้วยการอบชิ้นทดสอบที่อุณหภูมิ  $135$ ,  $165$  และ  $195^{\circ}\text{C}$  เป็นระยะเวลา 4, 8, 12 และ 16 ชั่วโมง ตามลำดับ และตรวจคุลักษณะ โครงสร้างจุลภาคโดยใช้กล้องจุลทรรศน์แบบใช้แสง (Optical Microscopy) และทดสอบสมบัติทางกลคือ การทดสอบความแข็งและความหนืดแรงดึง จากผลการทดลองพบว่า ชิ้นทดสอบในสภาวะหล่อโครงสร้างจุลภาคประกอบด้วยเฟส  $\alpha$ -Al ที่เป็นแบบก้อนกลม (Globular structure) ที่ล้อมรอบด้วยเฟสยูเทกติก (Eutectic Silicon) มีลักษณะเป็นแท่งยาวปลายแหลม แต่เมื่อพิจารณาโครงสร้างจุลภาคภายหลังการบ่มในทุกสภาวะพบว่าชิ้นทดสอบที่ผ่านการอบละลายมีการเปลี่ยนแปลงโครงสร้างจุลภาคที่เหมือนกันคือ เฟสยูเทกติกซิลิกอนจะมีความกลมมนมากขึ้น ซึ่งเกิดจากการเพริ่งของอะตอมซิลิกอนจากเฟสยูเทกติกละลายเข้าสู่เนื้อเมตริกซ์ เมื่อพิจารณาความแข็งของชิ้นทดสอบในทุกสภาวะของการบ่ม พบว่าค่าความแข็งเพิ่มขึ้นอย่างรวดเร็วตามระยะเวลาการบ่ม และเริ่มลดลงเมื่อผ่านจุดความแข็งสูงสุดที่อุณหภูมิคงที่ ซึ่งสภาวะที่ให้ค่าความแข็งสูงสุดในงานวิจัยนี้ เท่ากับ  $149.90 \text{ Hv}$  เป็นชิ้นงานที่ผ่านการอบละลายที่อุณหภูมิ  $540^{\circ}\text{C}$  เป็นระยะเวลา 4 ชั่วโมง และบ่มที่อุณหภูมิ  $135^{\circ}\text{C}$  เป็นระยะเวลา 12 ชั่วโมง และชิ้นงานที่ผ่านกระบวนการทางความร้อน T5 โครงสร้างจุลภาคประกอบด้วยเฟส  $\alpha$ -Al ที่เป็นแบบก้อนกลม (Globular structure) ที่ล้อมรอบด้วยเฟสยูเทกติก ซึ่งเฟสยูเทกติกซิลิกอน เมื่อพิจารณาความแข็งของชิ้นทดสอบในทุกสภาวะ สภาวะที่ให้ค่าความแข็งสูงสุดในงานวิจัยนี้เท่ากับ  $109.27 \text{ Hv}$  เป็นชิ้นงานที่ผ่านการบ่มที่อุณหภูมิ  $195^{\circ}\text{C}$  เป็นระยะเวลา 16 ชั่วโมง และเมื่อเปรียบเทียบผลของการทดสอบแรงดึงพบว่าค่าความ

ด้านท่านแรงดึงของชิ้นงานที่ไม่ผ่านกระบวนการทางความร้อนของชิ้นงาน Conventional Squeezed Casting (CSC) และชิ้นงานที่ไม่ผ่านกระบวนการทางความร้อนของชิ้นงาน Gas Induced Semi-Solid Squeezed Casting (GISS-SC) นั้นพบว่า ค่าความด้านท่านแรงดึงสูงสุดของชิ้นงานแบบ CSC มีค่าเท่ากับ 145 MPa และเบอร์เซ็นต์การยึดตัวมีค่าเท่ากับ 5.66 % และชิ้นงานแบบ GISS-SC มีค่าค่าความด้านท่านแรงดึงสูงสุดของชิ้นงานเท่ากับ 172.13 MPa และเบอร์เซ็นต์การยึดตัวมีค่าเท่ากับ 6.61% และชิ้นงานที่ผ่านกระบวนการทางความร้อนแบบ T5 ของชิ้นงาน GISS-SC มีค่าค่าความด้านท่านแรงดึงสูงสุดของชิ้นงานเท่ากับ 228.35 MPa และเบอร์เซ็นต์การยึดตัวมีค่าเท่ากับ 5.06% ในขณะที่ชิ้นงานที่ผ่านกรรมวิธีทางความร้อนแบบ T6 ของชิ้นงาน CSC มีค่าเท่ากับ 236.92 MPa และเบอร์เซ็นต์การยึดตัวมีค่าเท่ากับ 5.90% และชิ้นงาน GISS-SC มีค่าค่าความด้านท่านแรงดึงสูงสุดของชิ้นงานเท่ากับ 297.07 MPa และเบอร์เซ็นต์การยึดตัวมีค่าเท่ากับ 9.66% ซึ่งชิ้นงานที่ผ่านกระบวนการทางความร้อนแบบ T6 ที่ให้สมบัติด้านท่านแรงดึงสูงสุดคือที่สภาพการอบละลายที่อุณหภูมิ 540 °C เป็นระยะเวลา 8 ชั่วโมง และบ่ม ที่อุณหภูมิ 165 °C เป็นระยะเวลา 12 ชั่วโมง ซึ่งจากการทดสอบสมบัติทางกลพบว่า ชิ้นงาน GISS-SC ในขณะที่ก่อนผ่านกระบวนการทางความร้อนและหลังผ่านกระบวนการทางความร้อนนั้นจะให้สมบัติทางกลที่ดีกว่าชิ้นงาน CSC

**Thesis Title**      Influence of heat treatment process parameters on the mechanical properties and the microstructure of semi-solid A356 aluminum alloy

**Author**                Miss Siriporn Kuntongkam

**Major Program** Materials Engineering

**Academic Year** 2009

### **Abstract**

The goal of this research is to study the influence of heat treatment processing parameters on the mechanical properties and the microstructure of semi-solid aluminum alloy A356 . The process in preparation semi-solid aluminum alloy is called Gas Induced Semi-Solid Squeezed Casting (GISS-SC) and the heat treatment process is T5 and T6. T5 is done by aging the specimens at various temperature and time of 135, 165 and 195°C for 4, 8,12 and 16 hrs, respectively. T6 comprises of 3 steps: solution treatment process (at the temperature of 520°C and 540°C for 4 and 8 hrs.) specimens quenching and aging process at the temperature of 135, 165 and 195°C for 4, 8, 12 and 16 hr, respectively. Microstructure observations were performed on optical microscopy (OM). The measured mechanical properties are hardness and tensile properties. Form the microstructure observation, it was found that the structure of as-cast specimen from GISS process consists of two main phase, globular  $\alpha$  -Al phase and rod eutectic Si phase along the grain boundaries. After solution treated process, the structure also consists of  $\alpha$  -Al phase. However, and eutectic Si phase; the eutectic Si were clearly fragmented and spheroidized (after aging process, the microstructure is same; it consists of  $\alpha$  -Al phase and eutectic Si phase and couldn't be detected  $Mg_2Si$  particle form precipitations. Because size of it is nanometer which analyzer by transmission electron microscopy). The optimum condition is solution treated at 540°C for 4 hr and aged at 135°C for 12 hr. which the hardness of 149.90 Hv. And T5 process the microstructure consist of  $\alpha$  -Al phase and eutectic Si phase and the optimum condition is aged at 195°C for 16 hr. which the hardness of 109.27 Hv. While tensile test of the samples as-acst of Conventional Squeezed Casting (CSC). And the ultimate tensile strength is 145 MPa and percent elongation is 5.66%. Gas Induced Semi-Solid Squeezed Casting (GISS-SC) the ultimate tensile strength is 172.13 and percent elongation is 6.61%. After T5 the samples process GISS-SC is the ultimate tensile strength is 228.35 MPa and percent elongation is 5.06%.

And after T6 of samples process CSC and GISS-SC the ultimate tensile strength and percent elongation is 236.92 MPa and 5.90%, 297.03 MPa and 9.66%, respectively.

## สารบัญ

สารบัญ	หน้า
รายการตาราง	(10)
รายการรูป	(11)
สัญลักษณ์ คำย่อและตัวย่อ	(14)
บทที่	
1 บทนำ	1
1.1 ความสำคัญและที่มาของโครงการวิจัย	2
1.2 วัตถุประสงค์ของโครงการวิจัย	2
1.3 ขอบเขตของโครงการวิจัย	2
1.4 ประโยชน์ที่คาดว่าจะได้รับ	2
2 ทฤษฎีและงานวิจัยที่เกี่ยวข้อง	3
2.1 โลหะอลูมิเนียม	3
2.2 ขั้นตอนการบ่ม	8
2.3 กลไกการแพร่ของอะตอม	11
2.4 การเกิดเฟสใหม่	13
2.5 การโตของอนุภาคที่เกิดการแยกเฟส	25
2.6 Precipitate Transformations	28
2.7 การเติบโตของอนุภาค Precipitate	31
2.8 กลไกการเพิ่มความแข็งแรงจากอนุภาคที่เกิดขึ้นบนเนื้อเมตริกซ์	31
2.9 ปัจจัยที่มีผลต่อขั้นตอนการบ่ม	34
2.10 การผลิตโลหะกึ่งของแข็งด้วยกรรมวิธีปล่อยฟองแก๊สระหว่างการแข็งตัว	38
2.11 การทดสอบแรงดึง	39
2.12 การทดสอบความแข็ง	42
2.13 งานวิจัยที่เกี่ยวข้อง	43
3 การดำเนินงานวิจัย	51
3.1 การขึ้นรูปโลหะกึ่งของแข็งโดยวิธี Squeeze casting เกรด A356	51
3.2 ขั้นตอนทดสอบการบ่มชั้นทดสอบ	52

	หน้า
3.3 การตรวจสอบโครงสร้างชุดภาค	53
3.4 การเตรียมชิ้นงานเพื่อทดสอบความแข็ง	54
3.5 การเตรียมชิ้นงานเพื่อทดสอบแรงดึง	54
<b>4 ผลการทดลองและอภิปรายผลการทดลอง</b>	<b>57</b>
4.1 ชิ้นทดสอบในสภาวะหล่อ	57
4.2 ชิ้นทดสอบหลังผ่านกระบวนการทางความร้อนแบบ T5	59
4.3 ชิ้นทดสอบหลังผ่านกระบวนการทางความร้อนแบบ T6	68
<b>5 สรุปผลการทดลอง</b>	<b>77</b>
<b>บรรณานุกรม</b>	<b>80</b>
ภาคผนวก 1 ผลงานที่เผยแพร่ในงานประชุมวิชาการ	84
<b>ประวัติผู้เขียน</b>	<b>90</b>

## รายการตาราง

ตาราง	หน้า
2.1 ตารางแสดงสัญลักษณ์กู้มอภูมินียมหล่อพสม	4
2.2 ตารางแสดงสัญลักษณ์การทำเทมเปอร์	5
2.3 ตารางแสดงลักษณะโครงสร้างผลึกของเฟส $\beta$ "	50
4.1 ตารางแสดงค่าความแข็งของชิ้นทดสอบที่สภาวะต่างๆ	69
4.2 ตารางแสดงค่าความด้านทานแรงดึงและเปอร์เซ็นต์การยึดตัวของชิ้นงาน ที่สภาวะต่างๆ	75

## รายการรูป

รูปที่	หน้า
2.1 แผนภาพสมดุลภาคโลหะผสมอลูมิเนียม – ซิลิกอน – แมกนีเซียม	7
2.2 ขั้นตอนการบ่มของโลหะผสมอลูมิเนียม-ซิลิกอนหล่อเกรด A356	8
2.3 ความสามารถในการละลายของชาตุซิลิกอนและแมกนีเซียมภายในเนื้อเมตริกซ์ กับอุณหภูมิ	9
2.4 ลักษณะการแพร่ของอะตอมแบบแทรกตัว	11
2.5 ลักษณะการแพร่ของอะตอมซิลิกอนภายในเฟส $\alpha - Al$ เป็นแบบแทนที่	13
2.6 ลักษณะพลังงานความเครียดภายในโครงสร้างผลึกที่เกิดจากอะตอมที่มีขนาดแตกต่างกันภายในโครงสร้างผลึก	13
2.7 ความแตกต่างพลังงานอิสระภายในเนื้อเมตริกซ์กับอนุภาค $Mg_2Si$ ( $\beta$ Phase)	14
2.8 การเปลี่ยนแปลงของพลังงานอิสระ (Free Energy) กับการเกิดเฟสใหม่แบบ Homogenous ที่มีรูปร่างทรงกลมมีรัศมีเท่ากับ $r$	14
2.9 แผนภาพแสดงการเปลี่ยนแปลงพลังงานอิสระกับส่วนผสมทางเคมีของโลหะผสมในขั้นตอน Aging	17
2.10 ความสัมพันธ์ระหว่างอัตราการเกิดเฟสใหม่แบบเนื้อเดียวกับกับอัตราการเย็นตัวของชิ้นทดสอบสำหรับโลหะผสมที่มีความเข้มข้นเท่ากับ $X_0$	20
2.11 ลักษณะของการเกิดนิวเคลียสแบบ Heterogeneous ที่เกิดขึ้นตามขอบเกรน	22
2.12 ความสัมพันธ์ระหว่าง $(\Delta G_{hetero}^* / \Delta G_{hom}_o^*)$ กับมุม $\cos \theta$	23
2.13 การลดขนาด $(\Delta G^*)$ ของอนุภาค Precipitate มีบริเวณรอยต่อระหว่างเฟสแบบ Coherent	24
2.14 การโตของอนุภาค Precipitate ด้วยอาศัยการแพร่แบบแทนที่	26
2.15 อัตราการเย็นตัวของชิ้นทดสอบกับความเร็วในการเติบโตของอนุภาค Precipitate	28
2.16 ความสัมพันธ์พลังงานอิสระกับความเข้มข้นของซิลิกอนและแมกนีเซียม อะตอมภายในเนื้อเมตริกซ์ภายในชั้นตอน Aging	29
2.17 ลำดับการเปลี่ยนเฟสของโลหะผสมอลูมิเนียม-ซิลิกอนเกรด A356 ที่ผ่านการบ่ม	29
2.18 ปรากฏการณ์ Coarsening ของอนุภาค Precipitate ส่งผลต่อลักษณะการขัดขวางการเคลื่อนที่ของดีสโลಡชัน ทำให้ชิ้นทดสอบมีความแข็งแรงเพิ่มขึ้น	31

## รายการรูป (ต่อ)

รูปที่	หน้า
2.19 กลไกการเพิ่มความแข็งแรงของชิ้นทดสอบในขั้นตอนการบ่ม	32
2.20 การเคลื่อนที่ของคีสโลเกชันผ่านอนุภาคด้วยกลไก Particle Cutting	33
2.21 การเคลื่อนที่ของคีสโลเกชันผ่านอนุภาคด้วยกลไก Particle Bowing	
2.22 อัตราการเย็นตัวของชิ้นทดสอบกับอนุภาค $Mg_2Si$ หลังจากขั้นตอน Aging	35
2.23 ความสัมพันธ์ระหว่างอัตราการเย็นตัวของชิ้นทดสอบกับบริเวณ Precipitate Free Zone (PFZ) ที่เกิดขึ้นของทดสอบที่ผ่านขั้นตอน Aging	36
2.24 Schematic ของกระบวนการผลิตโลหะกึ่งของแข็งด้วยกรรมวิธีการปล่อยฟองแก๊ส	38
2.25 เส้นโค้งความเค้น-ความเครียดแบบที่ไม่มีจุดคราก	40
2.26 เปรียบเทียบเส้นโค้งความเค้น-ความเครียดของวัสดุประยะและวัสดุพลาสติก Mold ที่ใช้ในการอัดขึ้นรูปชิ้นงาน	41
3.1 ชิ้นงานหล่อที่ได้จากการขึ้นรูปโลหะกึ่งของแข็งโดยวิธี Squeeze cast !กรด A356	51
3.2 ขั้นตอนการบ่มชิ้นงานทดสอบด้วยกระบวนการทางความร้อนแบบ T6	52
3.3 ลักษณะรูปร่างของชิ้นงานที่นำไปทำการตรวจสอบโครงสร้างจุลภาค	53
3.5 ชิ้นงานทดสอบแรงดึงตามมาตรฐาน ASTM เบอร์ E 8M-04	54
3.6 ชิ้นงานทดสอบแรงดึงภายหลังการเตรียมตามมาตรฐาน ASTM เบอร์ E 8M-04	55
4.1 โครงสร้างจุลภาคของชิ้นทดสอบก่อนการบ่ม	57
4.2 กราฟแสดงความสัมพันธ์ระหว่างค่า Ultimate Tensile Strength และ Percent Elongation ของชิ้นทดสอบในสภาวะหล่อต่างๆ	59
4.3 โครงสร้างจุลภาคของชิ้นทดสอบที่ผ่านกระบวนการทางความร้อน T5 ที่สภาวะต่างๆ	60
4.4 กราฟแสดงความสัมพันธ์ระหว่างค่าความแข็งกับเวลาที่ใช้ในการบ่มของชิ้นทดสอบ ที่อุณหภูมิการบ่ม 135, 165 และ $195^{\circ}C$	61
4.5 กราฟแสดงความสัมพันธ์ระหว่างค่าความต้านทานแรงดึงของชิ้นทดสอบกับเวลา ที่ใช้ในการบ่มชิ้นทดสอบ ที่อุณหภูมิ 135 และ $195^{\circ}C$	62
4.6 โครงสร้างจุลภาคของชิ้นทดสอบที่ผ่านการอบละลายที่อุณหภูมิ 520 และ $540^{\circ}C$ เป็นเวลา 4 และ 8 ชั่วโมง	63

## รายการรูป (ต่อ)

รูปที่	หน้า
4.7 โครงสร้างจุลภาคของชิ้นทดสอบที่ผ่านการอบละลาย ณ อุณหภูมิ $520^{\circ}\text{C}$ เป็นระยะเวลา 4 ชั่วโมง และบ่ม ณ อุณหภูมิและเวลาแตกต่างกัน	65
4.8 โครงสร้างจุลภาคของชิ้นทดสอบที่ผ่านกระบวนการการอบละลาย ณ อุณหภูมิ $520^{\circ}\text{C}$ เป็นระยะเวลา 8 ชั่วโมง และบ่ม ณ อุณหภูมิและเวลาแตกต่างกัน	65
4.9 โครงสร้างจุลภาคของชิ้นทดสอบที่ผ่านการอบละลาย ณ อุณหภูมิ $540^{\circ}\text{C}$ เป็นระยะเวลา 4 ชั่วโมง และบ่ม ณ อุณหภูมิและเวลาแตกต่างกัน	66
4.10 โครงสร้างจุลภาคของชิ้นทดสอบที่ผ่านการอบละลาย ณ อุณหภูมิ $540^{\circ}\text{C}$ เป็นระยะเวลา 8 ชั่วโมง และบ่ม ณ อุณหภูมิและเวลาแตกต่างกัน	67
4.11 กราฟแสดงความสัมพันธ์ระหว่างค่าความแข็งกับอุณหภูมิและเวลาในการบ่มที่อุณหภูมิและเวลาในการอบละลายดังนี้ (ก) $520^{\circ}\text{C}$ , 4 ชั่วโมง (ข) $520^{\circ}\text{C}$ , 8 ชั่วโมง (ค) $540^{\circ}\text{C}$ , 4 ชั่วโมง (ง) $540^{\circ}\text{C}$ , 8 ชั่วโมง	72
4.12 กราฟแสดงความสัมพันธ์ระหว่างค่าความต้านทานแรงดึงของชิ้นทดสอบ กับเวลาที่ใช้ในการบ่มชิ้นทดสอบ ที่สภาวะค่าความต้านทานแรงดึงสูงสุด ก) อบละลายที่ $540^{\circ}\text{C}$ , 8hr และบ่มที่ $165^{\circ}\text{C}$ , 12hr ข) อบละลายที่ $540^{\circ}\text{C}$ , 4hr และบ่มที่ $165^{\circ}\text{C}$ , 12hr	74
4.13 แสดงถักยนต์รอยแตกของชิ้นงานหลังผ่านกระบวนการทางความร้อน T6	76

## บทที่ 1

### บทนำ

#### 1.1 ความสำคัญและที่มาของโครงการวิจัย

ในปัจจุบันนี้ความต้องการของชิ้นส่วนอลูมิเนียมหล่อที่มีสูงมากขึ้น เนื่องจากการขยายตัวของการใช้อลูมิเนียมในอุตสาหกรรมยานยนต์และนับวันจะยิ่งเจริญเติบโตขึ้นทุกวัน วัสดุที่นำมาใช้ในอุตสาหกรรมนี้จึงมีความสำคัญต่อการพัฒนาอุตสาหกรรมให้มีศักยภาพมากขึ้น ก่อให้เกิด วัสดุที่ใช้ต้องมีสมบัติที่เยี่ยมในด้านต่างๆ เช่น สมบัติทางกล สมบัติทางเคมี และต้องมีราคาถูก

โลหะผสมอลูมิเนียม-ซิลิกอน-แมกนีเซียมเกรด A356 เป็นโลหะผสมอลูมิเนียมชนิดหนึ่งที่มีความสำคัญมากในงานหล่อและถูกนำมาใช้ในการผลิตชิ้นส่วนยานยนต์ โลหะผสมชนิดนี้เป็นโลหะผสมอลูมิเนียมที่มีซิลิกอนผสมอยู่ในช่วง 6.5-7.5% โดยน้ำหนัก โดยมีชาติแมกนีเซียม ทองแดง เหล็ก และแมงกานีส เป็นชาตุผสมรอง หากพิจารณาจากแผนภูมิสมดุลภาคระหว่างชาตออลูมิเนียมและซิลิกอนจะพบว่า โครงสร้างทางจุลภาคของโลหะผสมกลุ่มนี้ประกอบด้วยโครงสร้างที่มีลักษณะเป็นเด่น ไดรต์และเฟสฟูเทคติก คุณลักษณะเด่นของโลหะกลุ่มนี้ได้แก่ (1) สมบัติการหล่อที่ดี (Castability) (2) กำลังวัสดุ (Strength) สูง (3) ความเหนียว (Ductility) สูง และ (4) สามารถปรับปรุงสมบัติทางกลด้วยกรรมวิธีทางความร้อน ด้วยคุณลักษณะที่ดีดังกล่าว โลหะผสม A356 จึงถูกนำมาใช้ในการผลิตชิ้นส่วนยานยนต์ เช่น ล้อรถยนต์ โครงของรถบรรทุก และชิ้นส่วนเครื่องยนต์เพื่อทดน้ำหนักของรถซึ่งเป็นผลดีต่อการประหยัดเชื้อเพลิง นอกจากนี้ยังมีการนำมาใช้ในอุตสาหกรรมอิเล็กทรอนิกส์และโทรคมนาคม เนื่องจากมีความเหนียวและความแข็งแรงต่อน้ำหนักสูง จึงส่งผลให้การแข็งข้นในอุตสาหกรรมการหล่ออลูมิเนียมนั้นมีมากขึ้น อลูมิเนียมหล่อผสมเกรด A 356 ที่ใช้โดยส่วนมากนั้นเกิดจากการหล่อด้วยแบบหล่อทราย (Sand casting) แต่ปัจจุบันที่มักเจอกันโดยส่วนใหญ่ที่เกิดจากการหล่อด้วยแบบหล่อทราย คือ ปั๊วหารูพรุน แม้พิมพ์เกิดการโถงตัวจากการใช้งานที่อุณหภูมิสูง และตัวของแบบหล่อทรายเกิดการไหมหรือเกิดการแตกร้าวของแบบหล่อ อีกทั้งยังไม่สามารถทำการปรับปรุงสมบัติทางกลด้วยกรรมวิธีทางความร้อน (Heat Treatment) ได้ดี ปัจจุบันได้มีการนำเทคโนโลยีการหล่อด้วยแบบหล่อถ่าน (Die Casting) โดยการหล่อแบบหล่อถ่าน เป็นการหล่อที่สามารถลดการเกิดรูพรุนในชิ้นงานหล่อได้ และสามารถทำการปรับปรุงสมบัติทางกลด้วยกรรมวิธีทางความร้อนได้ซึ่งโครงสร้างทางจุลภาคที่ได้จากการหล่ออลูมิเนียมแบบกึ่งของแข็งนั้นมีลักษณะเป็นก้อนกลมในขณะที่การหล่อแบบทั่วไป

นั้นจะมีโครงสร้างทางจุลภาคเป็นเด่นๆ โครงต์ซึ่งการหล่อแบบกึ่งของแข็งจะให้สมบัติทางกลที่ดีกว่า และเมื่อนำไปทำการปรับปรุงสมบัติทางกลด้วยกรรมวิธีทางความร้อนนั้น พนว่าชิ้นงานที่ผ่านการหล่อแบบกึ่งของแข็งจะมีความสามารถในการปรับปรุงสมบัติทางกลที่ดีกว่าชิ้นงานที่ผ่านการหล่อแบบธรรมด้าและให้สมบัติทางกลที่ดีกว่าด้วย

แต่ในการทดลองนี้กระบวนการที่ใช้ในการขึ้นรูปชิ้นงานคือ การอัดขึ้นรูป (squeeze casting) เมื่อเปรียบเทียบโครงสร้างจุลภาคของชิ้นงานระหว่างการอัดขึ้นรูปและการหล่อด้วยแบบหล่อทราบและแบบหล่อทรายแล้วพบว่า การอัดขึ้นรูปไม่มีรูและ propane จากการขึ้นรูป และการหล่อด้วยแบบหล่อทรายจะมีรูและ propane มากที่สุด

## 1.2 วัตถุประสงค์ของโครงการวิจัย

1.2.1 ศึกษาอิทธิพลของเวลาและอุณหภูมิที่ใช้ในกระบวนการทางความร้อนที่มีผลต่อสมบัติทางกลและโครงสร้างจุลภาคของชิ้นงานหล่ออลูมิเนียมผสมแบบกึ่งของแข็ง A356

1.2.2 หาสภาวะที่เหมาะสมของการวนการทางความร้อน ที่จะทำให้ชิ้นงานหล่ออลูมิเนียมผสมแบบกึ่งของแข็ง A356 มีสมบัติทางกลตามที่ต้องการ และ โครงสร้างจุลภาคที่เหมาะสม

## 1.3 ขอบเขตของโครงการวิจัย

1.3.1 ศึกษาอิทธิพลของกระบวนการทางความร้อนแบบ T5 และ T6

1.3.2 ศึกษาอิทธิพลของอุณหภูมิและเวลาที่ใช้ในการอบละลายชิ้นงาน

1.3.3 ศึกษาอิทธิพลของอุณหภูมิและเวลาที่ใช้ในการบ่ม

1.3.4 หาอุณหภูมิและเวลาที่ใช้ในการอบละลายและการบ่มที่เหมาะสมเพื่อให้ชิ้นงานมีสมบัติทางกลและ โครงสร้างจุลภาคตามที่ต้องการ

## 1.4 ประโยชน์ที่คาดว่าจะได้รับ

1.4.1 ทราบสภาวะที่เหมาะสมในการนำอลูมิเนียมหล่อแบบกึ่งของแข็ง A356 ไปผ่านกระบวนการทางความร้อน เพื่อให้ได้สมบัติทางกลและ โครงสร้างจุลภาคตามที่ต้องการ

1.4.2 สามารถนำองค์ความรู้ที่ได้ไปถ่ายทอดให้กับอุตสาหกรรมที่มีความสนใจเพื่อนำไปใช้ประโยชน์ในเชิงอุตสาหกรรม

## บทที่ 2

### ทฤษฎีและงานวิจัยที่เกี่ยวข้อง

การวิจัยครั้งนี้เป็นการปรับปรุงสมบัติทางกลของโลหะผสมอลูมิเนียม A 356 แบบ กึ่งของแข็ง โดยกระบวนการทางความร้อนแบบ T5 และ T6 และศึกษาโครงสร้างทางชุลภาพที่เปลี่ยนแปลง ซึ่งมีทฤษฎีต่างๆ ที่เกี่ยวข้องที่ควรทราบดังนี้

#### 2.1 โลหะอลูมิเนียม

อลูมิเนียมเป็นโลหะสำคัญที่ได้รับการใช้งานมากที่สุดในกลุ่มโลหะที่มีน้ำหนักเบา (Light Metals) ทั้งนี้ เพราะอลูมิเนียมมีสมบัติเด่นหลายประการ [2] เช่น มีความหนาแน่นน้อยและมีกำลังวัสดุคือหน่วยน้ำหนักสูงจึงนิยมใช้ทำเครื่องใช้และชิ้นส่วนบางอย่างในเครื่องบิน จรวด และขีปนาวุธ สามารถขึ้นรูปด้วยกรรมวิธีต่างๆ ได้ง่าย จุดหลอมเหลวต่ำ หล่อหลอมง่าย และมีอัตราการให้ด้วยสูง ค่าการนำไฟฟ้าไม่สูงมากนักแต่เนื่องจากน้ำหนักเบาจึงนิยมใช้เป็นตัวนำไฟฟ้า ไม่เป็นพิษต่อร่างกายมนุษย์ มีดัชนีในการสะท้อนกลับของแสงสูงมาก ทนทานต่อการเกิดสนิมและการกัดกร่อนในบรรยากาศใช้งานทั่วไปได้ดีมาก แต่ไม่ทนการกัดกร่อนต่อกรดและด่าง หากซื้อได้ง่ายและราคาไม่แพงมากนัก

อลูมิเนียมหล่อผสมตามมาตรฐานของ ASTM (American Society of Testing and Materials)

ตัวเลขตัวที่หนึ่ง เป็นสัญลักษณ์แสดงกลุ่มชาตุที่ผสมชาตุหนึ่งเป็นหลัก ตามตารางที่ 1 เช่น 2XX.X เป็นกลุ่มชาตุผสมของอลูมิเนียม ที่มีทองแดงเป็นชาตุผสมหลัก เป็นต้น

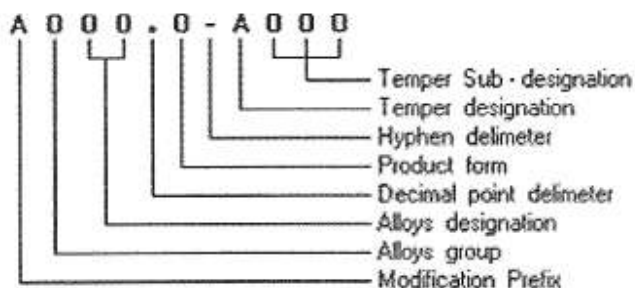
ตัวเลขตัวที่สองและสาม เป็นสัญลักษณ์แสดงอลูมิเนียมผสม ที่มีชาตุผสมชนิดอื่นผสมเข้าไปหรือแสดงอลูมิเนียมบริสุทธิ์

ตัวเลขตัวที่สี่ เป็นสัญลักษณ์ซึ่งเป็นการแบ่งตามการผลิตอย่างอื่น โดยจะใช้จุดทศนิยมแสดงการผลิต เป็นต้น เช่น การหล่อ หรือ จากแท่งอินกอท การปรับปรุงจากชาตุผสมเดิม หรือจำนวนสิ่งที่ปนเข้าไป และคงโดยตัวอักษรก่อนตัวเลข ตัวอักษร “X” ให้กับ ใช้สำหรับชาตุผสมที่ทดลองอยู่ อลูมิเนียมหล่อผสมทั่วไปจะใช้ตัวเลข 3 หลัก

ตารางที่ 2.1 ตารางแสดงสัญลักษณ์กลุ่มอลูมิเนียมหล่อพสม [3]

1XX.X	อลูมิเนียม ที่มีความบริสุทธิ์ไม่น้อยกว่า 99.00%
2XX.X	ทองแดง (Copper , Cu)
3XX.X	ซิลิกอน (Silicon , Si) – ทองแดง (Copper , Cu) – แมกนีเซียม (Mg) ซิลิกอน (Silicon , Si) – แมกนีเซียม (Magnesium , Mg) ซิลิกอน (Silicon , Si) – ทองแดง (Copper , Cu)
4XX.X	ซิลิกอน (Silicon , Si)
5XX.X	แมกนีเซียม (Magnesium , Mg)
7XX.X	สังกะสี (Zinc , Zn)
8XX.X	ดีบุก (Tin , Sn)
9XX.X	ชาตุอื่นๆ (Other Element)
6XX.X	ยังไม่มีใช้ (Unused Series)

American Aluminum Association ได้กำหนดมาตรฐาน และแยกประเภท  
อลูมิเนียมหล่อพสมตาม (American National Standard Institute) ANSI Standard ได้ดังนี้



- A : อักษรตัวแรก หมายถึง สมาชิกของ Alloys ที่เหมือนกันอยู่ในกลุ่มเดียวกัน (หมายถึง Aluminum Alloy) แม้ว่าส่วนผสมจะแตกต่างกัน
- O : Alloy group จะเป็นตัวเลขตัวเดียวจาก 1 ถึง 9 ใช้เป็นตัวกำหนด ชาตุหลักของ Alloys หรือ Major Alloying
- OO : Alloys designation เป็นตัวเลข 2 หลัก กำหนดความแตกต่างของสมาชิกในกลุ่ม Alloys เดียวกัน ความหมายของตัวเลขที่กำหนดเหมือนกับ Major Alloy ในบางครั้งตัวเลข 2 หลัก ก็คือ ปริมาณ % ไม่น้อยกว่าของ Al ที่มีผสมอยู่ เช่น 190.X เพากับ Al ผสมอยู่ 99.90%

- .O : ตัวเลขหลังจุดทศนิยม หมายถึง รูปแบบการผลิต หรือ Product form เป็นตัวเลขหลักเดียว คือ
- .O : เป็น Casting Specification
  - .1 : เป็น Ingot Specification
  - .2 : เป็น Ingot Specification ที่ควบคุมส่วนผสมน้อยกว่า .1 Ingot Specification
- A : Temper designation เป็นตัวกำหนดแทนกรรมวิธี Temper ของกระบวนการ Heat Treatment ที่ใช้กับ Heat Treatable Alloys ดังนี้
- F : As Cast Condition หมายถึง งานจากสภาพหล่อ โดยไม่ต้องใช้กรรมวิธีใดๆ ควบคุม ภายหลังการหล่อขึ้นรูป
  - H : Strain Hardened หมายถึง สภาพของงานแข็งตัวเอง เนื่องจาก ความเครียด จากการทำ Cold working เช่น งานรีดขึ้นรูปต่างๆ
  - O : Anneal หมายถึง การอบอ่อน ใช้กับงานหล่อ ที่ต้องนำไปอบ เพื่อปรับปรุงขนาด รูปร่าง ให้คงที่ (Stability) ขณะใช้งาน หรือเพื่อทำให้เพิ่มความเหนียว (Ductility)
  - W : Solution Heat Treat เป็นการอบเพื่อเปลี่ยนโครงสร้างให้เป็น สารละลายของแข็ง เพื่อใช้กับ Alloys ที่สามารถซับด้วยตนเองได้ในบรรยายกาศปกติ
  - T : เป็นการอบด้วยความร้อน โดยกำหนดกรรมวิธี Temper ที่แน่นอนกว่า F หรือ O การกำหนดกรรมวิธี “F”, “O” และ “T” ทุกกระบวนการ สามารถหล่อด้วย แบบทราย และแบบเหล็ก
- OO: Temper Sub – designation เป็นตัวเลขระบุกรรมวิธีทำ Temper ที่ชัดเจนโดยระบุอุณหภูมิ และ
- O : ช่วงเวลาปฏิบัติ การที่แยกคละอีกดีไปได้อีก 10 วิธีการจาก T1 ถึง T10 และส่วนปลีกย่อยอีก ดังตารางที่ 2

#### ตารางที่ 2.2 ตารางแสดงสัญลักษณ์การทำเทมเปอร์ (Tempering) [3]

- |    |   |
|----|---|
| T1 | ปล่อยให้งานเย็นตัวลงตามปกติในบรรยายกาศปกติ และบ่มธรรมชาติ (Naturally Aged) โดยธรรมชาติและสภาพงานไม่เปลี่ยนแปลง  |
| T2 | ปล่อยให้งานเย็นตัวลงในบรรยายกาศปกติ ความแข็งจะเกิดขึ้นจากการใช้งานที่อุณหภูมิต่ำ (Cold Worked) โดยธรรมชาติ ความแข็งเพิ่มขึ้นขณะใช้งาน                     |
| T3 | นำงานไปทำการอบละลาย (Solution Heat Treated) แล้วปล่อยให้งานเย็นตัวลง แล้วทำ Naturally Aged โดยทิ้งชิ้นงานไว้ในบรรยายกาศจะเกิดความแข็งของ strain hardening |
| T4 | ทำ Solution Heat Treated และ Naturally Aged เพื่อให้ความแข็งคงตัว   |

- T5 ปล่อยให้งานค่ออยา เย็นตัวลงในสภาวะเดิม แล้วนำไปทำการบ่มเที่ยง (Artificially Aged)
- T6 เป็นการทำ Solution Heat Treated , Quenching และทำ Artificially Aged
- T7 เป็นการทำ Solution Heat Treatment และ Stabilized
- T8 เป็นการทำ Solution Heat Treated ต่อด้วย Cold Worked และนำมาราทำ Artificially Aged
- T9 เป็นการทำ Solution Heat Treated ต่อด้วย Artificially Aged และนำมาราทำ Cold Worked
- T10 เป็นการทำเย็นตัวตามปกติ และนำไปขึ้นรูป Cold Worked และนำมาราทำ Artificially Aged

### **2.1.1 โลหะผสมหล่ออลูมิเนียม (3xx.xx)**

โลหะผสมอลูมิเนียม – ซิลิกอนเป็นโลหะผสมที่มีความสามารถในการให้ผลิต ทำให้งานหล่อเป็นรูปพรรณได้ง่าย และมีสมบัติด้านการกัดกร่อนที่ดีเหมาะสมสำหรับใช้ในงานเชื่อมแต่ไม่เหมาะสมกับงานกลึง

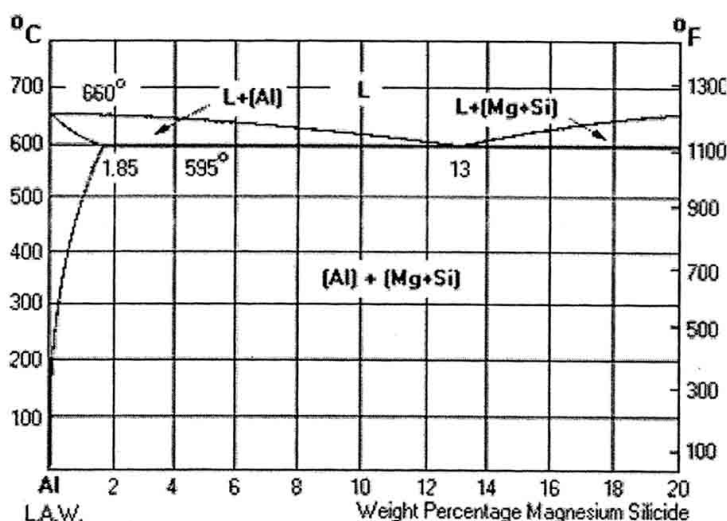
จากแผนภูมิสมดุลภาชนะอลูมิเนียม – แมกนีเซียมซิลิไซด์ ในรูปที่ 2.1 โดยจะมีลักษณะเด่นชัดที่ซิลิกอนแยกตัวไม่คล้ายในอลูมิเนียม โดยเกิดปฏิกิริยาโดยทันทีที่อุณหภูมิ 577 องศาเซลเซียส และมีส่วนผสมของซิลิกอน 11.6% การแยกตัวให้ปฏิกิริยาโดยทันทีจากโลหะหลอมเหลว 11.6% ซิลิกอน จะให้เฟส  $\alpha$  ที่มี 1.65 % ซิลิกอน เฟส Si มีสมบัติที่แข็งและเปราะ ถ้าในโครงสร้างมีการตกผลึกของเฟส Si ขนาดใหญ่จะมีลักษณะต่อเนื่อง มีผลทำให้โลหะผสมมีความแข็งแรงต่ำและขาดสมบัติด้านความหนืดเหวี่ยง การปรับปรุงสมบัติทางกลของโลหะผสมสามารถกระทำได้หลายวิธี เช่น เพิ่มอัตราการเย็นตัวภายในแบบหล่อให้สูงขึ้น เพิ่มปริมาณนิวเคลียลีบสของ การแข็งตัวเพื่อลดขนาดเกรนให้เล็กลง หรือใช้เทคนิคโมดิฟายเคชัน (Modification)

### **2.1.2 อลูมิเนียมหล่อหมายเลข A356**

อลูมิเนียมหล่อผสมหมายเลข A356 เป็นโลหะผสม อลูมิเนียม – ซิลิกอนแบบໄอไป

ยูเทคโนโลยีสามารถหล่อได้ดีทั้งในแบบทรายและแบบโลหะ มีความสามารถในการให้ผลิต ทำให้ดีและการหล่อตัวน้ำอย่างมาก มีความแตกต่างจากอลูมิเนียมหล่อหมายเลข 356 ตรงที่มีปริมาณเหล็กที่ลดลง

ซึ่งมีผลทำให้สมบัติการต้านแรงดึงสูงขึ้นและมีความหนึบมากขึ้น การยืดตัวสูง ทนต่อแรงกระแทกได้สูง ส่วนผสมทางเคมีของอลูมิเนียมผสมหมายเลข A356 เป็น Al, 7%Si, 0.35%Mg, 0.20%Fe, 0.20%Cu, 0.10%Mn, 0.10%Zn และ 0.230%Ti การเติมแมกนีเซียมลงไปเล็กน้อย ทำให้สามารถปรับปรุงสมบัติทางกลได้ด้วยกรรมวิธีทางความร้อน โดยการฟอร์มเฟส  $Mg_2Si$  ในเมตริกซ์ของอลูมิเนียม กระบวนการทางความร้อนที่ใช้เพื่อปรับปรุงสมบัติทางกลเมื่อยุ่ทธลายวิธี แต่ที่นิยมใช้มากที่สุด ได้แก่ ชนิด T6 คือ การนำชิ้นงานไปอบละลายแล้วนำไปชุบน้ำจากนั้นจึงนำไปทำการบ่มเที่ยม



รูปที่ 2.1 แผนภาพสมดุลภาคลอหะผสมอลูมิเนียม – แมกนีเซียมซิลิไซด์

โลหะผสมอลูมิเนียม – ซิลิกอน ไม่สามารถเพิ่มความแข็งแรงให้สูงขึ้นได้ด้วยวิธีการอบชุบความร้อน แต่เมื่อเติมแมกนีเซียม หรือทองแดง จะเกิดการรวมตัวให้เฟสกึ่งโลหะ เช่น  $Mg_2Al_3$  หรือ  $CuAl_2$  ซึ่งทำให้สามารถปรับปรุงสมบัติทางกลได้โดยนำมาผ่านกระบวนการทางความร้อนแบบ T5 ที่ประกอบด้วยกระบวนการบ่มเที่ยม หรือ T6 ที่ประกอบด้วย 3 กระบวนการ ดังนี้

1. การอบละลาย (Solution treatment) เป็นการอบเพื่อละลายเฟสที่สอง เช่น  $Mg_2Si$  หรือ  $CuAl_2$  ให้อยู่ในรูปสารละลายของแข็งและการแพร่รอย่างทั่วถึงทั้งชิ้นงาน โดยอุณหภูมิและเวลาของการอบละลายขึ้นอยู่กับหมายเลขและขนาดของโลหะผสมเป็นหลัก

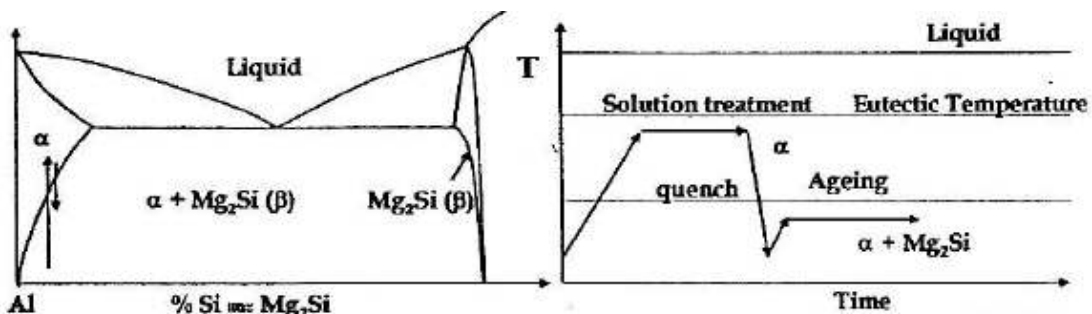
2. การชุบ (Quenching) เพื่อให้ชาตุ Mg และ Cu ที่ละลายเป็นสารละลายของแข็งในกระบวนการแรก ยังคงอยู่ในสภาพสารละลายของแข็งที่อุณหภูมิต่ำ โดยนำโลหะผสมจาก

กระบวนการที่ 1. มาทำให้เกิดการเย็นตัวลงมาอย่างรวดเร็ว ชาตุเหล่านี้จะอยู่ในรูปสารละลายนอกแข็งที่มีสภาพอิ่มตัวยิ่งปวด และพร้อมที่จะตกตะกอนออกมามีผ่านกระบวนการขั้นที่ 3.

3. การบ่ม (Aging) กระบวนการนี้ทำให้เกิดการตกตะกอนของเฟสกึ่งโลหะที่มีความละเอียดมาก และช่วยเพิ่มความแข็งได้ การบ่มอาจทำได้โดยการวางชิ้นงานไว้บนอุณหภูมิห้องเรียกว่า การบ่มธรรมชาติ (Natural aging) หรือนำชิ้นงานไปอบที่อุณหภูมิที่เหมาะสมสำหรับการตกตะกอน เรียกว่า การบ่มเทียม (Artificial aging) โดยอุณหภูมิของการบ่มที่เข้มข้นอยู่กับหมายเลขของโลหะผสม และเวลาของการบ่มที่ให้ความแข็งสูงสุดขึ้นอยู่กับอุณหภูมิของการบ่ม

## 2.2 ขั้นตอนการบ่ม (Age Hardening)

โลหะผสมอลูมิเนียม-ซิลิกอนชนิดเกรด A356 ถูกนำมาเพิ่มความแข็งจากสภาพหล่อค้ำยกระบวนการบ่มแข็ง (Age Hardening) โดยทำให้เกิดอนุภาคขนาดเล็กของเฟสที่สอง (Secondary Phase) นั่นคือ อนุภาค  $Mg_2Si$  กระจายตัวอยู่ในเนื้อเมตริกซ์ (เฟส  $\alpha - Al$ ) โดยอนุภาค  $Mg_2Si$  ที่เกิดขึ้นเหล่านี้ทำหน้าที่ด้านทานการเคลื่อนที่ของคิสโลเคชัน (Dislocation) ด้วยกลไก Cutting และ Bowing ส่งผลให้ชิ้นงานที่ผ่านการบ่มมีความแข็งแรงเพิ่มขึ้น ซึ่งขั้นตอนการบ่มประกอบด้วยกระบวนการอบชุบ 3 ขั้นตอนดังแสดงในรูปที่ 2.2

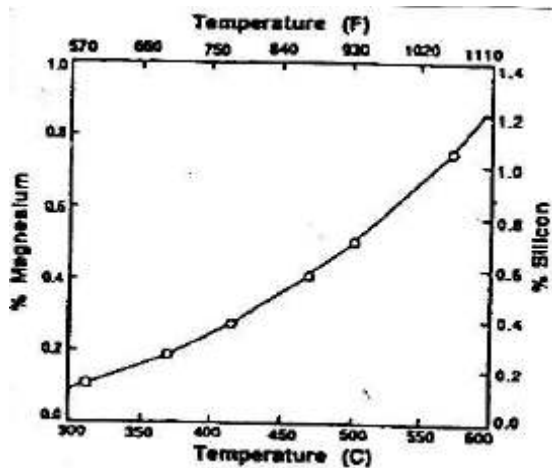


รูปที่ 2.2 ขั้นตอนการบ่มของโลหะผสมอลูมิเนียม-ซิลิกอนหล่อเกรด A356

### 2.2.1 ขั้นตอน Solution Treatment

โลหะอลูมิเนียมหล่อผสมเกรด A356 จะมีส่วนผสมทางเคมีที่สำคัญคือ อลูมิเนียม, ซิลิกอน และแมกนีเซียม ซึ่งผลจากอัตราการเย็นตัวชิ้นทดสอบในสภาพหล่อจะเกิดการ Segregation ของแมgnีเซียมและซิลิกอนอยู่ในรูปของเฟส  $Mg_2Si$  ที่มีขนาดใหญ่และซิลิกอนที่เหลือจะอยู่ในรูปเฟส Eutectic Silicon เมื่อชิ้นทดสอบผ่านการทำ Solution Heat Treatment ด้วยการอบชิ้นทดสอบที่อุณหภูมิสูงพบว่ามีการละลายของเฟส  $Mg_2Si$  ทำให้ซิลิกอนและ

แมกนีเซียมละลายน้ำสูญในโครงสร้างอลูมิเนียมเนื่องจากความสามารถในการละลายของซิลิกอนและอลูมิเนียมสูงขึ้นเมื่ออุณหภูมิสูงขึ้น ดังแสดงในรูปที่ 2.3



รูปที่ 2.3 ความสามารถในการละลายของชาตุซิลิกอนและแมกนีเซียมภายในเนื้อเมตัลิกช์ กับอุณหภูมิ [24]

เมื่อพิจารณาโครงสร้างจุลภาคของโลหะผสมอลูมิเนียม-ซิลิกอนหล่อเกรด A356 จากเฟสไคอะแกรนของอลูมิเนียม-ซิลิกอน-แมกนีเซียมซิลิไซด์พบว่าอุณหภูมิในการแข็งตัวของเฟสแต่ละชนิดมีค่าแตกต่างกัน ส่งผลให้เกิดการแยกตัวของชาตุต่าง ๆ ภายในโครงสร้างของชิ้นงาน ซึ่งเรียกว่าการเกิด Segregation จากเฟสไคอะแกรนพบว่าเมื่อน้ำอลูมิเนียมหลอมเหลวผ่านอุณหภูมิ  $615^{\circ}\text{C}$  จะเริ่มเกิดเฟสของแข็ง ซึ่งเรียกว่าเฟส  $\alpha - \text{Al}$  ซึ่งจะเริ่มแข็งตัวก่อนและมีลักษณะรูปร่างคล้ายกิ่งไม้ ที่เรียกว่า Dendrite โดยเฟส  $\alpha - \text{Al}$  ที่เกิดขึ้นมีปริมาณซิลิกอนและแมกนีเซียมที่สามารถละลายได้น้อยมาก เมื่อเฟส  $\alpha - \text{Al}$  เติบโตขึ้นเรื่อย ๆ ทำให้น้ำอลูมิเนียมหลอมเหลวมีปริมาณของชาตุซิลิกอนและแมกนีเซียมเพิ่มขึ้น ซึ่งอยู่ตามระหว่างแข็ง Dendrite ทำให้ขึ้นทดสอบจะอยู่ในสภาพวากกิ่งของแข็งกิ่งของเหลว จนกระทั่งเมื่อขึ้นทดสอบเย็นตัวผ่านอุณหภูมิ  $577^{\circ}\text{C}$  จะมีเฟส Eutectic Silicon เกิดขึ้นและเป็นบริเวณที่เย็นตัวสุดท้าย ส่งผลทำให้เกิดความแตกต่างของส่วนผสมทางเคมีภายในโครงสร้างของชิ้นงาน

โดยขั้นตอน Solution Treatment คือขั้นตอนการอบขึ้นทดสอบที่อุณหภูมิสูง ทำให้อะตอมของชาตุต่าง ๆ ภายในโครงสร้างหลักเกิดการแพร่ของอะตอมจากบริเวณที่ความเข้มข้นสูงไปยังบริเวณที่มีความเข้มข้นต่ำได้รวดเร็วขึ้น โดยการให้ความร้อนกับโลหะผสมอลูมิเนียม-ซิลิกอนหล่อ เกรด A356 จนกระทั่งอุณหภูมิของชิ้นงานเท่ากับ  $520-550^{\circ}\text{C}$  เป็นระยะเวลา 4-12 ชั่วโมง ทำให้อะตอมของตัวภูกละลายเกิดการละลายอาทิ เช่น ซิลิกอน แมกนีเซียมละลายเข้าสู่ตัวทำละลายคือเฟส  $\alpha - \text{Al}$  เพื่อทำให้เนื้อเมตัลิกช์มีความเป็นเนื้อเดียวกับตัวทำละลาย โดยอาศัยการแพร่ของอะตอมในโครงสร้างซึ่งเป็นการแพร่แบบแทนที่ จากเฟสไคอะแกรนพบว่าเมื่อเพิ่ม

อุณหภูมิของชิ้นงานให้สูงขึ้น ส่งผลทำให้อะตอมต่าง ๆ ภายในโครงสร้างมีพลังงานเพิ่มขึ้น ซึ่งทำให้เกิดโอกาสในการเกิดช่องว่างภายในโครงสร้างของผลึกซึ่งเรียกว่า วาเคนซี (Vacancy) ได้มากขึ้น โดยวาวเคนซีที่เกิดขึ้นเหล่านี้ทำให้อะตอมของซิลิกอนและแมกนีเซียมสามารถแพร่แบบแทนที่เข้าสู่เนื้อเมตัริกซ์ได้รวดเร็วขึ้น

### 2.2.2 ขั้นตอน Quenching

โดยการชุบชิ้นทดสอบที่ผ่านขั้นตอน Solution Treatment ที่มีอุณหภูมิในช่วง 25-60 °C ทำให้อะตอมของซิลิกอนและแมกนีเซียมที่ละลายเข้าสู่เฟส  $\alpha - Al$  ในระหว่างขั้นตอน Solution Treatment ไม่มีระยะเวลาเพียงพอที่จะแพร่ออกจากเฟส  $\alpha - Al$  จึงตกค้างภายในเนื้อเมตัริกซ์  $\alpha - Al$  ในสภาวะสารละลายของแข็งอิ่มตัวยิ่งขัด (Super saturated solid-solution)

### 2.2.3 ขั้นตอน Aging

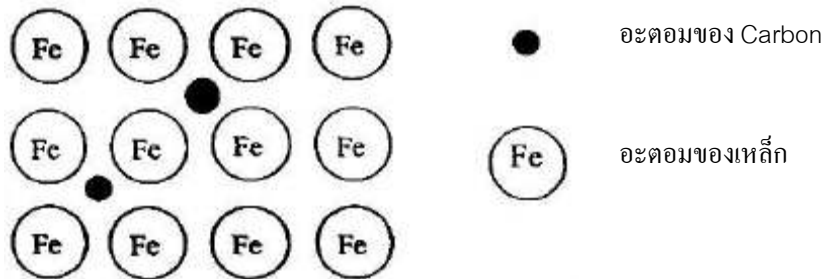
โดยการให้ความร้อนแก่ชิ้นทดสอบที่อุณหภูมิประมาณ 120-200 °C เป็นระยะเวลา 3-24 ชั่วโมง หลังจากผ่านขั้นตอน Quenching ในขั้นตอน Aging จะเกิดการแพร่ของอะตอมซิลิกอนและแมกนีเซียมออกจากเฟส  $\alpha - Al$  ไปรวมตัวกันและเกิดเป็นกลุ่มอนุภาคของเฟสใหม่ที่เรียกว่าอนุภาค  $Mg_2Si$  และอนุภาคที่เกิดขึ้นเหล่านี้มีขนาดเล็กในระดับนาโนเมตรและกระจายตัวในเนื้อเมตัริกซ์ โดยอุณหภูมิและระยะเวลาในขั้นตอน Aging มีผลต่ออัตราการแพร่ของอะตอมของซิลิกอนและแมกนีเซียมที่จะฟอร์มตัวกันเป็นอนุภาค  $Mg_2Si$  โดยกลไกการเกิดเฟสใหม่เป็นไปตามปฏิกิริยา Precipitation Hardening ดังนี้ GP Zone  $\longrightarrow \beta''$  Phase  $\longrightarrow \beta'$  Phase  $\longrightarrow \beta$  (Stable phase)

## 2.3 กลไกการแพร่ของอะตอม (Diffusion Mechanism)

การแพร่ของอะตอมหมายถึงการเคลื่อนที่ของอะตอมจากบริเวณหนึ่งไปยังอีกบริเวณหนึ่ง ซึ่งสามารถแบ่งออกเป็น 2 ลักษณะ คือ การแพร่แบบแทรกตัว (Interstitial Diffusion) และ การแพร่แบบแทนที่ (Substitution Diffusion)

### 2.3.1 การแพร่แบบแทรกตัว (Interstitial Diffusion)

การแพร่ของอะตอมต่างชนิดกันที่เกิดขึ้นในกรณีที่ขนาดของอะตอมตัวถูกจะละลาย มีขนาดเล็กกว่าอะตอมของตัวทำละลายมาก ๆ อาทิเช่น อะตอมของคาร์บอนซึ่งมีขนาดเล็กกว่าอะตอมเหล็กมาก ทำให้อะตอมของคาร์บอนสามารถแทรกตัวในโครงสร้างผลึกได้ ดังนั้นการแพร่ของอะตอมแบบแทรกตัวจึงเกิดขึ้นได้ง่ายและรวดเร็ว ดังแสดงในรูปที่ 2.4



รูปที่ 2.4 ลักษณะการแพร่ของอะตอมแบบแทรกตัว

### 2.3.2 การแพร่แบบแทนที่ (Substitution Diffusion)

ในการพิจัยของอะตอมของตัวทำละลายและตัวถูกละลายมีขั้นตอนไกดีเคียงกัน การแพร่ที่เกิดขึ้นจะเป็นการแพร่แบบแทนที่ ก่อตัวคือการแพร่จะเกิดได้ก็ต่อเมื่อจะต้องมีว่าkenซี คือตำแหน่งซ่องว่างในโครงสร้างผลึก (Vacancy) ในตำแหน่งซ่องว่างเคลื่อน อะตอมจึงสามารถแพร่ได้ดังนั้นความเร็วในการแพร่ชนิดนี้ขึ้นอยู่กับปริมาณซ่องว่างภายในโครงสร้างผลึก จากความสัมพันธ์ระหว่างอุณหภูมิกับจำนวนว่าkenซีที่เกิดขึ้นพบว่าเมื่ออุณหภูมิสูงขึ้น อะตอมต่าง ๆ ภายในโครงสร้างมีพลังงานเพิ่มขึ้น สามารถเข้ามาแทนที่อุณหภูมิสูงจะเกิดขึ้นได้รวดเร็วกว่าการแพร่แบบแทนที่ ณ อุณหภูมิตาม

ตัวแปรที่มีผลต่อการแพร่ได้แก่

1. อุณหภูมิ เมื่ออุณหภูมิสูงขึ้นทำให้อะตอมต่าง ๆ มีพลังงานภายในสูงขึ้น ทำให้เกิดการสั่นมากขึ้น เมื่ออะตอมใด ๆ ที่มีพลังงานมากกว่าพลังงานยึดเหนี่ยวจะหลุดออกจากโครงสร้างผลึก ทำให้เกิดเป็นว่าkenซี และตอนต่าง ๆ เกิดการแพร่ได้ง่าย

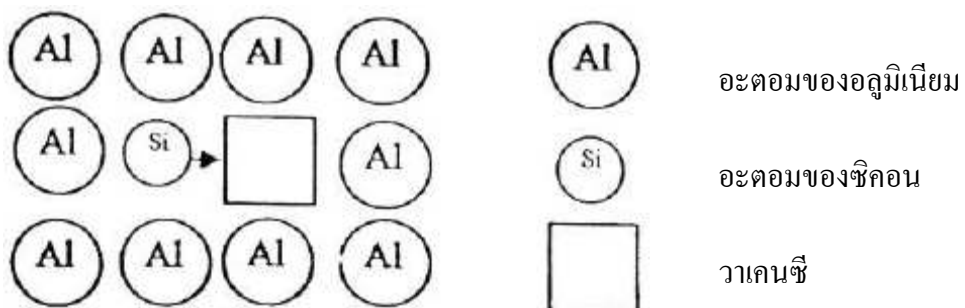
2. ขนาดของอะตอมของตัวทำละลายและตัวถูกละลาย ในกรณีที่มีขนาดแตกต่างกันมาก เช่น อะตอมของเหล็กและคาร์บอนจะมีลักษณะการแพร่แบบแทรก แต่ในกรณีที่อะตอมทั้งสองมีขนาดใกล้เคียงกันจะมีลักษณะการแพร่แบบแทนที่

3. ค่าสัมประสิทธิ์ของการแพร่ (Diffusivity :  $D_0$ ) โดยวัสดุแต่ละชนิดมีโครงสร้างผลึกและพลังงานยึดเหนี่ยวอะตอมที่แตกต่างกัน ซึ่งส่งผลต่อการแพร่ของอะตอม โดยพบว่าชาตุที่มีจุดหลอมเหลวต่ำมีค่าสัมประสิทธิ์ของการแพร่ของอะตอมสูงกว่าชาตุที่มีจุดหลอมเหลวสูง ซึ่งหมายถึงอะตอมของชาตุที่มีจุดหลอมเหลวต่ำกว่าสามารถแพร่ได้เร็วกว่าชาตุที่มีจุดหลอมเหลวสูง

4. จุดกพร่องในโครงสร้างผลึก ซึ่งจุดกพร่องที่เกิดขึ้นจะมีหลายลักษณะอาทิ เช่น วา肯ซี ดีสโลเคชันและบริเวณขอบแกรน ซึ่งบริเวณเหล่านี้จะต้องตัดออกเพื่อได้ง่าย

### 2.3.3 การแพร่แบบแทนที่ในโลหะผสมอลูมิเนียม-ซิลิกอน เกรด A356

เมื่อพิจารณาโลหะผสมอลูมิเนียม-ซิลิกอนหล่อเกรด A356 พนวจนาคาดอะตอมของอลูมิเนียม ซิลิกอนและแมกนีเซียมมีขนาดใกล้เคียงกันคือ  $0.142 \text{ nm}$ ,  $0.118 \text{ nm}$  และ  $0.160 \text{ nm}$  ตามลำดับ ดังนั้นในขั้นตอน Solution Treatment พนวจนาเมื่ออุณหภูมิขึ้นทดสอบเพิ่มขึ้นทำให้อะตอมของชาตุต่าง ๆ ที่อยู่ในโครงสร้างผลึก มีพลังงานสูงขึ้นและเกิดการเคลื่อนที่ของอะตอมโดยอาศัยการแพร่แบบแทนที่แสดงดังในรูปที่ 2.5 เมื่อจากช่องว่างที่เกิดขึ้นในโครงสร้างผลึกของชาตุต่าง ๆ มีขนาดไม่เท่ากัน และความเร็วในการแพร่ของอะตอมแต่ละชนิดจะขึ้นอยู่กับสัมประสิทธิ์ของการแพร่เฉพาะตัวของชาตุแต่ละชนิดเช่น  $D_{\alpha-Al}$  และ  $D_{\text{eutectic silicon}}$  โดยทั่วไปแล้วอะตอมที่มีจุดหลอมเหลวต่ำจะมีค่าสัมประสิทธิ์ของการแพร่ที่สูงกว่าอะตอมที่มีจุดหลอมเหลวสูงกว่า ดังนั้นจะมีการแพร่ของอะตอมของอะลูมิเนียมในเฟส  $\alpha$  และอะตอมซิลิกอนในเฟส Eutectic Silicon จากบริเวณที่มีความเข้มข้นของอะตอมชาตุนั้นสูงไปยังบริเวณที่มีความเข้มข้นต่ำเพื่อต้องการลดระดับพลังงานของระบบ

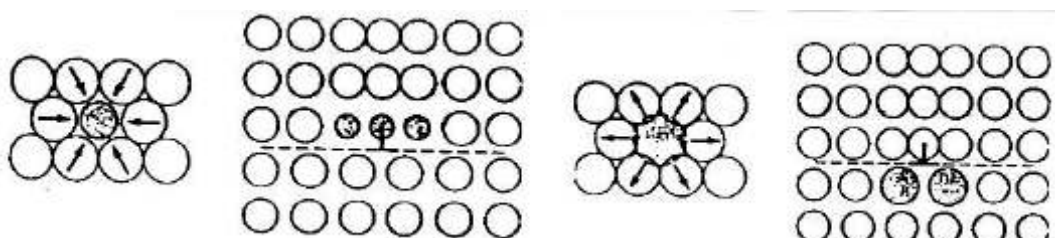


รูปที่ 2.5 ลักษณะการแพร่ของอะตอมซิลิกอนภายในเฟส  $\alpha - Al$  เป็นแบบแทนที่ [4]

## 2.4 การเกิดเฟสใหม่ (Nucleation)

### 2.4.1 การเกิดเฟสใหม่ชนิดเป็นเนื้อดียวกัน (Homogenous Nucleation)

ในระหว่างขั้นตอน Aging นั้นจะเกิดเฟสใหม่คืออนุภาคน้ำตาล Mg<sub>2</sub>Si (เฟส  $\beta$ ) ภายในเนื้อเมตัลิกซ์ (เฟส  $\alpha - Al$ ) เมื่อจากภายในหลังขั้นตอน Quenching เนื้อเมตัลิกซ์เหล่านั้นอยู่

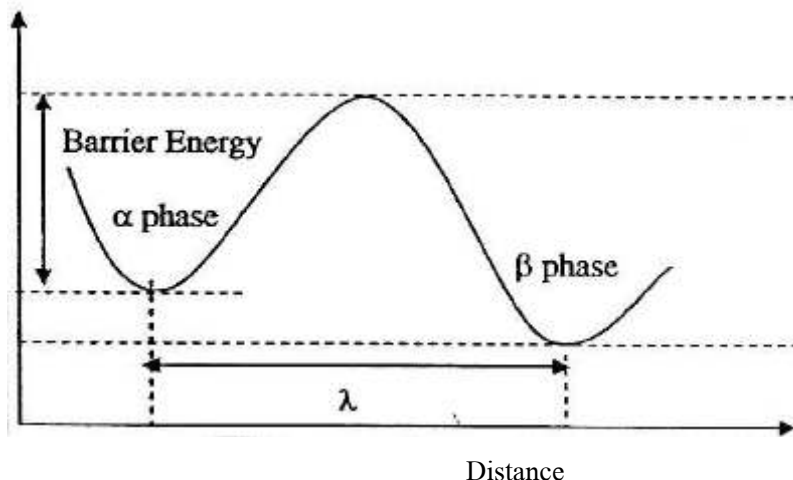


ในสภาพสารละลายนองแข็งที่มีอะตอมของซิลิกอนและแมกนีเซียมที่ละลายอยู่ในสภาวะอิ่มตัว ยิ่งวัด ( $\alpha'$ ) ส่งผลทำให้เกิดพลังงานความเครียดภายในโครงสร้างผลึกมีค่าเพิ่มขึ้น เนื่องจากขนาดของอะตอมที่อยู่ในโครงสร้างมีขนาดแตกต่างกัน ดังแสดงในรูปที่ 2.6

รูปที่ 2.6 ลักษณะพัฒนาความเครียดภายในโครงสร้างผลึกที่เกิดจากอะตอมที่มีขนาดแตกต่างกันภายในโครงสร้าง [4]

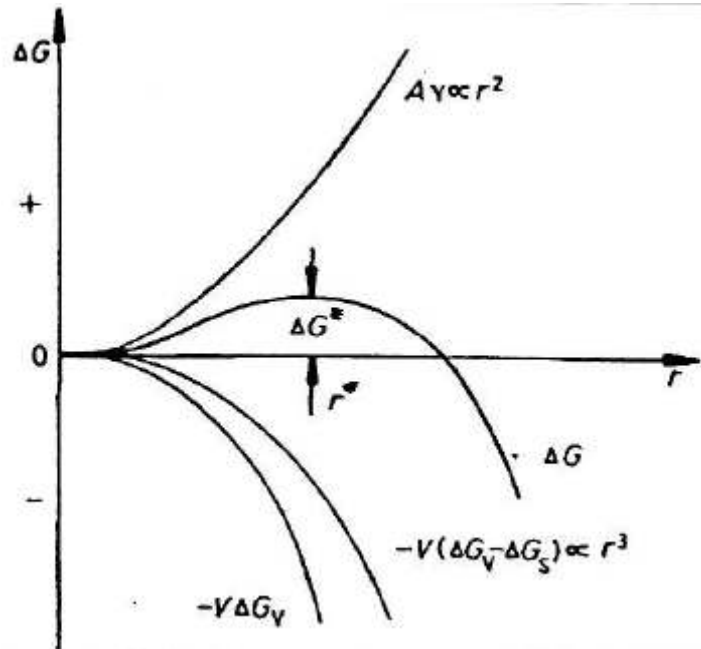
ดังนั้นเนื้อเมตัลิกซ์ต้องการลดพลังงานอิสระด้วยการเกิดเฟสใหม่ของเฟส  $\beta$  เท่ากับ  $V\Delta G_v$  ต้องอาศัยการแพร่ของอะตอมของชาตุซิลิกอนและแมกนีเซียมออกจากเนื้อเมตัลิกซ์ เป็นระยะทาง  $\lambda$  ในการฟอร์มเป็นอนุภาค  $Mg_2Si$  ( $\beta$  Phase) ดังแสดงในรูปที่ 2.7

Free energy



รูปที่ 2.7 ความแตกต่างพลังงานอิสระภายในเนื้อเมตัลิกซ์กับอนุภาค  $Mg_2Si$  ( $\beta$  Phase) [28]

โดยการเกิดเฟสใหม่ภายในเนื้อเมตัลิกซ์จะต้องได้รับพลังงานกระดุนที่สูงกว่า พลังงานสร้างผิวใหม่ระหว่างเฟส  $\alpha$  กับ  $\beta$  เท่ากับ  $A\gamma$  และพลังงานความเครียดที่เกิดขึ้นเนื่องจากปริมาตรของเฟสใหม่ไม่พอดีกับปริมาตรของเฟสเดิมที่เปลี่ยนไป ทำให้เกิดพลังงานความเครียดมิสฟิต (Misfit Strain Energy) โดยการเปลี่ยนแปลงพลังงานอิสระในการกระบวนการเกิดเฟสใหม่



รูปที่ 2.8 การเปลี่ยนแปลงของพลังงานอิสระ (Free Energy) กับการเกิดเฟสใหม่แบบ Homogenous ที่มีรูปร่างทรงกลมมีรัศมีเท่ากับ  $r$  [30]

การเกิดเฟสใหม่แบบ Homogenous Nucleation ของอนุภาค  $Mg_2Si$  ทำให้เกิดการเปลี่ยนแปลงพลังงานอิสระดังต่อไปนี้

- การลดลงของพลังงานอิสระขนาด  $V\Delta G_v$  จากการฟอร์มตัวของเฟส  $\beta$  ปริมาตร  $V$
- การเพิ่มขึ้นของพลังงานอิสระขนาด  $A\gamma$  ที่เกิดขึ้นในบริเวณรอยต่อระหว่าง  $\alpha$  กับ  $\beta$
- การเพิ่มขึ้นของพลังงานอิสระขนาด  $V\Delta G_s$  จากความเครียดที่เกิดขึ้นเนื่องจากปริมาตรของเฟสใหม่ที่เกิดขึ้น ดังแสดงในสมการที่ 2.1

$$\Delta G = -V\Delta G_v + A\gamma + V\Delta G_s \quad 2.1$$

กำหนดให้

$\Delta G$	คือ	ค่าการเปลี่ยนแปลงพลังงานอิสระ (J)
$V$	คือ	ปริมาตรของอนุภาคที่ถูกทำลาย ( $m^3$ )
$\Delta G_v$	คือ	ค่าพลังงานอิสระเชิงปริมาตร ( $J / m^3$ )
$A$	คือ	พื้นที่ผิวในการสร้างอนุภาค ( $m^2$ )
$\gamma$	คือ	ค่าพลังงานพื้นผิวจำเพาะ ( $J / m^2$ )
$\Delta G_s$	คือ	ค่าพลังงานความเครียดมิสฟิทที่เกิดจากอนุภาคใหม่ที่เกิดขึ้น ( $J / m^3$ )

ในกรณีที่นิวเคลียสมีขนาดรัศมีเท่ากับ  $r$  จะได้ว่า

$$\Delta G = -\frac{4}{3}\pi r^3(\Delta G_v - \Delta G_s) + 4\pi r^2\gamma \quad 2.2$$

จากสมการที่ 2.2 เมื่อหาอนุพันธ์และกำหนดให้  $(\Delta G)$  เท่ากับศูนย์ จะสามารถคำนวณหาความกว้างของอนุภาค  $Mg_2Si$  ( $r^*$ ) ดังแสดงในสมการที่ 2.3 และสามารถคำนวณหาพลังงานอิสระ  $(\Delta G^*)$  ที่ทำให้ออนุภาคมีขนาดรัศมีวิกฤต ( $r^*$ ) ด้วยการแทนค่า  $r$  ด้วย  $r^*$  ในสมการที่ 2.2

$$r^* = \frac{2\gamma}{(\Delta G_v - \Delta G_s)} \quad 2.3$$

$$\Delta G^* = \frac{16\pi\gamma^3}{3(\Delta G_v - \Delta G_s)^2} \quad 2.4$$

ซึ่งจากสมการที่ 2.3 พบว่ากลุ่มอะตอมของอนุภาคแมกนีเซียมซิลิไซด์ที่เกิดขึ้นมีขนาดเล็กกว่าขนาดวิกฤต อนุภาคที่เกิดขึ้นจะละลายกลับเข้าไปในเนื้อเมตริกซ์ แต่ถ้าขนาดอนุภาคมีขนาดใหญ่กว่าขนาดวิกฤต ส่งผลให้ออนุภาคเหล่านั้นเกิดการเติบโตต่อไป ดังนั้นจำนวนอะตอมของนิวเคลียสที่มีขนาดเท่ากับขนาดวิกฤตต่อ 1 หน่วยปริมาตร ( $C^*$ ) หายใจจาก

$$C^* = C_0 \exp\left(\frac{-\Delta G^*}{kT}\right) \quad 2.5$$

เมื่อ  $C_0$  คือ จำนวนอะตอมต่อ 1 หน่วยปริมาตรในขณะเริ่มต้น (cluster / m<sup>3</sup>)

$C^*$  คือ จำนวนอะตอมต่อ 1 หน่วยปริมาตรในขณะที่นิวเคลียสที่เกิดขึ้นมีขนาดเท่ากับรัศมีวิกฤต (Cluster / m<sup>3</sup>)

เมื่อพิจารณาการแพร่ของอะตอมซิลิคอนและแมกนีเซียมออกจากเนื้อเมตริกซ์ พบว่าขึ้นอยู่กับความถี่ของการสั่นของอะตอม ( $\omega$ ) และความสามารถในการเคลื่อนที่ของอะตอม  $\exp\left(-\frac{\Delta G_m}{kT}\right)$  ซึ่งสามารถเขียนได้ดังสมการที่ 2.6

$$f = \omega \exp\left(\frac{-\Delta G_m}{kT}\right) \quad 2.6$$

$$N_{homogeneous} = fC^* \quad 2.7$$

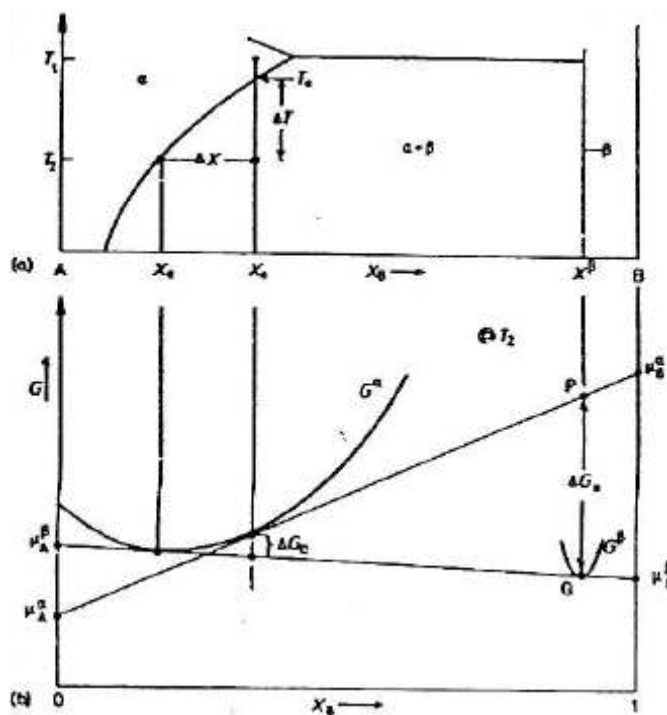
ดังนั้นจะได้ว่า อัตราเร็วในการเกิดเฟสใหม่ชนิด Homogeneous มีค่าเท่ากับ

$$N_{\text{homogeneous}} = \omega C_0 \exp\left(\frac{-\Delta G_m}{kT}\right) \exp\left(\frac{-\Delta G^*}{kT}\right) \quad 2.8$$

เมื่อ  $\omega$  เป็นค่าคงที่และขึ้นอยู่กับความถี่ในการสั่นสะเทือนของอะตอม  
 $\Delta G_m$  เป็นพลังงานกระตุ้นสำหรับการเกลื่อนที่ของอะตอม (J)

#### 2.4.2 อัตราเร็วการเกิดเฟสใหม่ชนิดเนื้อเดียวกัน (Rate of Homogeneous Nucleation)

อัตราเร็วในการเกิดเฟสใหม่ชนิด Homogenous ขึ้นอยู่กับ ความสามารถในการเกิดนิวเคลียส ซึ่งอยู่ในเทอมของ  $\exp\left(\frac{-\Delta G^*}{kT}\right)$  และความสามารถในการรับอะตอมของซิลิกอน และแมgnีเซียมของเฟส  $\beta$  ที่เกิดขึ้นภายใต้เนื้อเยื่อเมตริกซ์ ซึ่งอยู่ในเทอมของ  $\exp\left(\frac{-\Delta G_m}{kT}\right)$  โดยความสามารถในการเกิดนิวเคลียส ขึ้นอยู่กับ เทอม  $(\Delta G^*)$  แสดงดังสมการที่ 2.4 โดย  $(\Delta G_v)$  ซึ่งเป็นแรงผลักดันทำให้มีการตกตะกอน (Precipitate) เกิดขึ้นขนาดของ  $(\Delta G_v)$  หาได้จากแผนภาพระหว่างพลังงานอิสระกับส่วนผสมทางเคมีของโลหะผสม



รูปที่ 2.9 แผนภาพแสดงการเปลี่ยนแปลงพลังงานอิสระกับส่วนผสมทางเคมีของโลหะผสมในขั้นตอน Aging [30]

เมื่อขั้นทดสอบถูกอบที่อุณหภูมิ  $T_1$  และถูกทำให้เย็นตัวอย่างรวดเร็วลงมาข้างอุณหภูมิ  $T_2$  ดังแสดงในรูปที่ 9 พบร่วมอุณหภูมิ  $T_1$  ชาตุชิลิกอน (Si) และแมกนีเซียม (Mg) สามารถละลายในเฟส  $\alpha - Al$  ได้มากกว่าที่อุณหภูมิ  $T_2$  เท่ากับ  $X_0$  และ  $X_c$  ตามลำดับ ซึ่งอัตราการเย็นตัวของชั้นทดสอบส่งผลต่อปริมาณอะตอมของชิลิกอนและแมgnีเซียมอะตอมที่ตกค้างภายในเนื้อเมตริกซ์ โดยชั้นทดสอบที่มีอัตราการเย็นตัวเร็ว ( $\Delta T$  สูง) จะมีการตกค้างของอะตอมชิลิกอนและแมgnีเซียมภายในเนื้อเมตริกซ์มาก ส่งผลทำให้เนื้อเมตริกซ์มีพลังงานภายในสูงขึ้น มีค่าเท่ากับ  $\Delta G_1$  แสดงดังสมการที่ 2.9 เมื่อพิจารณาพลังงานอิสระของเนื้อเมตริกซ์ซึ่งอยู่ในสภาพสารละลายของแข็งที่อ่อนตัวขึ้นขาด ก่อนการเกิดอนุภาคเฟส  $\beta$  ดังแสดงที่จุด P ในรูปที่ 2.9

$$\Delta G_1 = \mu_A^a X_A^\beta + \mu_B^a X_B^\beta \quad 2.9$$

### กำหนดให้

$\Delta G_1$	คือ	ค่าพลังงานอิสระ ณ อุณหภูมิ $T_1$ (J)
$\mu_A^a$	คือ	Chemical Potential ของอะตอม A ภายในเฟส $\alpha$ ( $J/mol$ )
$\mu_B^a$	คือ	Chemical Potential ของอะตอม B ภายในเฟส $\alpha$ ( $J/mol$ )
$X_A^\beta$	คือ	สัดส่วนโมลของอะตอม A ภายในเฟส $\beta$ ( $mol$ )
$X_B^\beta$	คือ	สัดส่วนโมลของอะตอม B ภายในเฟส $\beta$ ( $mol$ )

ดังนั้นเนื้อเมตริกซ์จึงทำการลดระดับพลังงานด้วยการ Precipitate อนุภาค  $Mg_2Si$  (เฟส  $\beta$ ) ภายในเนื้อเมตริกซ์ จึงทำให้เกิดเป็นระบบเฟสคือเฟส  $\alpha$  กับเฟส  $\beta$  แสดงดังสมการที่ 2.10 ทำให้พลังงานอิสระของระบบมีขนาดลดลงเท่ากับ ( $\Delta G_n$ ) ต่อโมล แสดงในรูปที่ 2.9 และพลังงานอิสระของเนื้อเมตริกซ์หลังจากเกิดอนุภาคใหม่ (เฟส  $\beta$ ) บนเนื้อเมตริกซ์ ดังแสดงที่จุด Q ในรูปที่ 2.9

$$\Delta G_2 = \mu_A^\beta X_A^\beta + \mu_B^\beta X_B^\beta \quad 2.10$$

ดังนั้นแรงผลักดันในการเกิดนิวเคลียสละชั้นของเฟส  $\beta$  เท่ากับ

$$\Delta G_n = \Delta G_2 - \Delta G_1 = \Delta G_v - \Delta G_s \quad 2.11$$

ซึ่งความやาว PQ ในรูปที่ 9 เทอม  $(\Delta G_v)$  จะมีสัมพันธ์กับ  $(\Delta G_n)$  ดังนี้

$$\Delta G_v = \frac{\Delta G_n}{V_m} \quad 2.12$$

$\Delta G_v$  คือ พลังงานอิสระเชิงปริมาตร ( $J/m^3$ )

$\Delta G_n$  คือ พลังงานอิสระที่ใช้ในการเกิดเฟสใหม่ ( $J$ )

$V_m$  คือ ปริมาตรของเฟส  $\beta$  ต่อ 1 โมล ( $m^3$ )

ในกรณีที่อุณหภูมิคงที่ ความสามารถละลายในเนื้อเมมทริกซ์ซึ่งเป็นสารละลายของแข็งที่เจือจางจะได้ว่า

$$\Delta G_v \alpha (X_o - X_e) \quad 2.13$$

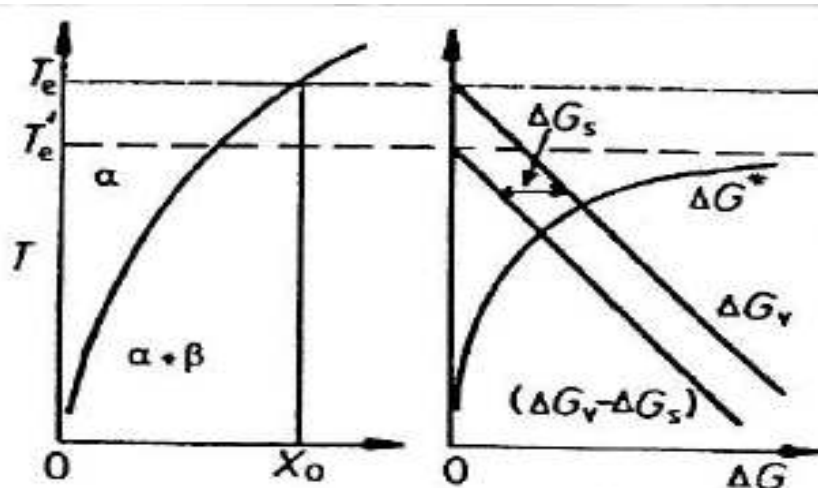
$X_o$  คือ ความสามารถในการละลายของชาตุ B ในเฟส  $\alpha$  ที่อุณหภูมิ

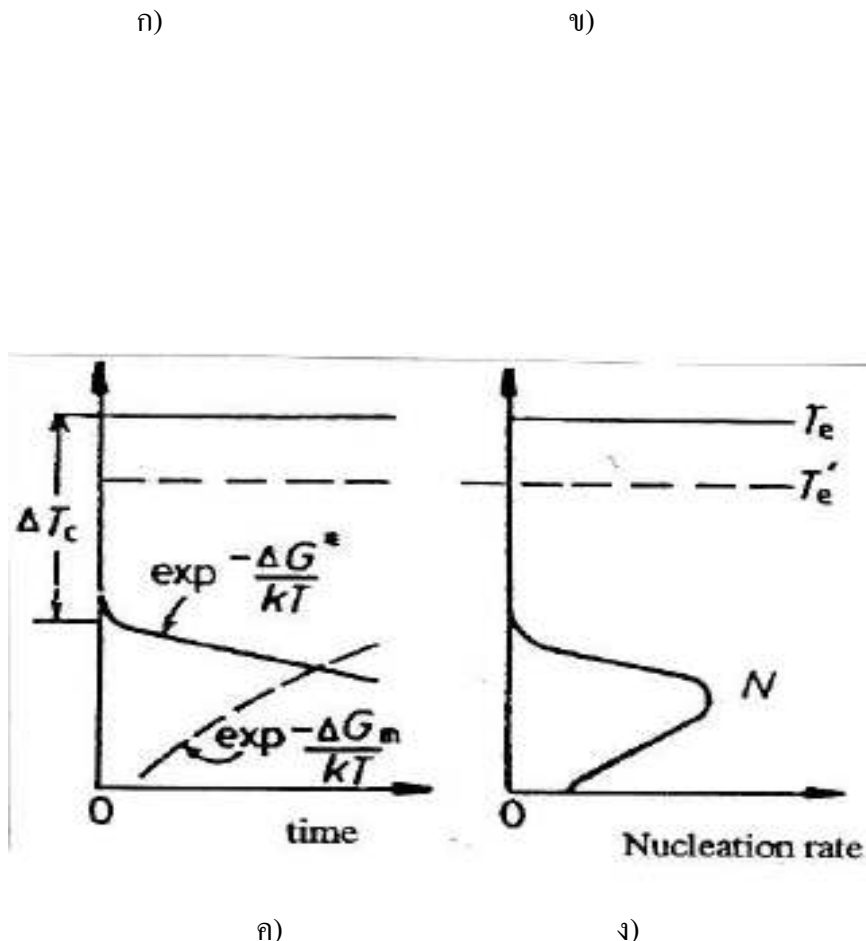
$T_1$  (mol)

$X_e$  คือ ความสามารถในการละลายของชาตุ B ในเฟส  $\alpha$  ที่อุณหภูมิ

$T_2$  (mol)

ซึ่งจากสมการที่ 2.13 แสดงให้เห็นถึงการลดอุณหภูมิอย่างรวดเร็วจาก  $T_1$  มาซึ่ง อุณหภูมิ  $T_2$  ส่งผลทำให้ชาตุ B เป็นการตกค้างจำนวนมากในเฟส  $\alpha$  ซึ่งเป็นแรงผลักดันทำให้เป็น แรงผลักดันในการอนุภาค Precipitate ในขั้นตอน Aging





รูปที่ 2.10 ความสัมพันธ์ระหว่างอัตราการเกิดเฟสใหม่แบบเนื้อเดียวกันกับอัตราการเย็นตัวของชิ้นทดสอบสำหรับโลหะผสมที่มีความเข้มข้นเท่ากับ  $X_0$  [30]

รูปที่ 2.10 ก) แสดงลักษณะเฟสไดอะแกรมของโลหะผสมชนิดสามารถบ่มໄได้ และ รูปที่ 2.10 ข) แสดงแรงผลักดันในการเกิดเฟสเท่ากับ  $(\Delta G_v - \Delta G_s)$  กับพลังงานกีดขวางการเกิดเฟสใหม่ซึ่งเรียกว่า Barrier Energy มีค่าเท่ากับ  $(\Delta G^*)$

รูปที่ 2.10 ค) แสดงปัจจัยที่มีผลต่อการเกิดเฟสซึ่งคือ เทอมแอกซ์โพเนนเชียล 2 เทอมคือปริมาณอะตอมของซิลิกอนและแมกนีเซียมที่ละลายอยู่ในเนื้อเมตัลิกซ์ (potential concentration of nuclei) ซึ่งขึ้นอยู่กับความสามารถในการเกิดเฟสใหม่ ซึ่งมีค่าเท่ากับ  $\exp\left(-\frac{\Delta G^*}{kT}\right)$  และ ความสามารถในการแพร่ของอะตอมภายในเนื้อเมตัลิกซ์ ซึ่งมีค่าเท่ากับ  $\exp\left(-\frac{\Delta G_m}{kT}\right)$  เมื่อพิจารณาในสมการที่ 2.8 พ布ว่าเทอมของ  $\exp\left(-\frac{\Delta G^*}{kT}\right)$  มีค่าเป็นศูนย์ตลอด จนกระทั่งขนาดของอัตราการเย็นตัวของชิ้นทดสอบมีค่ามากกว่า  $\Delta T_e$  ทำให้เอ็มบริโอที่

เกิดขึ้นมีขนาดโตกว่าขนาดวิกฤต ( $r^*$ ) ส่งผลทำให้อัตราการเกิดฟองน้ำสามารถเติบโตเป็นอนุภาคได้ และในการณีอะตอมภายในเนื้อเมตริกซ์สามารถแพร่ได้รวดเร็วในเทอมของ  $\exp\left(-\frac{\Delta G_m}{kT}\right)$  ส่งผลทำให้อัตราการเกิด Homogenous Nucleation ที่สูงสุดก็ต่อเมื่ออัตราการเย็นตัวของชิ้นทดสอบที่เหมาะสมดังแสดงในรูปที่ 10 (g) ในกรณีชิ้นทดสอบมีอัตราการเย็นตัวเร็ว ส่งผลทำให้มีการตกค้างของอะตอมซิลิกอน และอะตอมแมกนีเซียมภายในเนื้อเมตริกซ์มาก และ ในขณะเดียวกันอุณหภูมิของชิ้นทดสอบส่งผลต่อการแพร่ซ้า ทำให้อัตราการเกิด Homogenous Nucleation น้อยลงทางตรงกันข้ามในกรณีชิ้นทดสอบมีอัตราการเย็นตัวช้า ส่งผลให้มีการตกค้างของอะตอมซิลิกอนและแมกนีเซียมภายในเนื้อเมตริกซ์ลดลง ระยะห่างระหว่างกลุ่มอะตอมของแมกนีเซียมและซิลิกอนเพิ่มขึ้น ทำให้มีอัตราการเกิด Homogenous Nucleation ลดลง

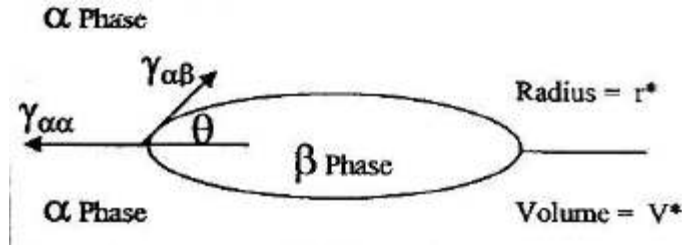
(รูปที่ 2.10 g) แสดงอัตราการเกิดเฟสใหม่จะมีค่า้อยในช่วงเริ่มต้นและจะเพิ่มขึ้นอย่างช้าๆ และจะลดลงในที่สุด โดยเริ่มต้นอะตอมเหล่านี้จะสามารถรวมกลุ่มฟอร์มตัวเป็นนิวเคลียสในกรณีที่กลุ่มอะตอมเหล่านี้จะต้องมีพลังงานกระตุ้นสูงกว่าเทอมของ ( $\Delta G^*$ ) และจากสมการที่ 2.4 พนว่า ( $\Delta G^*$ ) จะมีค่าลดลงก็ต่อเมื่อการเกิดของนิวเคลียสก่อให้เกิดพลังงานอินเตอร์เฟสต่ำสุด ดังนั้นการเกิดนิวเคลียสจากเนื้อเดียวกันมีโอกาสเป็นไปได้สูงก็ต่อเมื่อ อินเตอร์เฟสเป็นแบบ Coherent ซึ่งถูกเรียกว่า GP Zone โดยบริเวณรอยต่อชนิดนี้จะมีโครงสร้างพลีกเหมือนกันเมตริกซ์เดิม เนื่องจากความเร็วของอะตอมในการเข้าร่วมกลุ่มอะตอมมีค่าสูงกว่าความเร็วในการเกิดเฟสใหม่ทำให้บริเวณรอยต่อที่เกิดขึ้นเป็นแบบผสมระหว่าง Coherent และ Incoherent ซึ่งเรียกว่า Semi-Coherent แต่เนื่องจากความเร็วในการโตของอนุภาคช้ากว่าการแพร่องอะตอมมากทำให้บริเวณรอยต่อมีลักษณะเป็นแบบ Incoherent

#### 2.4.3 การเกิดเฟสใหม่ชนิดไม่เป็นเนื้อเดียวกัน (Heterogeneous Nucleation)

การเกิดของนิวเคลียสในบริเวณจุดบกพร่องต่างๆ ในเนื้อโลหะอาทิเช่น ขอบเกรน ดิสโลเคชัน วาเคนซี และจุดบกพร่องอื่นๆ จัดเป็นนิวเคลียชันแบบเนื้อที่แตกต่างกัน โดยจะใช้ค่าพลังงานอิสระน้อยกว่าการเกิดแบบ Homogenous nucleation โดยจะมีการเปลี่ยนแปลงพลังงานอิสระได้เป็นดังนี้

$$\Delta G_m = -V(\Delta G_v - \Delta G_s) + A\gamma - \Delta G_d \quad 2.14$$

โดย ( $\Delta G_d$ ) เป็นพลังงานอิสระที่ลดลงจากการที่ดิสโลเคชันที่นิวเคลียสสูญเสียร่องตัวและถูกทำลายไปการเกิดเฟสใหม่ตามขอบเกรน (Nucleation on grain boundaries)



รูปที่ 2.11 ลักษณะของการเกิดนิวเคลียสแบบ Heterogeneous ที่เกิดขึ้นตามขอบเขต [30]

โดยบวบเบียนร้อยต่อระหัวงเฟสทั้งสองที่เกิดขึ้นจะเป็นแบบ Incoherent โดยพบว่า

$$\cos \theta = \frac{\gamma_{aa}}{2\gamma_{a\beta}} \quad 2.15$$

กำหนดให้

$\theta$	คือ	มุมที่เกิดขึ้นระหว่างร้อยต่อของเฟส $\alpha$ กับ เฟส $\beta$
$\gamma_{aa}$	คือ	ความตึงผิวบวบเบียนร้อยต่อระหว่างเฟส $\alpha$ กับ เฟส $\alpha$ ( $J/m^2$ )
$\gamma_{a\beta}$	คือ	ความตึงผิวบวบเบียนร้อยต่อระหว่างเฟส $\alpha$ กับ เฟส $\beta$ ( $J/m^2$ )

ถ้าไม่คำนึงถึงพลังงานจากความเครียดภายในที่เกิดขึ้นจากการฟอร์มตัว พลังงาน อิสระที่เปลี่ยนแปลงมีค่าดังนี้

$$\Delta G = -V\Delta G_v + A_{a\beta}\gamma_{a\beta} - A_{aa}\gamma_{aa} \quad 2.16$$

โดยที่	$V$	คือ	ปริมาตรของอีเมบวบเบียน ( $m^3$ )
	$A_{a\beta}$	คือ	พื้นที่ของบวบเบียนร้อยต่อระหว่างเฟส $\alpha$ กับ เฟส $\beta$ ( $m^2$ )
	$A_{aa}$	คือ	พื้นที่ของกรนระหว่างเฟส $\alpha$ กับ เฟส $\alpha$ ที่ถูกแทนที่ด้วย นิวเคลียส ( $m^2$ )

ในกรณีที่ต้องการทราบขนาดวิกฤตของอีเมบวบเบียน ( $r^*$ ) และพลังงานอิสระในการเกิดอีเมบวบเบียน ( $\Delta G^*$ ) สามารถหาได้โดยกำหนดให้เทอม  $\Delta G_d$  มีค่าเท่ากับ  $A_{aa}\gamma_{aa}$

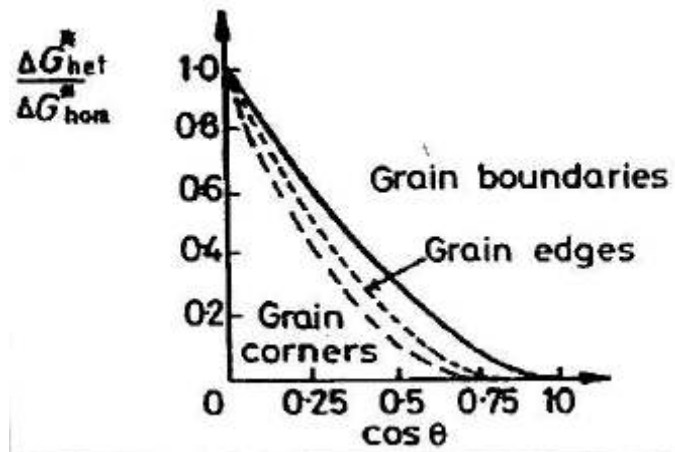
$$r^* = \frac{2\gamma_{\alpha\beta}}{(\Delta G_v)} \quad 2.17$$

$$\frac{\Delta G_{het}^*}{\Delta G_{hom}^*} = \frac{V_{het}^*}{V_{hom}^*} = S(\theta) \quad 2.18$$

$$S(\theta) = \frac{1}{2}(2 + \cos \theta)(1 - \cos \theta)^2 \quad 2.19$$

กำหนดให้

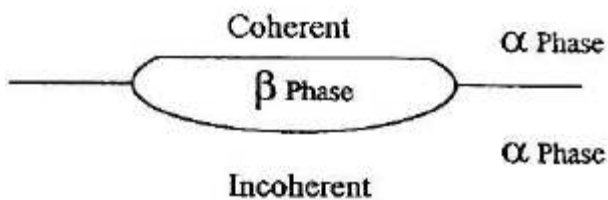
$S(\theta)$	คือ	Shape factor
$\Delta G_{hom}^*$	คือ	พลังงานอิสระของการเกิดเฟสใหม่แบบ Homogeneous (J)
$\Delta G_{het}^*$	คือ	พลังงานอิสระของการเกิดเฟสใหม่แบบ Heterogeneous (J)
$V_{hom}^*$	คือ	ปริมาตรวิกฤตของอนุภาคที่ทำให้เกิดเฟสใหม่แบบ Homogeneous ( $m^3$ )
$V_{het}^*$	คือ	ปริมาตรวิกฤตของอนุภาคที่ทำให้เกิดเฟสใหม่แบบ Heterogeneous ( $m^3$ )



รูปที่ 2.12 ความสัมพันธ์ระหว่าง  $(\Delta G_{het}^* / \Delta G_{hom}^*)$  กับ  $\cos \theta$  [30]

จากรูปที่ 2.12 แสดงให้เห็นถึงความสัมพันธ์ความแตกต่างของพลังงานอิสระในการเกิดอิมบริโอของทั้งสองแบบจะขึ้นอยู่กับค่า  $\cos \theta$  โดยพบว่าในกรณีที่ค่าของ  $\cos \theta$  มีค่าเพิ่มขึ้นส่งผลทำให้อัตราส่วนของ  $\gamma_{\alpha\beta} : \gamma_{\alpha\alpha}$  มีค่าสูงขึ้น และทำให้พลังงานที่ขัดขวางการเกิดนิ

วัคถีเอชันลดลง เมื่อพิจารณาเมื่อ  $\theta = 0$  ทำให้ค่า  $(\Delta G_{hetero}^*)$  มีค่าเป็นศูนย์ ดังนั้นขอบเกรนมุ่งให้ญี่งเป็นตำแหน่งที่เหมาะสมกับการเกิดเฟสใหม่แบบ heterogeneous ที่มีบริเวณรอยต่อระหว่างเฟสเป็นแบบ Incoherent ที่มีขนาดของ  $\gamma_{\alpha\beta}$  มีค่าสูง และขนาดของ  $(\Delta G^*)$  สามารถลดลงไปได้อีก ถ้าด้านหนึ่งของอนุภาค Precipitate สามารถเรียงตัวเข้ากันได้กับแมตริกซ์ ซึ่งบริเวณรอยต่อระหว่างเฟสแบบ Coherent ทำให้ขนาดของ  $(\Delta G^*)$  ลดลง ดังแสดงในรูปที่ 2.13



รูปที่ 2.13 การลดขนาด  $(\Delta G^*)$  ของอนุภาค Precipitate มีบริเวณรอยต่อระหว่างเฟสแบบ Coherent [30]

#### 2.4.4 อัตราเร็วการเกิดเฟสใหม่ชนิดไม่เป็นเนื้อเดียวกัน (Rate of Heterogeneous Nucleation)

การเกิดเฟสใหม่บนตำแหน่งจุดบกพร่องภายในเนื้อแมตริกซ์อาทิเช่น ขอบเกรน วาเคนซี ดีสโลเคชัน ซึ่งเป็นแบบ Heterogeneous nucleation จะสามารถเกิดได้เร็วและง่ายกว่า เมื่อเทียบกับลักษณะการเกิด nucleation แบบ Homogenous โดยพิจารณาจากสมการที่ 2.14 พบว่าการสร้างเกิดเฟสใหม่แบบ heterogeneous จะมีเทอมที่ลดลงงานอิสระในเกิดเฟสใหม่ลง  $(\Delta G^*)$  คือเทอมของ  $(G_d)$  ซึ่งเป็นเทอมของพลังงานอิสระที่ลดลงจากการที่จุดบกพร่องที่นิวเคลียฟอร์มตัวถูกทำลายไป โดยตำแหน่งของการเกิดเฟสใหม่จะมีค่า  $(G_d)$  จากน้อยไปมาก ดังนี้

1. เนื้อแมตริกซ์ซึ่งมีการเกิดนิวคลีอชันแบบเนื้อเดียวกัน (Homogenous nucleation)
2. วาเคนซี (Vacancy)
3. ดีสโลเคชัน (Dislocation)
4. Stacking Faults
5. ขอบเกรน (Grain boundary)
6. พื้นผิวอิสระ (Free surface)

ตำแหน่งที่มีค่า ( $G_d$ ) สูงสุดจะเป็นตำแหน่งที่เหมาะสมกับการเกิดเฟสใหม่ได้ง่ายที่สุด โดยภายในเนื้อเมตทริกซ์จะมีการเกิดเฟสใหม่เป็นแบบเนื้อเดียวกัน ทุก ๆ อะตอมเป็นตำแหน่งที่สามารถเกิดเฟสใหม่ได้เหมือนกันหมด ในขณะที่บริเวณรอบพร่องในเนื้อเมตทริกซ์จะเป็นตำแหน่งที่สามารถเกิดเฟสใหม่แบบ Heterogeneous

อัตราเร็วในการเกิดเฟสใหม่แบบ Heterogeneous สามารถแทนได้ด้วยสมการ

$$N_{\text{hetero}} = \omega C_1 \exp\left(\frac{-\Delta G_m}{kT}\right) \exp\left(\frac{-\Delta G^*}{kT}\right) \quad 2.20$$

$$N_{\text{hom}_o} = \omega C_o \exp\left(\frac{-\Delta G_m}{kT}\right) \exp\left(\frac{-\Delta G^*}{kT}\right) \quad 2.21$$

กำหนดให้

$N_{\text{hom}_o}$  คือ อัตราเร็วในการเกิดเฟสใหม่แบบ Homogeneous (nuclei / m<sup>3</sup> .s)

$N_{\text{hetero}}$  คือ อัตราเร็วในการเกิดเฟสใหม่แบบ Heterogeneous (nuclei / m<sup>3</sup> .s)

$C_1$  คือ จำนวนอะตอมบริเวณที่เกิดเฟสใหม่แบบ Heterogeneous  
ต่อ 1 หน่วยปริมาตร (mol)

$C_o$  คือ จำนวนอะตอมต่อ 1 หน่วยปริมาตรภายในเฟส (mol)

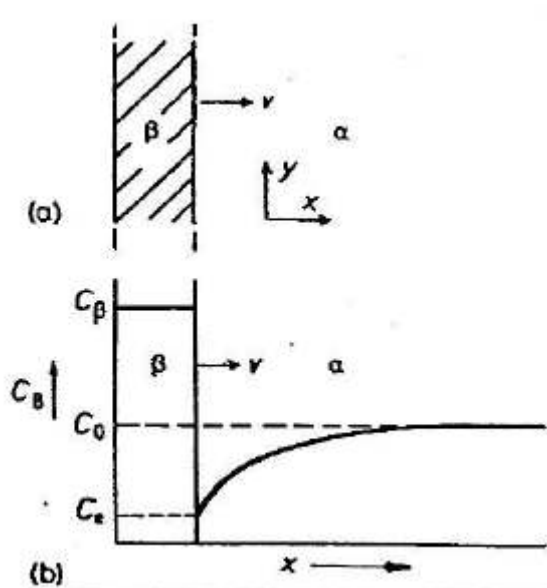
ดังนั้นจะเห็นได้ว่า

$$\frac{N_{\text{hetero}}}{N_{\text{hom}_o}} = \frac{C_1}{C_2} \exp\left(\frac{\Delta G_{\text{hom}_o}^* - \Delta G_{\text{hetero}}^*}{kT}\right) \quad 2.22$$

ในที่นี้ถือได้ว่า  $\omega$  และ  $\Delta G_m$  ของการเกิดเฟสใหม่ทั้ง 2 แบบมีค่าใกล้เคียงกัน  
เนื่องจากค่า  $\Delta G_{\text{hetero}}^*$  มีค่าน้อยกว่า  $\Delta G_{\text{hom}_o}^*$  เสมอ ทำให้  $N_{\text{hetero}}$  มากกว่า  $N_{\text{hom}_o}$  เสมอ

## 2.5 การตัดของอนุภาคที่เกิดการแยกเฟส

เมื่อพิจารณาอนุภาคที่เกิดจากการแยกเฟสภายในเนื้อเมตทริกซ์ ที่มีขนาดหน้าตัด 1 ตารางหน่วยที่ตั้งฉากกับแกน x ซึ่งจะโดยความหนาจากศูนย์ไปเป็น dx ภายในเวลา t หรือ ด้วยความเร็ว v เนื่องจากความเข้มข้นของตัวถูกละลายในแผ่นที่แยกเฟส  $C_\beta$  ออกมามีค่าสูงกว่า ความเข้มข้นของตัวถูกละลายที่ละลายอยู่ในเมตทริกซ์ ( $C_o$ ) และความเข้มข้นของตัวถูกละลายของ เมตทริกซ์บริเวณที่ตัดกับแผ่นที่แยกเฟสที่มีความเข้มข้น ( $C_\alpha$ )



รูปที่ 2.14 การโடของอนุภาค Precipitate ด้วยอาศัยการแพร่แบบแนบที่ [30]

แผ่นอนุภาค Precipitate ขยายตัวปริมาตร 1.  $dx = \text{อะตอน } B$  ที่แพร่มาจากเมตริกซ์

$$(C_\beta - C_e) dx = D \frac{(dc/dx)}{dr} \quad 2.23$$

เมื่อ

$D$  คือ สัมประสิทธิ์การแพร่ของอะตอน ( $m^2 / s$ )

$dc/dx$  คือ ความแตกต่างของความเข้มข้นของอะตอนต่อระยะทาง

$C_\beta$  คือ ความเข้มข้นของอะตอน X ภายนอก  $\beta$  (mol)

$C_e$  คือ ความเข้มข้นของอะตอน X ภายนอก  $\alpha$  (mol)

อัตราเร็วในการโടของอนุภาคจะขึ้นอยู่กับความแตกต่างความเข้มข้นในบริเวณ  
รอยต่อระหว่างเฟส โดยสามารถหาได้จากสมการที่ 2.24

$$v = \frac{dx}{dt} = \left( \frac{D}{C_\beta - C_e} \right) \left( \frac{dC}{dx} \right) \quad 2.24$$

โดยที่  $\frac{dC}{dx} = \frac{\Delta C_o}{L}$  และ  $\Delta C_o = C_\beta - C_e$

ทำการสมดุลจำนวนอะตอนของบริเวณที่แรเงาทั้ง 2 พื้นที่จากรูปที่ 2.13 จะได้

$$(C_\beta - C_e)x = \frac{(C_o - C_e)L}{2} = \frac{\Delta C_o L}{2} \quad 2.25$$

$$\text{จาก } \frac{\Delta C_o}{L} = \frac{dc}{dx} = \frac{\Delta C_o^2}{2(C_\beta - C_e)x}$$

จะได้ว่า

$$v = \frac{dx}{dt} = \frac{D\Delta C_o^2}{2(C_\beta - C_e)(C_\beta - C_o)x} \quad 2.26$$

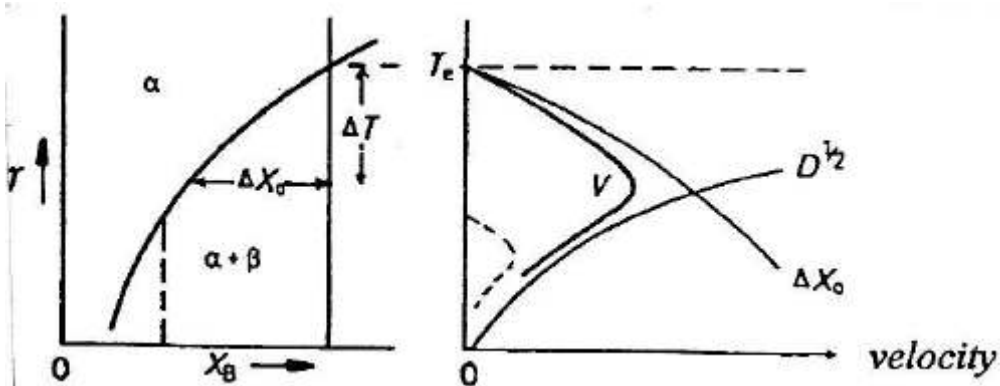
เมื่อสมมุติให้ปริมาตรต่อหน่วยโอม  $(V_m)$  มีค่าคงที่ และ  $(C_\beta - C_o) \approx (C_\beta - C_e)$   
เมื่อแทนค่า  $X = CV_m$  และอนทิกรตสมการที่ 2.23

$$\text{จะได้ } x = \frac{\Delta X_o}{(X_\beta - X_e)} \sqrt{(Dt)} \quad 2.27$$

$$\text{และ } v = \frac{\Delta X_o}{2(X_\beta - X_e)} \sqrt{\left(\frac{D}{t}\right)} \quad 2.28$$

$$\text{โดยที่ } \Delta X_o = X_o - X_e$$

ซึ่งจากสมการที่ 2.27 และ 2.28 พบร่วมกันว่าความหนาของแผ่นอนุภาค Precipitate ( $x$ )  
จะแปรผันตรงกับ  $\sqrt{(Dt)}$  และความเร็วในการโถของอนุภาค Precipitate ( $v$ ) จะแปรผันตรงกับ  
 $\Delta X_o$  และค่า  $D$  มีผลต่อความเร็วในการโถของแผ่นอนุภาค precipitate

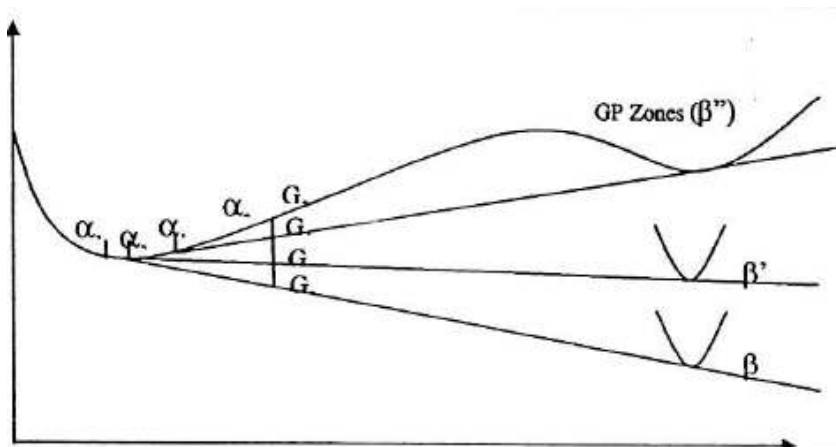
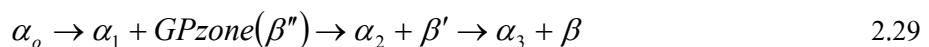


รูปที่ 2.15 อัตราการเย็นตัวของชิ้นทดสอบกับความเร็วในการเติบโตของอนุภาค Precipitate [30]

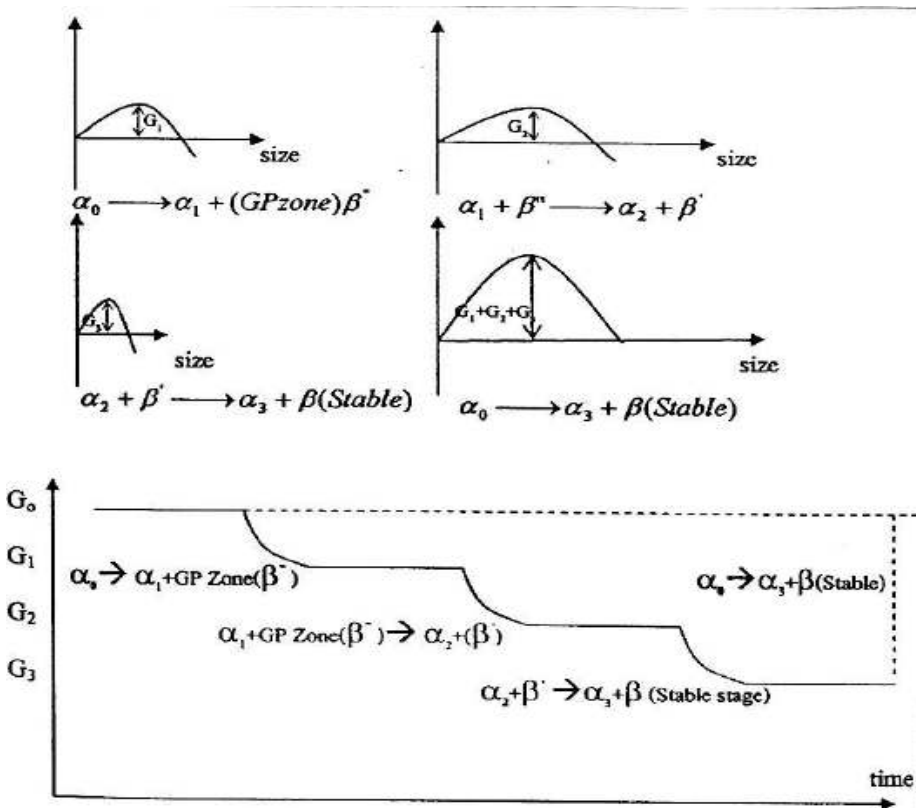
จากรูปที่ 2.15 แสดงให้เห็นถึงอิทธิพลของความเข้มข้นและอุณหภูมิต่ออัตราการเติบโต พบร่วมกันของอนุภาคเดอร์คูลลิง (ΔT มีค่า้อย) ซึ่งส่งผลทำให้ความเร็วในการเติบโตของอนุภาค (v) มีค่าต่ำ เนื่องจากขนาดของ  $\Delta X$  ต่ำ ส่งผลทำให้อัตราเร็วการแพร่ของอะตอมภายในชิ้นงานลดลง ทำให้ความเร็วในการเติบโตของอนุภาค (v) มีค่าต่ำเช่นเดียวกัน ดังนั้นความเร็วในการเติบโตของอนุภาคที่เหมาะสมก็ต่อเมื่อขนาดของอนุภาคเดอร์คูลลิง ( $\Delta T$ ) มีค่าเหมาะสม

## 2.6 Precipitation Transformations

ในโลหะผสมอลูมิเนียมชนิดสามารถบ่มได้ ภายหลังจากผ่านขั้นตอน Solution Treatment และขั้นตอน Quenching ตัวถูกคลายภายในเนื้อเมตริกซ์อยู่ในสภาพอิ่มตัว และอะตอมของซิลิกอนและแมgnีเซียมที่ละลายอยู่ภายในเนื้อเมตริกซ์จะถูกผลักดันออกมายานอก ในรูปของกลุ่มอะตอมของซิลิกอนและแมgnีเซียม เมื่อกลุ่มอะตอมเหล่านี้แพร่มาพบกัน โดยเกิดเป็นกลุ่มอะตอมแมgnีเซียมซิลิไซด์ที่มีรูปร่างเป็นแผ่นบาง ๆ เล็กที่หนาประมาณ 1 หรือ 2 อะตอม เส้นผ่าศูนย์กลางประมาณ 25 อะตอม แผ่นบางเหล่านี้เกิดทุกแห่งในเฟส ซึ่งกลุ่มย่อย ๆ เหล่านี้ถูกเรียกว่า GP Zone ซึ่งมีขนาดเล็กมาก แต่เมื่อเวลาผ่านไปอะตอมซิลิกอนและแมgnีเซียมจะแพร่รวมกันทำให้ใช้เวลาเหล่านี้เกิดการเติบโตโดยเป็นอนุภาคขนาดใหญ่ขึ้น โดยอนุภาคเหล่านี้จะเกิดเป็นเฟสที่ไม่เสถียรภาพ ซึ่งคือ  $\beta''$  และ  $\beta'$  ก่อนที่จะกลายเป็นเฟสสมดุลคือ  $\beta$  แสดงดังสมการที่ 2.29



รูปที่ 2.16 ความสัมพันธ์พลังงานอิสระกับความเข้มข้นของซิลิกอนและแมgnีเซียม อะตอมภายในเนื้อเมตริกซ์ภายหลังขั้นตอน Aging [30]



รูปที่ 2.17 ลำดับการเปลี่ยนเฟสของโลหะผสมอลูมิเนียม-ซิลิกอนเกรด A356 ที่ผ่านการบ่ม [30]

จากรูปที่ 2.16 และ 2.17 พบว่า ชั้นทดสอบหลังจากผ่านขั้นตอน Solution Treatment และ Quenching พนวณว่า ในเนื้อเมตริกซ์อยู่ในสภาพเป็นสารละลายของแข็งอิ่มตัวยึดယุด ซึ่งมีความเข้มข้นของชาตุละลายเข้าในเนื้อเมตริกซ์เท่ากับ  $\alpha_0$  ซึ่งถือว่าอยู่ในสภาพที่ไม่สมดุลเนื่องจากมีการละลายของซิลิกอนแมgnีเซียม ตกค้างอยู่ในเนื้อเมตริกซ์ ส่งผลทำให้พลังงานภายในของเนื้อเมตริกซ์มีค่าสูงมาก ดังนั้น เนื้อเมตริกซ์ต้องการลดระดับพลังงานของตัวเองลง ด้วยการผลักดันอะตอมของซิลิกอนและแมgnีเซียมออกจากเนื้อเมตริกซ์ โดยอาศัยการแพร่แบบแทนที่ เมื่ออะตอมของซิลิกอนและอะตอมแมgnีเซียมมาพบกันจะมีเฟสใหม่เกิดขึ้น ดังนี้  $\alpha_0 \rightarrow \alpha_1 + \beta''(GPZone)$

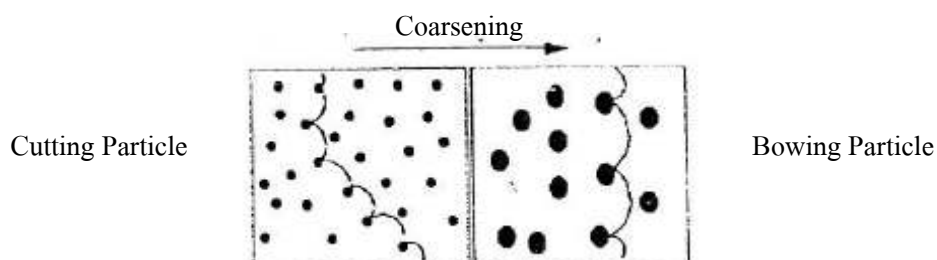
โดยเฟสใหม่จะมีการเกิดแบ่งออกเป็น 2 ลักษณะคือ Homogenous Nucleation และ Heterogeneous Nucleation เกิดกกลุ่มอะตอมแมgnีเซียมซิลิไซด์มีรูปร่างเป็นแผ่นบาง ๆ เล็กที่

หนาประมาณ 1 หรือ 2 อะตอม เส้นผ่าศูนย์กลางประมาณ 25 อะตอม แผ่นบางเหล่านี้เกิดทุกแห่งในเฟส ซึ่งกลุ่มย่อย ๆ เหล่านี้ถูกเรียกว่า GP Zone ซึ่งมีขนาดเล็กมาก โดยมีรูปร่างเป็น needle และลักษณะของ Interface ระหว่าง GP Zone ที่เกิดขึ้นกับเนื้อเมตริกซ์เป็นแบบ Semi-coherent ซึ่งจะมีโครงสร้างคล้ายเหมือนกับเนื้อเมตริกซ์ และบริเวณรอยต่อ มีการจัดเรียงอะตอมเหมือนกัน ซึ่งจะมี Low Interfacial Energy ซึ่งจะต้องใช้พลังงานอิสระในการเกิดเฟสใหม่ดังแสดงในรูปที่ 2.15 และ 2.16 จะเห็นได้ว่าความเข้มข้นของชาตุชิลิกอนและแมgnีเซียมภายในเนื้อเมตริกซ์มีค่าลดลง จาก  $\alpha_o \rightarrow \alpha_1$  ส่งผลทำให้พลังงานภายในระบบมีค่าลดลงจาก  $G_o \rightarrow G_1$  ดังแสดงในรูปที่ 2.15

อย่างไรก็ตามพลังงานภายในของเนื้อเมตริกซ์ยังมีค่ามากกว่า Barrier Energy ของการเปลี่ยนเฟส ดังนั้นจึงเกิดการเปลี่ยนเฟสต่อไปดังสมการ  $\alpha_1 + \beta''(GPZone) \rightarrow \beta' + \alpha_2$  ซึ่งระบบต้องการลดระดับพลังงานลง ด้วยการลดค่านะตอนชิลิกอน แมgnีเซียม ออกจากเนื้อเมตริกซ์ ทำให้เกิดการเติบโตของ GP Zone พัฒนาเป็น เฟส  $\beta''$  ส่งผลทำให้ความเข้มข้นของชาตุภายในเนื้อเมตริกซ์ลดลงจาก  $\alpha_1 \rightarrow \alpha_2$  และพลังงานของระบบลดลงจาก  $G_1 \rightarrow G_2$  ดังแสดงในรูปที่ 2.15 และ 2.16 โดยเนื้อเมตริกซ์ต้องการลดพลังงานภายในของระบบเพื่อต้องการทำให้ระบบมีพลังงานภายในต่ำที่สุด ดังนั้นจึงมีการลดระดับพลังงานภายในของเนื้อเมตริกซ์ของจาก  $G_o \rightarrow G_1 \rightarrow G_2 \rightarrow G_3$  ซึ่งผลทำให้ความเข้มข้นของอะตอมชิลิกอนและแมgnีเซียมในเนื้อเมตริกซ์ลดลงเป็น  $\alpha_o \rightarrow \alpha_1 \rightarrow \alpha_2 \rightarrow \alpha_3$  ซึ่งการเปลี่ยนเฟสที่เกิดขึ้นนี้เป็นฟังก์ชันของอุณหภูมิและระยะเวลา

## 2.7 การเติบโตของอนุภาค Precipitate (Coarsening of Precipitates)

ขั้นตอนการบ่มอนุภาคแมgnีเซียมชิลิไซด์ที่เกิดขึ้นอยู่ในสภาพที่ไม่มีเสถียรภาพ อนุภาคเหล่านี้ต้องการลดพลังงานในบริเวณรอยต่อระหว่างอนุภาค Precipitate กับเนื้อเมตริกซ์ (Interface Energy) โดยอนุภาคขนาดเล็ก กระจายตัวอยู่ในเนื้อเมตริกซ์เหล่านี้รวมตัวกันเป็นอนุภาคที่มีขนาดใหญ่ ดังแสดงในรูปที่ 18 ซึ่งการเติบโตของอนุภาคเหล่านี้ ส่งผลทำให้กลไกการต้านทานการเคลื่อนที่ของดิสโลเคชันเปลี่ยนจาก Cutting Particle เป็น Bowing Particle แสดงดังในรูปที่ 2.18

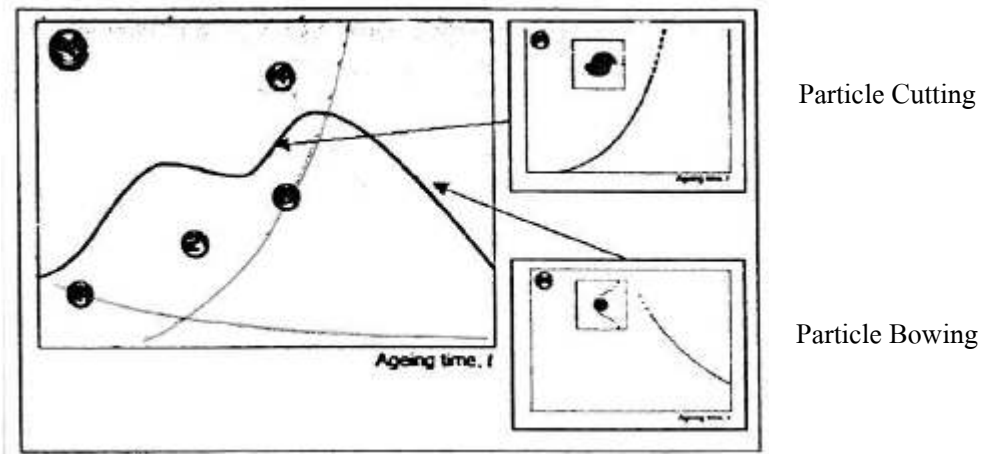


รูปที่ 2.18 ปรากฏการณ์ Coarsening ของอนุภาค Precipitate ส่งผลต่อลักษณะการขัดขวาง การเคลื่อนที่ของดีสโลเกชัน ทำให้ชิ้นทดสอบมีความแข็งแรงเพิ่มขึ้น [30]

เมื่อพิจารณาอนุภาค Precipitate ทรงกลม 2 อนุภาคอยู่ใกล้กัน พบร่วมกับการแพร่ของอะตอมจากอนุภาคที่มีขนาดเล็กไปยังอนุภาคที่มีขนาดใหญ่กว่า ทำให้อนุภาคนั้นโตขึ้นส่วนอนุภาคที่มีขนาดเล็กจะลดตัวลงและหายไปในที่สุด ผลลัพธ์ที่ได้คือขนาดโดยเฉลี่ยของอนุภาคมีขนาดใหญ่ขึ้นแต่จำนวนอนุภาคที่กระจายตัวในเนื้อเมตริกซ์ลดลง ส่งผลทำให้ความแข็งของชิ้นงานมีค่าลดลงซึ่งเรียก Overaging

## 2.8 กลไกการเพิ่มความแข็งแรงจากอนุภาคที่เกิดขึ้นบนเนื้อเมตริกซ์

โดยจะสมอถุมโนนิยมชนิดสามารถบ่มได้ พบร่วมกับความแข็งแรงหลังจากการบ่มจะมีค่าเพิ่มขึ้นเนื่องจากอนุภาค Precipitate ในเนื้อเมตริกซ์จะทำให้ต้านทานการเคลื่อนที่ของ ดีสโลเกชัน และนอกจากนั้นสามารถเพิ่มจำนวนดีสโลเกชันให้มากขึ้น โดยอนุภาคเหล่านั้นขัดขวางการเคลื่อนที่ของดีสโลเกชัน ด้วยกลไก 2 ชนิดดังต่อไปนี้คือ กลไกการตัดผ่านอนุภาค (Particle Cutting) และ กลไกการโอบล้อมรอบอนุภาค (Particle Bowing)



รูปที่ 2.19 กลไกการเพิ่มความแข็งแรงของชิ้นทดสอบในขั้นตอนการบ่ม [30]

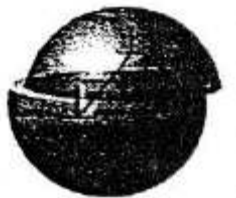
### 2.8.1 กลไก Strain Hardening

ในช่วงเริ่มต้นของขั้นตอน Aging จะเริ่มเกิดกลุ่มอนุภาคของอะตอมซิลิกอนและแมกนีเซียม ซึ่งความหนาเพียง 1-2 อะตอม เท่านั้น เนื่องจากขนาดของอะตอมซิลิกอนและแมกนีเซียมมีความแตกต่าง จึงทำให้เกิด Strain Field รอบ ๆ กลุ่มอนุภาคเหล่านี้ เมื่อชิ้นงาน

ได้รับแรงกระทำจากภายนอก ทำให้เกิดการเคลื่อนที่ของดีสโลแคลชัน ซึ่ง Strain Field ที่เกิดขึ้นนี้ สามารถต้านทานการเคลื่อนที่ของดีสโลแคลชัน ได้เล็กน้อย ส่งผลทำให้ชิ้นงานความแข็งเพิ่มขึ้น เล็กน้อย

### 2.8.2 กลไก Particle Cutting

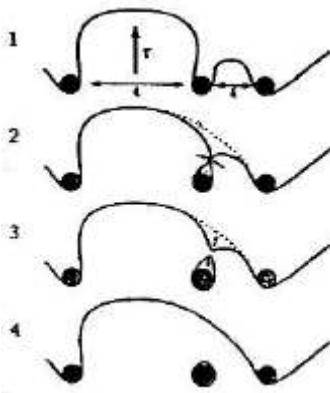
หลังจากกลุ่มอะตอมของซิลิกอนและแมกนีเซียมที่มีขนาดเล็กเกิด การแพร่รวมกันทำให้เกิดเป็นอนุภาค  $Mg_2Si$  และมีลักษณะบริเวณรอยต่อระหว่างเนื้อเมตริกซ์กับอนุภาค  $Mg_2Si$  เป็นแบบ Coherent ซึ่งอนุภาคขนาดเล็กที่เกิดขึ้นเหล่านั้นจะมีโครงสร้างเหมือนกับเนื้อเมตริกซ์ เมื่อชินทดสอบได้รับแรงกระทำจากภายนอก ส่งผลให้เกิดการเคลื่อนของดีสโลแคลชัน โดยอนุภาคเหล่านี้พยายามต้านการเคลื่อนที่ของดีสโลแคลชัน ดังนั้นจะต้องมีการเพิ่มแรงให้กับชินทดสอบเพื่อทำให้ดีสโลแคลชันเคลื่อนที่ผ่านอนุภาคเพื่อทำให้เกิดเป็นผิวใหม่ของอนุภาค ส่งผลทำให้ความแข็งของชิ้นงานเพิ่มขึ้น แสดงดังในรูปที่ 2.20



รูปที่ 2.20 การเคลื่อนที่ของดีสโลแคลชันผ่านอนุภาคด้วยกลไก Particle Cutting [30]

### 2.8.3 กลไก Particle Bowing

กลไก Particle Bowing เกิดจากอนุภาค  $Mg_2Si$  ที่มีเกิดการเติบโตขึ้น ซึ่งมีลักษณะบริเวณรอยต่อระหว่างเนื้อเมตริกซ์กับอนุภาคเป็นแบบ Incoherent ซึ่งคือ เฟส  $\beta$  โดยเมื่อชินงานรับแรงจากภายนอก ทำให้เกิดการเคลื่อนที่ของดีสโลแคลชันและเมื่อดีสโลแคลชันเหล่านั้นเคลื่อนที่มาชนกับอนุภาคเหล่านี้ซึ่งมีความแข็งแรงสูง ทำให้ดีสโลแคลชันไม่สามารถตัดผ่านอนุภาคเหล่านี้ได้ ซึ่งเรียกว่า Particle Bowing ดังแสดงในรูปที่ 2.21 หลังจากดีสโลแคลชัน เคลื่อนที่ผ่านอนุภาคเหล่านี้พบว่าจะเกิดความเครียดภายในโครงสร้างผลีกรอบ ๆ อนุภาค ซึ่งเรียกว่า Strain Field ซึ่งทำหน้าที่ต้านทานการเคลื่อนที่ของดีสโลแคลชันชุดต่อไป ซึ่งกลไกนี้เรียกว่า Orowan mechanism



รูปที่ 2.21 การเคลื่อนที่ของดีสโอลเคลชันผ่านอนุภาคด้วยกลไก Particle Bowing [30]

## 2.9 ปัจจัยที่มีผลต่อขั้นการบ่ม

### 2.9.1 ปัจจัยที่มีผลต่อขั้นตอนการทำ Solution Treatment

2.9.1.1 อุณหภูมิที่ใช้ในขั้นตอน Solution Treatment นิยมใช้ที่อุณหภูมิเท่ากับ  $540^{\circ}\text{C}$  [12]

2.9.1.2 ระยะเวลาที่ใช้ในขั้นตอน Solution Treatment ขึ้นอยู่กับกระบวนการผลิตชิ้นงาน โดยชิ้นงานที่ได้จากการหล่อในแบบหล่อแม่พิมพ์โลหะใช้ระยะเวลาของขั้นตอน Solution Treatment ประมาณ 4-12 ชั่วโมง ในขณะที่ชิ้นงานที่ได้จากการหล่อด้วยแบบหล่อทรายระยะเวลาของขั้นตอน Solution Treatment ประมาณ 12 ชั่วโมง [12]

โดยตัวแปรทั้งสองชนิดที่กล่าวมาข้างต้นมีผลต่อการแพร่ของอะตอมต่าง ๆ ภายในโครงสร้างผลึก โดยขั้นตอน Solution Heat Treatment คือการอบชิ้นทดสอบที่อุณหภูมิสูงทำให้อะตอมต่าง ๆ ภายในโครงสร้างมีพลังงานเพิ่มขึ้น เมื่ออะตอมเหล่านั้นมีพลังงานสูงกว่า Barrier Energy จะทำให้อะตอมเหล่านั้นหลุดออกจากตำแหน่งในโครงสร้างผลึกซึ่งเรียกว่าเวนเดนซีทำให้การแพร่ของอะตอมภายในโครงสร้างผลึกได้ง่ายขึ้น

จากเหตุผลที่โครงสร้างของชิ้นทดสอบในสภาพแวดล้อมมีความแตกต่างของส่วนผสมทางเคมีภายในแต่ละบริเวณ ทำให้อะตอมของชาตุซิลิกอนและแมgnีเซียมเกิดการแพร่จากบริเวณที่มีความเข้มข้นสูงไปยังบริเวณที่มีความเข้มข้นต่ำ สำหรับงานวิจัยนี้พบว่ามีการแพร่ของอะตอมซิลิกอนและแมgnีเซียมจากเฟส  $\text{Mg}_2\text{Si}$  และ เฟส Eutectic Silicon ละลายเข้าสู่เนื้อเมตริกซ์นอกจากนั้นยังมีการเปลี่ยนรูปร่าง ลักษณะและการกระจายตัวของเฟส Eutectic Silicon

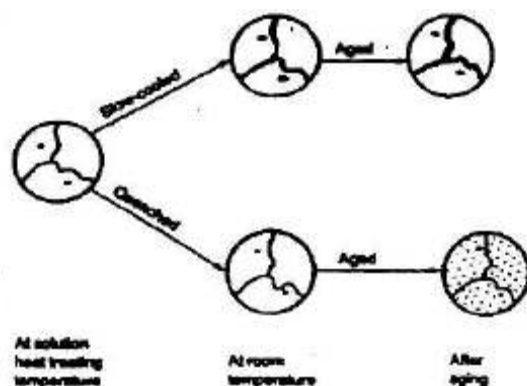
จากแท่งยาวปลายแหลมที่มีความต่อเนื่องให้มีลักษณะกลมมนและระยะห่างระหว่างเฟส Eutectic Silicon มากขึ้นส่งผลทำให้เปอร์เซ็นต์การยึดตัวของชิ้นงานเพิ่มขึ้น [35]

แต่อย่างไรก็ตามควรเลือกใช้อุณหภูมิที่ต่ำกว่าอุณหภูมิ Eutectic คือประมาณ  $577^{\circ}\text{C}$  เพื่อหลีกเลี่ยงการหลอมเหลวในบริเวณของเกรน ซึ่งเกิดเป็นรอยบกพร่องตามขอบเกรน ทำให้ความแข็งแรงของชิ้นงานลดลง

### 2.9.2 ปัจจัยที่มีผลต่อขั้นตอน Quenching

2.9.2.1 ระยะเวลาในการนำชิ้นทดสอบออกจากเตาจนชิ้นงานจุ่มในตัวกลาง ซึ่งเรียกว่า Quenching delay ในกรณีที่มี Quenching delay มาก ทำให้อุณหภูมิชิ้นทดสอบก่อนขั้นตอน Quenching ลดลง ทำให้มีอัตราการซิลิกอนและแมgnีเซียมบางส่วนแพร่ออกจากเนื้อเมตริกซ์ ทำให้เนื้อเมตริกซ์ไม่อุ้ยในสภาพละลายของแข็งที่อ่อนตัวยิ่งขาดหลังจากขั้นตอน Quenching ดังนั้นระยะเวลาในการนำชิ้นทดสอบออกจากเตาและผ่านขั้นตอน Quenching ให้รวดเร็วที่สุด ซึ่งจากการวิจัยที่ผ่านมาพบว่า ชิ้นทดสอบควรมีระยะเวลา Quenching delay น้อยกว่า 30 วินาที [7]

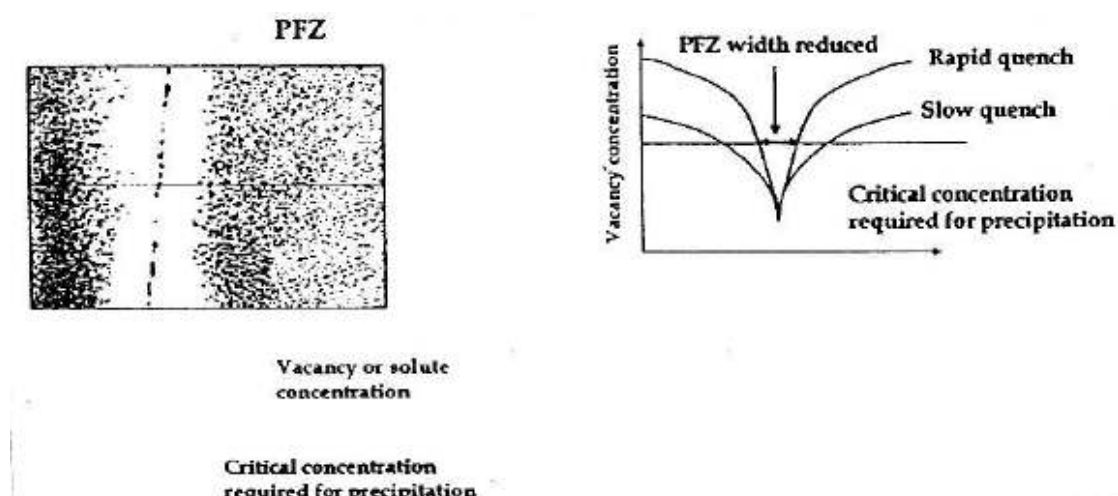
2.9.2.2 อัตราการเย็นตัวของชิ้นทดสอบ โดยพบว่าชนิดของตัวกลางและอุณหภูมิของตัวกลางจะมีผลต่ออัตราการเย็นตัวของชิ้นทดสอบ ตามหนังสือคู่มือ ASM Handbook พบว่า นิยมเลือกใช้ตัวกลางคือนำอุณหภูมิ  $15-65^{\circ}\text{C}$  [12] โดยพบว่าชิ้นทดสอบมีอัตราการเย็นตัวสูง ทำให้มีการตกค้างของซิลิกอนและแมgnีเซียมภายในเนื้อเมตริกซ์มากกว่าชิ้นทดสอบที่มีอัตราการเย็นตัวช้า ซึ่งทำให้ชิ้นงานอุ้ยในสภาพสารละลายอ่อนตัวยิ่งวด แต่ในกรณีชิ้นทดสอบมีอัตราการเย็นตัวช้า พบว่าอัตราการซิลิกอนและแมgnีเซียมสามารถแพร่ออกจากเนื้อเมตริกซ์ไปรวมตัวกันเป็นเฟส  $\text{Mg}_2\text{Si}$  ที่มีขนาดใหญ่ตามขอบเกรน ทำให้มีการตกค้างของซิลิกอนและแมgnีเซียมภายในเนื้อเมตริกซ์น้อย เมื่อนำชิ้นงานผ่านในขั้นตอน Aging จะเกิดอนุภาค  $\text{Mg}_2\text{Si}$  ที่น้อย ทำให้ความแข็งแรงของชิ้นงานต่ำกว่ามาตรฐาน ดังแสดงในรูปที่ 2.22



รูปที่ 2.22 อัตราการเย็นตัวของชิ้นทดสอบกับอนุภาค  $Mg_2Si$  หลังจากขันตอน Aging [17]

จากปัจจัยข้างต้น จะเห็นได้ว่าระยะเวลาของ Quenching delay และอัตราการเย็นของชิ้นทดสอบมีผลต่อการตกค้างของอะตอมซิลิกอนและแมgnีเซียมในเนื้อเมตริกซ์ โดยชิ้นทดสอบที่มีระยะเวลา Quenching delay นาน และมีอัตราการเย็นตัวที่ช้า ส่งผลทำให้อะตอมของธาตุซิลิกอนและแมgnีเซียมที่ละลายในเนื้อเมตริกซ์มีระยะเวลาในการแพร่ออกจากการเย็นต์ เมตริกซ์ซึ่งทำให้มีการตกค้างของซิลิกอนและแมgnีเซียมอะตอมในโครงสร้างมีปริมาณที่น้อยทำให้เนื้อเมตริกซ์ไม่อุดตันสภาวะสารละลายของแข็งอ่อนตัวยิ่งๆ

ตัวอย่างจะแพร่ออกจากการเย็นต์เมตริกซ์ออกไปอยู่บริเวณขอบเกรน ส่งผลให้บริเวณที่ใกล้ขอบเกรนมีความเข้มข้นของซิลิกอนและแมgnีเซียมลดลงภายหลังจากผ่านขันตอน Aging จึงไม่มีอนุภาค  $Mg_2Si$  เกิดขึ้น คือ ซึ่งเรียกว่าบริเวณ Precipitate Free Zone (PFZ) ดังแสดงในรูปที่ 2.23 (บริเวณสีขาวคือ PFZ และจุดสีดำหมายถึงอนุภาค  $Mg_2Si$ ) โดยขนาดของ PFZ ที่มีขนาดใหญ่ส่งผลทำให้ความแข็งของชิ้นทดสอบลดลง เนื่องจากมีอนุภาค  $Mg_2Si$  กระจายในเนื้อเมตริกซ์ลดลง



รูปที่ 2.23 ความสัมพันธ์ระหว่างอัตราการเย็นตัวของชิ้นทดสอบกับบริเวณ Precipitate Free Zone (PFZ) ที่เกิดขึ้นของทดสอบที่ผ่านขันตอน Aging [30]

### 2.9.2.3 ขนาดและรูปร่างของชิ้นงาน

ในการผลิตชิ้นงานมีรูปร่างซับซ้อน หรือ ชิ้นงานที่มีความหนาน้อยควรระมัดระวังในการเลือกชนิดและอุณหภูมิของตัวกล้อง เนื่องจากจะมีปัญหารือของการแตกกราฟของชิ้นงาน

### 2.9.3 ปัจจัยที่มีผลต่อขั้นตอน Aging

#### 2.9.3.1 อุณหภูมิที่ใช้ในตอน Aging

โดยอุณหภูมิในขั้นตอน Aging จะมีผลต่อการแพร่ของอะตอมซิลิกอนและแมกนีเซียมออกจากเนื้อเมตัลิกซ์มาร่วมด้วยกัน เป็นกลุ่มอะตอมของชาตุซิลิกอนและกลุ่มอะตอมของชาตุแมกนีเซียมขนาดเล็กหลังจากกลุ่มอะตอมของชาตุทึ้งสองชนิดเกิดการแพร่มาพบกันจะรวมด้วยกัน เมื่อขนาดของกลุ่มอะตอมเหล่านี้มีขนาดโตกว่าขนาดวิกฤต ทำให้กลุ่มอะตอมเหล่านี้เกิดการเติบโตเมื่อการเปลี่ยนเฟสแบบ Precipitation Hardening จนกลายเป็นอนุภาค  $Mg_2Si$  ซึ่งส่วนใหญ่นิยมอุณหภูมิในขั้นตอน Aging คือ  $150-170^{\circ}C$  แต่มีข้อควรระวังถ้าเลือกใช้อุณหภูมิในขั้นตอน Aging สูงเกินไป จะทำให้อะตอมต่าง ๆ มีการแพร่ได้รับทางที่ไกลขึ้น ส่งผลทำให้เกิดการเติบโต  $Mg_2Si$  ที่เกิดขึ้นตามขอบเกรน ทำให้ปริมาณของซิลิกอนและแมกนีเซียมอะตอมที่ละลายในเนื้อเมตัลิกซ์ลดลง ความแข็งแรงของชิ้นงานจึงลดลง และอาจเกิดความไม่สม่ำเสมอในการโดยของอนุภาค  $Mg_2Si$  ในแต่ละบริเวณ

#### 2.9.3.2 ระยะเวลาที่ใช้ในขั้นตอน Aging

โดยระยะเวลาในขั้นตอน Aging มีผลต่อการแพร่ของซิลิกอนและแมกนีเซียมออกจากเนื้อเมตัลิกซ์มารังอนุภาค  $Mg_2Si$  และทำให้เกิดการเปลี่ยนเฟสแบบ Precipitate Hardening โดยเนื้อเมตัลิกซ์มีปริมาณซิลิกอนและแมกนีเซียมน้อย จะต้องใช้ระยะเวลาในขั้นตอน Aging เพิ่มขึ้น

#### 2.9.3.3 ปริมาณอะตอมของซิลิกอนและแมกนีเซียมที่ละลายอยู่ในเนื้อเมตัลิกซ์ ก่อนขั้นตอน Aging

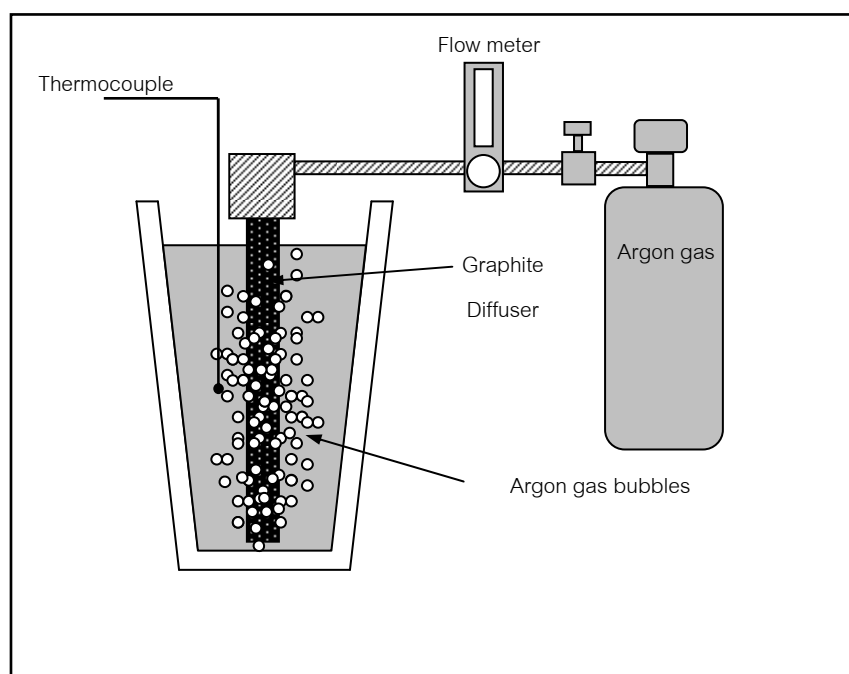
ปริมาณอะตอมของซิลิกอนและแมกนีเซียมที่ละลายในเนื้อเมตัลิกซ์ มีผลต่อระยะห่างระหว่างกลุ่มซิลิกอนและกลุ่มแมกนีเซียมที่ละลายอยู่ในเนื้อเมตัลิกซ์ ในกรณีที่เนื้อเมตัลิกซ์ที่มีซิลิกอนและแมกนีเซียมน้อย ระยะห่างของกลุ่มอะตอมเหล่านี้มากขึ้น จึงต้องใช้ระยะเวลาในการ Aging ที่มากขึ้น ซึ่งจากปัจจัยข้างต้นพบว่าปริมาณอะตอมของซิลิกอนและแมกนีเซียมมีผลต่อการเติบโตของอนุภาค  $Mg_2Si$  ที่เกิดขึ้น โดยขนาดและปริมาณของอนุภาค  $Mg_2Si$  ที่กระจายตัวภายในเนื้อเมตัลิกซ์ทำให้หน้าที่การขัดขวางการเคลื่อนที่ของดีสโลโคเซนที่เกิดขึ้น ด้วยกลไก 2 แบบคือ Particle Cutting และ Particle Bowing ส่งผลทำให้ชิ้นทดสอบมีความแข็งแรงเพิ่มขึ้น

จากที่กล่าวมาข้างต้นเห็นได้ว่าปัจจัยที่มีผลต่อขั้นตอนการบ่มของโลหะผสมอลูминเนียม-ซิลิกอนหล่อ เกรด A356 คือ อุณหภูมิและระยะเวลาในขั้นตอนต่าง ๆ ในการบ่มโดยส่วนใหญ่ต้นทุนการผลิตของการบ่มนั้นจะอยู่ในขั้นตอน Solution Treatment เนื่องจากจะต้องอบชิ้นงานที่อุณหภูมิสูง ดังนั้นการลดต้นทุนการบ่มนั้นควรเลือกอุณหภูมิที่ใช้ในขั้นตอน Solution Treatment ให้มีค่าใกล้เคียงกับอุณหภูมิที่จุด Eutectic นิยมใช้ที่อุณหภูมิ  $540^{\circ}C$  และควรใช้ระยะเวลาให้สั้นที่สุดเพื่อเป็นการลดต้นทุนการผลิต และ จากความรู้พื้นฐานของการแพร่ของ

จะต้องพิจารณาเพิ่มขึ้นหรือบีบอัดอย่างต่อเนื่อง ภายใต้การดูแลของแพทย์ผู้เชี่ยวชาญเฉพาะทาง ที่สามารถประเมินความเสี่ยงและวางแผนการรักษาอย่างเหมาะสม รวมถึงการใช้ยาต้านภัยชั่วคราว เช่น ยาต้านไข้หวัดใหญ่ ยาแก้แพ้อากาศ ยาบรรเทาปวด ฯลฯ ตามความจำเป็น สำหรับผู้ที่มีภาวะแทรกซ้อน เช่น ไข้สูง ไอแห้ง หายใจลำบาก ควรรีบพบแพทย์ทันที ไม่ควรลังเล เนื่องจากภาวะแทรกซ้อนเหล่านี้อาจทำให้เกิดภาวะชั่วคราว เช่น ภาวะหอบหืด ภาวะหัวใจล้มเหลว หรือภาวะหัวใจขาดเลือด ซึ่งอาจเป็นสาเหตุของการเสียชีวิตได้

## 2.10 การผลิตโลหะกึ่งของแข็งด้วยกรรมวิธีปัลล้อยฟองแก๊สระหว่างการเผาตัว

กระบวนการหล่อโลหะกึ่งของแข็งด้วยเทคนิค GISS (Gas induced semi-solid) เจยฎา วรรณสินธุ์ (2006) เป็นกระบวนการสร้างโลหะกึ่งของแข็งด้วยกรรมวิธีการพ่นฟองแก๊ส เกี่ยวข้องกับการหล่อโลหะกึ่งแบบ Rheocasting ที่ให้โครงสร้างเกรนแบบก้อนกลม (Spherical grain) คุณสมบัติของโลหะกึ่งของแข็งมีหลายประการ เช่น มีอุณหภูมิที่ต่ำกว่าโลหะเหลว โลหะเริ่มแข็งตัวบางส่วนแล้วจะละเทไส่แม่พิมพ์มีความหนืดลื่นสูงกว่าน้ำโลหะ มีความเค้นขันสูงกว่าโลหะที่แข็งตัวแล้ว เป็นต้น ซึ่งคุณสมบัติดังกล่าวมีข้อดีด้วยประการที่สามารถนำไปประยุกต์ใช้ได้อย่างหลากหลายในกระบวนการผลิต เช่น ลดการเกิดของเสียจากปฏิกิริยา ระหว่างออกซิเจนในขั้นตอนการหล่อโลหะลงในเม็ด และลดการเกิดโพรงหดตัว (Shrinkage) อีกทั้งยังช่วยยืดอายุการใช้งานของแม่พิมพ์ ดังแสดงในรูปที่ 2.24



รูปที่ 2.24 Schematic ของกระบวนการผลิตโลหะกึ่งของแข็งค้ายกรรมวิธีการปล่อยฟองแก๊ส [1]

## 2.11 การทดสอบแรงดึง (Tension Test)

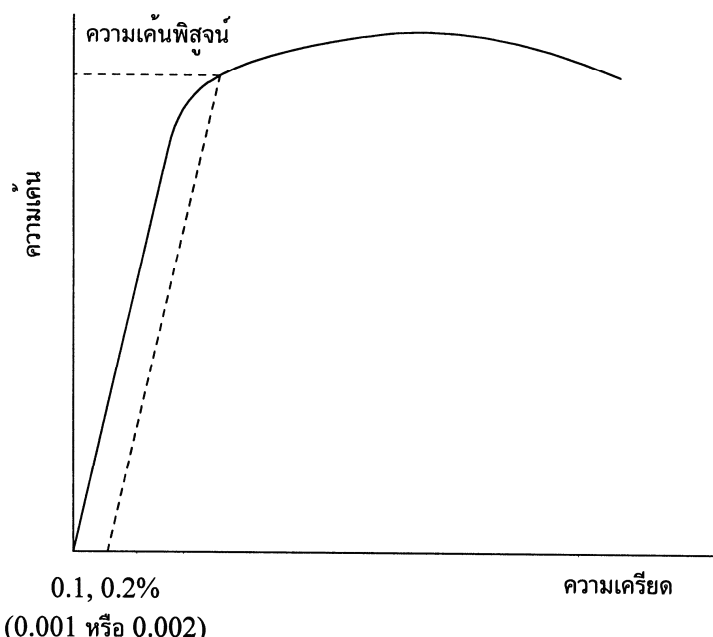
วิธีการทดสอบนี้ เราจะนำตัวอย่างที่จะทดสอบมาดึงอย่างช้าๆ แล้วบันทึกค่าของความเก็บและความเครียดที่เกิดขึ้นไว้ แล้วมาพัฒนาเป็นเส้นโค้งดังรูปที่ 2.25 ขนาดและรูปร่างของชิ้นทดสอบมีต่าง ๆ กัน ขึ้นอยู่กับชนิดของวัสดุนั้น ๆ มาตรฐานต่าง ๆ ของการทดสอบ เช่น มาตรฐานของ ASTM (American Society of Testing and Materials), BS (British Standards), JIS (Japanese Industrial Standards) หรือแม้แต่ มอง. (มาตรฐานผลิตภัณฑ์อุตสาหกรรมไทย) ได้กำหนดขนาดและรูปร่างของชิ้นทดสอบไว้ ทั้งนี้เพื่อให้ผลของการทดสอบเชื่อถือได้ พร้อมกับกำหนดความเร็วในการเพิ่มแรงกระทำเอาไว้ด้วย

จากการศึกษาเส้นโค้งความเก็บ-ความเครียด เราพบว่า เมื่อเราดึงชิ้นทดสอบอย่างช้าๆ ชิ้นทดสอบจะค่อย ๆ ยืดออก จนถึงจุดหนึ่ง ซึ่งในช่วงนี้ความสัมพันธ์ระหว่างความเก็บ-ความเครียดจะเป็นสัดส่วนคงที่ ทำให้เราได้กราฟที่เป็นเส้นตรง ตามกฎของ勾 (Hooke's law) ซึ่งกล่าวว่าความเก็บเป็นสัดส่วนโดยตรงกับความเครียดเรียกว่าพิกัดสัดส่วน (Proportional Limit) และภายใต้พิกัดสัดส่วนนี้ วัสดุจะแสดงพฤติกรรมการคืนรูปแบบอิลาสติก (Elastic Behavior) นั่นคือเมื่อปล่อยแรงกระทำ ชิ้นทดสอบจะกลับไปมีขนาดเดิม

เมื่อเราเพิ่มแรงกระทำต่อไปจนเกินพิกัดสัดส่วน เส้นกราฟจะค่อย ๆ โค้งออกจากเส้นตรงวัสดุหลายชนิดจะยังคงแสดงพฤติกรรมการคืนรูปได้อีกเล็กน้อยจนถึงจุด ๆ หนึ่งเรียกว่า พิกัดยึดหยุ่น (Elastic Limit) ซึ่งจุดนี้จะเป็นจุดกำหนดว่าความเก็บสูงสุดที่จะไม่ทำให้เกิดการเปลี่ยนรูปถาวร (Permanent Deformation or Offset) กับวัสดุนั้น เมื่อผ่านจุดนี้ไปแล้ววัสดุจะมีการเปลี่ยนรูปอย่างถาวร (Plastic Deformation) ลักษณะการเริ่มต้นของความเครียดแบบพลาสติกนี้ เป็นจุดที่เกิดการเปลี่ยนรูปอย่างรวดเร็ว โดยไม่มีการเพิ่มความเก็บ (บางครั้งอาจจะลดลงก็มี) ซึ่งเป็นจุดที่เกิดการเปลี่ยนรูปแบบพลาสติกนี้เรียกว่าจุดคราก (Yield Point) และค่าของความเก็บที่จุดนี้เรียกว่า ความเก็บจุดคราก (Yield Stress) หรือ Yield Strength ค่า Yield Strength นี้มีประโยชน์กับวิศวกรรมมาก เพราะเป็นจุดแบ่งระหว่างพฤติกรรมการคืนรูปกับพฤติกรรมการคงรูป และในกรณีของโลหะจะเป็นค่าความแข็งแรงสูงสุดที่เราคงใช้ประโยชน์ได้โดยไม่เกิดการเสียหาย

วัสดุหลายชนิด เช่น อลูมิเนียม ทองแดง จะไม่แสดงจุดครากอย่างชัดเจน แต่เรียกว่า มีวิธีที่จะหาได้โดยกำหนดความเครียดที่ 0.10-0.20% ของความยาวกำหนดเดิม (Original Gage Length) แล้วทำการสืบขนาดกับกราฟช่วงแรกไปจนตัดเส้นกราฟที่โค้งไปทางด้านขวา ดังรูปที่ 2.25

ค่าความเค้นที่จุดตัดนี้จะนำมาใช้แทนค่าความเค้นจุดครากได้ ความเค้นที่จุดนี้ บางครั้งเรียกว่า ความเค้นพิสูจน์ (Proof Stress) หรือความเค้น 0.1 หรือ 0.2% offset ดังแสดงในรูปที่ 2.25

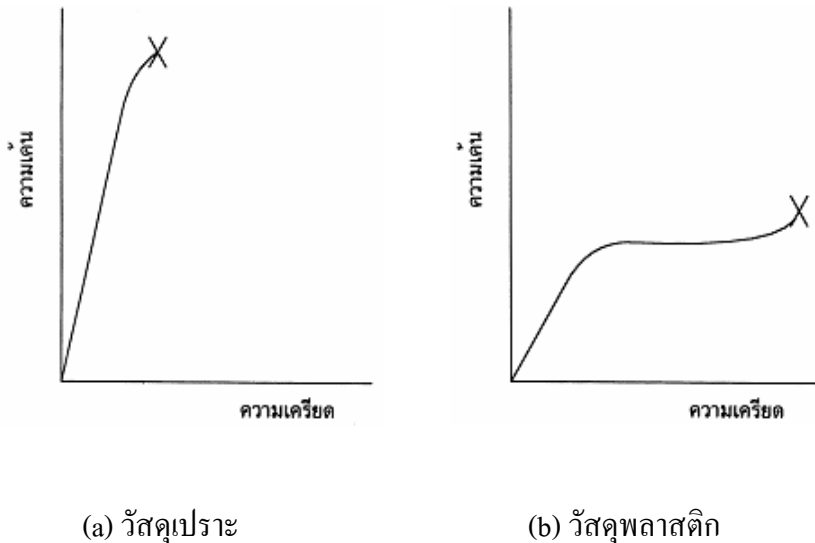


รูปที่ 2.25 เส้นโค้งความเค้น-ความเครียดแบบที่ไม่มีจุดคราก [4]

หลังจากจุดครากแล้ว วัสดุจะเปลี่ยนรูปแบบพลาสติกโดยความเค้นจะค่อยๆ เพิ่มอย่างช้าๆ หรืออาจจะคงที่จนถึงจุดสูงสุดค่าความเค้นที่จุดนี้เรียกว่า Ultimate Strength หรือความเค็นแรง-ดึง (Tensile Strength) ซึ่งเป็นค่าความเค้นสูงสุดที่วัสดุจะทนได้ก่อนที่จะขาดหรือแตกออกจากกัน (Fracture) เนื่องจากวัสดุหลายชนิดสามารถเปลี่ยนรูปอย่างพลาสติกได้มาก ๆ ค่าความเค้นสูงสุดนี้สามารถนำมาคำนวณใช้งานได้ นอกจากนี้ ค่านี้ยังใช้เป็นดัชนีเปรียบเทียบคุณสมบัติของวัสดุได้ด้วย คำว่า ความแข็งแรงของวัสดุ หรือ กำลังวัสดุนั้น โดยทั่วไปจะหมายถึงค่าความเค้นสูงสุดที่วัสดุทนได้นีเอง

ที่จุดสุดท้ายของกราฟ เป็นจุดที่วัสดุเกิดการแตกหรือขาดออกจากกัน (Fracture) สำหรับโลหะบางชนิด เช่น เหล็กกล้าคาร์บอนค่าหรือโลหะหนึ่ง ค่าความเค้นประดับ (Rupture

Strength) นี้จะต่ำกว่าความกึ่นสูงสุด เพราะเมื่อเลยจุดแตกหักไป พื้นที่ภาคตัดขวางของตัวอย่างทดสอบลดลง ทำให้พื้นที่จีด้านทันแรงดึงลดลงด้วย ในขณะที่เรยังคงคำนวณค่าของความกึ่นจากพื้นที่หน้าตัดเดิมของวัสดุก่อนที่จะทำการสอนแรงดึง ดังนั้นค่าของความกึ่นจึงลดลง ส่วนโลหะอื่น ๆ เช่น โลหะที่ผ่านการขึ้นรูปเย็น (Cold Work) มาแล้ว มันจะแตกหักที่จุดความกึ่นสูงสุด โดยไม่มีการลดขนาดพื้นที่ภาคตัดขวาง ดังรูปที่ 2.26 a ท่านองเดียวทันพากวัสดุเปราะ (Brittle Materials) เช่น เซรามิก ที่มีการเปลี่ยนรูปอย่างพลาสติกน้อยมากหรือไม่มีเลย ส่วนกรณีของวัสดุที่เป็นพลาสติกจะเกิดแตกหักโดยที่ต้องการความกึ่นสูงขึ้น ดังรูปที่ 2.26 b



รูปที่ 2.26 เปรียบเทียบเส้นโค้งความกึ่น-ความเครียดของวัสดุเปราะและวัสดุพลาสติก [4]

เส้นโค้งความกึ่น-ความเครียดนี้ นอกจจะใช้บอกค่าความแข็งแรง ณ จุดคราก (Yield Strength) ความกึ่นสูงสุดและความกึ่นประดับแล้ว ยังจะใช้บอกค่าต่าง ๆ ได้อีกดังนี้ คือ

- ความเนียนยา (Ductility) คือ ค่าที่ใช้วัดจะบอกเปอร์เซ็นต์ การยืดตัว (Percentage Elongation) และการลดพื้นที่ภาคตัดขวาง (Reduction of Area) โดยที่

$$\text{เปอร์เซ็นต์การยืดตัว (\%E1)} = \frac{L_f - L_o}{L_o} \times 100\%$$

เมื่อ  $L_f$  = ความยาวของเกจหลังจากดึงจนขาด  
 $L_o$  = ความยาวของเกจเริ่มต้น

$$\text{การลดพื้นที่ภาคตัดขวาง (\%R.A.)} = \frac{A_o - A_f}{A_o} \times 100\%$$

เมื่อ  $A_o$  = พื้นที่หน้าตัดก่อนดึง

$$A_f = \text{พื้นที่หน้าตัดหลังจากดึงขาด}$$

ในทางปฏิบัติเรามักใช้ค่า %E1 มากกว่า เพราะสะดวกในการวัด ความเห็นใจของวัสดุนี้จะเป็นตัวบอกความสามารถในการขึ้นรูปของมัน คือถ้าวัสดุมีความเห็นใจ (%E1 สูง) ก็สามารถ捺นำไปขึ้นรูป เช่น ริด ตีขึ้นรูป คงเป็นลวด ฯลฯ ได้ง่าย แต่ถ้ามีความเห็นใจต่ำ, เปราะ (Brittle) ก็จะ捺นำไปขึ้นรูปยาก หรือทำไม่ได้ เป็นต้น

#### - Modulus of Elasticity or Stiffness

ภายในได้พิจัดสัดส่วนชื่้วัสดุมีพฤติกรรมเป็นอิเล็กติก อัตราส่วนระหว่างความเค้นต่อความเครียดจะเท่ากับค่าคงที่ ค่าคงที่นี้เรียกว่า Modulus of Elasticity (E) หรือ Young's Modulus หรือ Stiffness

$E = \frac{\sigma}{e} = \frac{PL}{A\Delta L}$  มักมีหน่วยเป็น ksi (1 ksi = 1000 psi) หรือ kgf/mm<sup>2</sup> หรือ GPa (สังเกตว่าเป็นหน่วยเดียวกับหน่วยของความเค้น)

ถ้าแรงที่มากระทำเป็นแรงเฉือนเราเรียกค่าคงที่นี้ว่า Shear Modulus หรือ Modulus of Rigidity (G)

$$G = \frac{\tau}{\gamma} = \frac{Ph}{Aa}$$

ค่า E และ G ของวัสดุแต่ละชนิดจะมีค่าเฉลี่ยคงที่ และเป็นตัวบอกความสามารถคงรูป (Stiffness, Rigidity) ของวัสดุ นั่นคือ ถ้า E และ G มีค่าสูง วัสดุจะเปลี่ยนรูปอย่างอิเล็กติกได้น้อย แต่ถ้า E และ G ต่ำ มันก็จะเปลี่ยนรูปอย่างอิเล็กติกได้มาก ค่า E และ G นี้มีประโยชน์มากสำหรับงานออกแบบวัสดุที่ต้องรับแรงต่าง ๆ

## 2.12 ความแข็ง (Hardness)

ความแข็งของวัสดุเกี่ยวพันกับการจับตัวของอะตอมและโมเลกุลภายในเนื้อวัสดุ เช่นเดียวกันกับความแข็งแรง ดังนั้นความแข็งมักจะเพิ่มเมื่อวัสดุมีความแข็งแรงสูงขึ้นนั่นคือ พากโลหะและเซรามิกจะแข็งกว่าพลาสติกและโพลีเมอร์

การทดสอบความแข็ง มีอยู่หลายวิธี แต่ที่ใช้กันมากที่สุดมี 3 วิธี คือ

- การทดสอบความแข็งแบบบรินอล (Brinell Hardness Test) วิธีการ คือ ใช้ลูกบล็อกเหล็กที่ผ่านการซุบมาอย่างดี ขนาดเส้นผ่านศูนย์กลาง 10 มม. กดลงบนผิวเรียบของวัสดุที่จะวัด โดยใช้แรง 3000 กก. สำหรับวัสดุแข็ง และ 500 กก. สำหรับวัสดุอ่อน โดยใช้เวลา 30 วินาที เป็นมาตรฐาน จากนั้นวัดเส้นผ่านศูนย์กลางของรอยบุ้ม (Indentation) นำค่าที่ได้ไปคำนวณ จะได้ค่าความแข็งแบบบรินอล (Brinell hardness number) การทดสอบความแข็งแบบบริ

เนلنี้ ไม่เหมาะสมกับวัสดุแข็ง เนื่องจากความแข็งของหัวกดไม่มากนัก นอกจานี้ยังไม่เหมาะสมกับชิ้นทดสอบที่บางกว่าขนาดของรอยบุ๋ม

2. การทดสอบความแข็งแบบร็อกเวล (Rockwell Hardness Test) การทดสอบแบบนี้คล้ายกับการทดสอบแบบบรินเดล แต่ใช้หัวกดเล็กกว่าและแรงน้อยกว่า ค่าของแรงที่ใช้และชนิด หรือขนาดของหัวกดจะเปลี่ยนได้ ขึ้นกับสเกลของความแข็งแบบร็อกเวลที่เราจะเลือกใช้ให้เหมาะสมกับชนิดของวัสดุที่จะทดสอบ การอ่านค่าของความแข็งจะอ่านโดยตรงจากเครื่องกล่าวคือ ถ้าความลึกของรอยกดลงไปดีน ค่าของตัวเลขจะสูง แสดงว่าวัสดุมีความแข็งมาก วิธีการทดสอบจะให้แรงกระทำเล็กน้อยคือ 10 กก. จากนั้นจะเพิ่มแรงกระทำขึ้น ซึ่งอาจจะมีตั้งแต่ 60-100 กก. ขึ้นอยู่กับขนาดและชนิดของหัวกด นอกจากนี้ยังขึ้นอยู่กับชนิดของวัสดุที่จะทดสอบด้วย หัวกดที่ใช้อาจจะเป็นลูกบล็อกหรือเพชรที่มีรูปกรวย การทดสอบแบบร็อกเวลนี้ใช้อุปกรณ์ที่ใช้สำหรับตรวจสอบความแข็งของวัสดุชนิดต่าง ๆ ได้มากกว่า สามารถวัดความแข็งของวัสดุที่การทดสอบแบบบรินเดลไม่ได้ การใช้งานสะดวกอ่านค่าได้รวดเร็ว เพราะอ่านโดยตรงจากเครื่องและเนื่องจากการอยบุ๋มมีขนาดเล็กจึงไม่ทำลายผิวของชิ้นทดสอบ

3. การทดสอบความแข็งแบบวิคเกอร์ (Vickers Hardness Test) การทดสอบแบบวิคเกอร์นี้คล้ายกับบรินเดลในแง่ที่ว่า ค่าที่ได้เป็นอัตราส่วนระหว่างแรงที่ใช้ต่อพื้นที่ของรอยกดแต่ต่างกันที่หัวกดที่ใช้เป็นเพชรรูปปีระมิด แรงที่ใช้มีตั้งแต่ 5-120 กก. ขึ้นอยู่กับความแข็งของวัสดุ

## 2.13 งานวิจัยที่เกี่ยวข้อง

### 2.13.1 งานวิจัยที่เกี่ยวข้องกับชั้นตอนการทำ Solution Treatment

2.13.1.1 ผลของชั้นตอน Solution Treatment ต่อโครงสร้างจุลภาคของโลหะผสมอลูมิเนียม-ซิลิกอนหล่อ เกรด A356 แบ่งออกเป็น 3 ประการดังต่อไปนี้คือ

- ก. การละลายอะตอมของซิลิกอนและแมgnีเซียมเข้าสู่เนื้อเมตัลิกซ์
  - ข. ความเป็นเนื้อเดียวกันของชิ้นงาน Homogenization ของชิ้นงานหล่อ
  - ค. เปลี่ยนแปลงลักษณะ ขนาด รูปร่างของเฟลส Eutectic Silicon
- 2.13.1.1. ก. การละลายของซิลิกอนและแมgnีเซียมเข้าสู่เนื้อเมตัลิกซ์ Closset และคณะ [11] ทำการศึกษาปริมาณความเข้มข้นของอะตอมซิลิกอน และอะตอมแมgnีเซียมภายในเนื้อเมตัลิกซ์ ภายหลังจากชิ้นงานโลหะผสมอลูมิเนียม-ซิลิกอนหล่อเกรด A356 ผ่านชั้นตอนการบ่ม ด้วยเครื่อง Electron Probe Micro Analysis (EPMA) พบร่วาปริมาณอะตอมของซิลิกอนและแมgnีเซียม จะมีปริมาณสูงสุดบริเวณกลางระหว่างแขน Dendrite ของเฟลส  $\alpha - Al$  และเมื่อผ่านชั้นตอน Solution Treatment พบร่วาเกิดการละลายของอะตอมซิลิกอนเข้าสู่เนื้อเมตัลิกซ์ และชิ้นงานมีความเป็นเนื้อเมตัลิกซ์เดียวกันหลังจากผ่านชั้นตอน Solution Treatment ที่อุณหภูมิ  $550^{\circ}C$  เป็นระยะเวลา 30 นาที ส่วน Zhang และคณะ [39] ทำ

การวิเคราะห์ส่วนผสมทางเคมีชั้นทดสอบด้วยเครื่อง EPMA พบว่าชั้นทดสอบในสภาพหล่ออุ่นผ่านขั้นตอนการบ่ม พบร่วมปริมาณอะตอมของซิลิกอนและแมกนีเซียมภายในเนื้อเมตริกซ์ เท่ากับ 0.3% โดยน้ำหนัก และ 0.15% โดยน้ำหนัก ตามลำดับ หลังจากชั้นทดสอบผ่านขั้นตอน Solution Treatment ที่อุณหภูมิ  $540^{\circ}\text{C}$  นาน 9.5 นาที พบว่าอะตอมของซิลิกอนและแมกนีเซียมเกิดการแพร่เข้าสู่เนื้อเมตริกซ์ เมื่อวิเคราะห์ส่วนผสมด้วยเครื่อง EPMA พบว่าปริมาณของชาตุซิลิกอนและแมกนีเซียมมีค่าเพิ่มขึ้น เท่ากับ 1.3% โดยน้ำหนัก และ 0.3% โดยน้ำหนัก ตามลำดับ และเมื่อเพิ่มอุณหภูมิของขั้นตอน Solution Treatment1 ให้สูงขึ้นเป็นที่อุณหภูมิ  $550^{\circ}\text{C}$  พบว่าจะทำให้ชาตุซิลิกอนและแมกนีเซียมสามารถละลายภายในเฟส  $\alpha - \text{Al}$  ได้เพิ่มขึ้นเล็กน้อย ซึ่งไม่เกิดความแตกต่างกัน และ S.Shivkumar [33] ได้ศึกษาผลของการปรับปรุงโครงสร้างของเฟสซิลิกอนในโลหะผสมอลูมิเนียม-ซิลิกอนหล่อ เกรด A356 ด้วยการเติมสตอรอนเซียม (Sr) กับระยะเวลาของขั้นตอน Solution Treatment ที่เหมาะสม พบร่วมชั้นทดสอบที่ถูกปรับโครงสร้างเฟสซิลิกอนให้ละเอียด สามารถลดระยะเวลาของขั้นตอน Solution Treatment

#### 2.13.1.1. ค. การเปลี่ยนแปลงลักษณะของโครงสร้างของเฟส Eutectic Silicon

โดยทั่วไปโครงสร้างเฟส Eutectic Silicon ที่เย็นตัวในสภาพหล่อ มีลักษณะเป็นแท่งปลายแหลม และอยู่ระหว่างแขน dendrite ซึ่งเป็นจุดกำหนดในการแตกร้าว ซึ่งพบว่าเมื่อทำการ Solution Treatment ในระยะเวลานานส่งผลให้เฟส Eutectic Silicon มีความกลมมากขึ้น ซึ่งสามารถเปลี่ยนขนาดและรูปร่างได้ 2 วิธีดังนี้

1. การเติมชาตุ Na หรือ Sr ลงน้ำโลหะอลูมิเนียม-ซิลิกอน โดยชาตุเหล่านี้ขัดขวางการโตของซิลิกอน ทำให้เฟส Eutectic Silicon เปลี่ยนจากแท่งยาวปลายแหลมเป็นแท่งสั้น มีลักษณะค่อนข้างกลมและละเอียดมากขึ้นกว่า As-Cast ซึ่งจากการวิจัยของ D.L. Zhang และคณะ [39] ทำการเปลี่ยนลักษณะขนาดและรูปร่างของเฟส Eutectic Silicon ด้วยการเติม 0.015% โดยน้ำหนักของสตอรอนเซียมในน้ำอลูมิเนียมหลอมเหลวเกรด A356 หลอมเหลว ทำให้ได้โครงสร้างของเฟส Eutectic Silicon ที่ละเอียดและกระจายตัวสม่ำเสมอ ส่งต่อการลดระยะเวลาในการทำการ Solution Treatment

2. การอบชิ้นงานไคลอุณหภูมิ Eutectic เป็นเวลานานจะทำให้เฟส Eutectic Silicon มีลักษณะกลมเพิ่มขึ้น และระยะห่างระหว่างเฟส Eutectic Silicon มีค่าเพิ่มขึ้น ส่งผลทำให้ชั้นทดสอบมีความเนียนยวาวเพิ่มขึ้นกว่าชั้นทดสอบในสภาพหล่อ

Zhang และคณะ [33] ทำการศึกษาการเปลี่ยนแปลงลักษณะของเฟส Eutectic Silicon ในขั้นตอน Solution Treatment อุณหภูมิ  $540^{\circ}\text{C}$  เป็นระยะเวลา 1.5 นาทีพบว่า เฟส Eutectic Silicon เริ่มแตกออกเป็นส่วนเล็ก และหลังจาก 5.5 นาทีพบว่า เฟส Eutectic Silicon เริ่มกลมมากขึ้นจนกระทั่งหลังจาก 19.5 นาทีพบว่าระยะห่างระหว่างเฟส Eutectic Silicon มีค่าเพิ่มขึ้น หลังจากอบชิ้นงานเป็นระยะเวลา 6 ชั่วโมงพบว่ามีการเปลี่ยนแปลงโครงสร้างของเฟส

Eutectic Silicon (พิจิตรเล็กน้อย) ซึ่งแสดงให้เห็นว่าการทำ Modification จะส่งผลต่อการทำ Short Solution Heat Treatment และ Zhu et al. [40] ได้สนับสนุนถึงลักษณะการเปลี่ยนแปลงของเฟส Eutectic Silicon คือ โดยเริ่มต้นเฟส Eutectic silicon ที่มีลักษณะแห่งขาวปลาย เริ่มมีการแตกออกเป็นส่วนเล็ก และหลังจากนั้นส่วนของเฟส Eutectic Silicon ที่แตกออกเหล่านั้นมีความกลมเพิ่มขึ้น

#### 2.13.1.2 ผลของขั้นตอน Solution Treatment ต่อ สมบัติทางกล

ลักษณะ, รูปร่าง และการกระจายตัวของเฟส Eutectic Silicon จะมีผลต่อสมบัติทางกลมากกว่าระยะระหว่างแขน Dendrite Arm Spacing (DAS) ซึ่ง Tsuluda และคณะ [35] ศึกษาผลของระยะเวลาและอุณหภูมิในขั้นตอน Solution Heat Treatment ต่อสมบัติทางกลในโลหะผสมอลูมิเนียมชิลิกอนซึ่งมีส่วนผสมดังนี้ Al-6.85%wt.Si-0.3%wt.Mg-0.2%wtFe-0.12%wt.Ti-0.006%wt.Na พบร่วมกันว่าความแข็งแรง, เปอร์เซ็นต์การยืดตัว (%Elongation) และ ทนทานต่อแรงกระแทก (Impact Strength) เพิ่มขึ้นตามระยะเวลาการทำ Solution Heat Treatment ซึ่งระยะเวลาในการทำ Solution Heat Treatment ที่นานขึ้นจะเปลี่ยนแปลงลักษณะเฟส Eutectic Silicon จากเป็นแท่งปลายแหลมให้มีลักษณะกลมมนมากขึ้น ส่งผลทำให้เปอร์เซ็นต์การยืดตัวมีค่าเพิ่มขึ้น และความแข็งแรงที่เพิ่มขึ้นเกิดจากการเปลี่ยนจากแท่งปลายแหลมซึ่งเป็นบริเวณที่มี Stress ตกค้างมากถาวรเป็นแท่งกลม นอกจาก Calvo et al. [8] ได้ศึกษาผลของการแข็งต่อระยะเวลา กับระยะเวลาและอุณหภูมิในขั้นตอน Solution Heat Treatment ซึ่งจะได้ข้อสรุปในแนวทางเดียวกับ Tsukuda [35] โดยสามารถหาสภาวะที่เหมาะสมที่สุดของการทำ Solution Heat Treatment โดยการอบชิ้นงานที่อุณหภูมิ 540°C นาน 9 ชั่วโมง

Meyer และคณะ [23] ศึกษาผลของการทำ Solution Treatment ต่อสมบัติทางกลในโลหะผสมอลูมิเนียม-ชิลิกอนเกรด A357 ซึ่งได้เปรียบเทียบระหว่างกลุ่มที่หนึ่งคือ ชิ้นงานในสภาพหล่อและกลุ่มที่สองคือชิ้นงานที่ถูกปรับสภาพเกรนให้ละเอียดด้วยการเติม Al-Ti-B และปรับลักษณะเฟส Eutectic Silicon ด้วยการเติมธาตุโซเดียม (Na) และทำการอบชิ้นงานทดสอบทึ้งสองกลุ่มที่อุณหภูมิ 540°C และใช้ระยะเวลาในการอบดังต่อไปนี้ 1, 2, 5, 10, 15 และ 20 ชั่วโมง และหลังจาก Quenching และขั้นตอน Aging ซึ่งพบว่าสมบัติทางกลทึ้งสองกลุ่มเพิ่มขึ้นกับระยะเวลาในการทำ Solution Treatment ที่เพิ่มขึ้น แต่อย่างไรก็ตามเนื่องจากการเติมชิ้นงานที่ใช้ในการทดลองมีอุณหภูมิเท่านั้นโลหะของแต่ละกลุ่มไม่เท่ากัน ซึ่งทำให้ไม่สามารถเปรียบเทียบผลการทดลองกันได้

#### 2.13.2 งานวิจัยที่เกี่ยวข้องกับขั้นตอน Quenching

Tsukuda และคณะ [35] และ Chamberlain และคณะ [10] มีความคิดเห็นตรงกันโดยเสนอแนะให้ quenching ชิ้นทดสอบด้วยน้ำอุณหภูมิ 15°C โดยมีวัตถุประสงค์เพื่อทำ

ให้ชิ้นงานมีอัตราการเย็นรวดเร็วที่สูง ทำให้อะตอมซิลิกอนและแมกนีเซียมตกค้างภายในเนื้อเมตริกซ์มากที่สุด ส่งผลทำให้ชิ้นงานมีความแข็งแรงสูงสุด

Briner และคณะ [7] เสนอแนะว่าระยะเวลาในการนำชิ้นงานออกจากเตาจนกระทั่งชุบน้ำซึ่งเรียกว่า Quench delay ควรใช้เวลาอย่างกว่า 30 วินาที ทำให้ในระหว่างขั้นตอน Aging จะเกิดอนุภาค Mg<sub>2</sub>Si กระจายตัวสม่ำเสมอ แต่ถ้าลดลงระยะเวลาดังกล่าวให้สั้นลงจะทำให้อนุภาค Mg<sub>2</sub>Si มีมากขึ้นและกระจายตัวสม่ำเสมอต่อไป ทำให้ชิ้นงานมีความแข็งแรงเพิ่มขึ้น

Zhang และคณะ [39] ศึกษาอัตราการเย็นตัวของชิ้นงานหลังจากขั้นตอน Solution Treatment ต่อส่วนบัติทางกลในโลหะผสมอัลミニเนียม-ซิลิกอน เกรด A356 พบร่วมกับอัตราการเย็นตัวของชิ้นงานจะมีผลต่อการละลายของปริมาณซิลิกอนและแมกนีเซียม ในกรณีชิ้นงานที่เย็นตัวอย่างรวดเร็ว ทำให้มีระยะเวลาเพียงพอที่จะทำให้อะตอมซิลิกอนและแมกนีเซียมแพร่กระจายจากเนื้อเมตริกซ์ ส่งผลทำให้มีการตกค้างของอะตอมซิลิกอนและแมกนีเซียมในเนื้อเมตริกซ์เป็นจำนวนมาก แต่ในทางตรงกันข้ามชิ้นงานที่เย็นตัวอย่างช้า ทำให้ปริมาณของอะตอมซิลิกอนและแมกนีเซียมที่ตกค้างในเนื้อเมตริกซ์ลดลง ส่งผลทำให้ความแข็งแรงของชิ้นงานหลังจากขั้นตอน Aging ลดลง

### 2.13.3 งานวิจัยที่เกี่ยวข้องกับขั้นตอน Aging

Chamberlain และคณะ [10] ศึกษาผลของอุณหภูมิในขั้นตอน Aging กับความแข็งแรงในโลหะผสมอัลミニเนียมเกรด A356 โดยเปรียบเทียบชิ้นงานซึ่งเตรียมจากแบบหล่อทรายกับแบบหล่อแม่พิมพ์โลหะ โดยทำการทดลองอบชิ้นงานในขั้นตอน Aging พบร่วมกับชิ้นงานทั้งสองกกลุ่มนี้มีแนวโน้มเหมือนกันคือความแข็งแรง ณ จุดคราก (yield strength) และ ความต้านทานแรงดึงดูดสูงสุด (UTS) ของชิ้นงานเพิ่มขึ้นตามอุณหภูมิที่สูงขึ้น แต่ทางตรงกันข้ามความแข็งแรง ณ จุดครากจะมีค่าลดลง แต่เมื่อเพิ่มอุณหภูมิของชิ้นงานจนถึง 350°C พบร่วมกับความแข็งแรง ณ จุดคราก และ ความต้านทานแรงดึงดูดสูงสุดของชิ้นงานมีค่าลดลงอย่างรวดเร็ว ซึ่งเรียกว่าเกิดปรากฏการณ์ Over aging

Tsukuda และคณะ [35] ศึกษาหาความสัมพันธ์ระหว่างอุณหภูมิและระยะเวลาในขั้นตอน Aging กับความแข็งแรงของโลหะผสมอัลミニเนียม-ซิลิกอนเกรด A356 โดยงานวิจัยนี้ทำการ Solution Heat Treatment ที่อุณหภูมิ 540°C นาน 9 ชั่วโมงและจุ่มชิ้นทดสอบลงในน้ำอุณหภูมิ 15°C และทำการ Aging ที่อุณหภูมิ 120°C , 140°C , 160°C และ 180°C และในระยะเวลา 2, 4, 6, 8 พบร่วมกับ ความต้านทานแรงดึงดูดสูงสุดและความแข็งแรง ณ จุดครากเพิ่มขึ้นตามอุณหภูมิที่สูงขึ้น ในขณะที่ความทนทานต่อแรงกระแทกและความแข็งจะมีค่าลดลง

Akhter และคณะ [5] ได้ศึกษาอิทธิพลของกระบวนการทางความร้อน T6 ที่มีผลต่อสมบัติทางกลและโครงสร้างจุลภาคของอลูมิเนียมหล่อแบบกึ่งของแข็ง Rheocasting หมายเลขอ 356 ที่ผ่านกระบวนการเยื่อม โดยอบละลายที่ 540°C เป็นเวลา 6 ชั่วโมง และชุนในน้ำ ก่อนนำไปบ่มที่ 160°C นาน 6 ชั่วโมง ผลการศึกษาพบว่าเฟสซูเตกติกเปลี่ยนรูปร่างจากเดิมซึ่งเป็นแผ่นยาและรูปร่างไม่แน่นอน ไปเป็นอนุภาค Si ที่มีรูปร่างคล้ายทรงกลม ในขณะที่ความแข็งและความแข็งแรง ณ จุดครากเพิ่มจากเดิม 62 Hv และ 150 MPa ไปเป็น 125 Hv และ 310 MPa โดยลำดับทั้งนี้ % Elongation ของชิ้นงานก่อนและหลังผ่านกระบวนการทางความร้อนมีการเปลี่ยนแปลงน้อยมาก คือ จากเดิม 12% ไปเป็น 10%

เช่นเดียวกับ Yn และคณะ [38] ที่ได้ศึกษาการปรับปรุงสมบัติการต้านแรงดึงของอลูมิเนียมหล่อแบบกึ่งของแข็ง A356 โดยนำชิ้นงานไปอบที่อุณหภูมิ 577°C เป็นเวลา 8 นาที และชุนในน้ำทันทีก่อนนำไปผ่านกระบวนการทางความร้อน T6 ซึ่งประกอบด้วยการอบละลายที่ 525°C เป็นเวลา 5 ชั่วโมง และชุนในน้ำ จากนั้นนำไปบ่มที่ 170°C เป็นเวลา 7 ชั่วโมง ชิ้นงานที่ผ่านกระบวนการทางความร้อนดังกล่าวมีความแข็งแรง ณ จุดครากเพิ่มขึ้นจากเดิม 150 MPa เป็น 320 MPa อายุคงทน % Elongation ของชิ้นงานหลังผ่านกระบวนการทางความร้อนมีการเปลี่ยนแปลงลดลงจาก 25% เป็น 7.5%

นอกจากกระบวนการทางความร้อน T6 แล้ว งานวิจัยของ Druschitz [13] และงานวิจัยของ Jorstad [20] ได้นำกระบวนการทางความร้อน T5 มาใช้ในการปรับปรุงสมบัติทางกลของอลูมิเนียมหล่อ กึ่งของแข็ง A356 Druschitz ได้ทำผ่านกระบวนการ T5 โดยบ่มที่ 167°C เป็นเวลา 11 ชั่วโมงในขณะที่ T6 ต้องทำการอบละลาย 8 ชั่วโมงที่ 500°C และชุนในน้ำ ก่อนนำไปบ่ม 11 ชั่วโมงที่ 166°C ส่วน Jorstad ไม่ได้กล่าวถึงรายละเอียดของกระบวนการทางความร้อนแต่อย่างใด จากการวิจัยของทั้งสองพบว่าความแข็งแรง ณ จุดครากของชิ้นงานที่ผ่านกระบวนการ T6 สูงกว่า ชิ้นงานที่ผ่านกระบวนการทางความร้อน T5 อายุคงทนตามผลการศึกษา % Elongation ของทั้งคู่มีความแตกต่างกัน งานวิจัยแรกได้นำเสนอว่า % Elongation ของชิ้นงานที่ผ่าน T6 (12%) สูงกว่า T5 (7%) แต่งานวิจัยหลังกลับพบว่า % Elongation ของชิ้นงานที่ผ่าน T6 (12%) มีความแตกต่างกับ T5(10%) ก่อนข้างน้อย

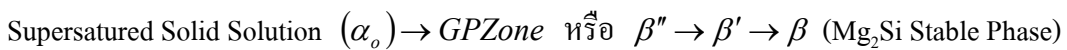
จากการศึกษาโครงสร้างจุลภาคของ Druschitz พบว่าเฟสซิลิโอนในชิ้นงานที่ผ่าน T5 ไม่มีการกระจายตัวอย่างทั่วถึงและรูปร่างขั้นไม่เป็นทรงกลม ต่างจากชิ้นงานที่ผ่าน T6 จึงส่งผลให้ชิ้นงานที่ผ่าน T5 มีความเปลี่ยนแปลงกว่า การศึกษาของ Jorstad พบว่า Mg<sub>2</sub>Si ในชิ้นงานที่ผ่านกระบวนการ T5 ของอลูมิเนียมหล่อแบบกึ่งของแข็งมีรูปร่างเป็นทรงกลม ในขณะที่ Mg<sub>2</sub>Si ในชิ้นงานที่ผ่านกระบวนการ T5 ของอลูมิเนียมหล่อแบบธรรมดามีรูปร่างเป็นพิมพ์ จึงส่งผลให้ชิ้นงานแบบแรกมีความแข็งแรงและความหนืดเพิ่มขึ้น ความแตกต่างของงานวิจัยทั้งสองนี้อาจเป็นผลมาจากการความแตกต่างของอุณหภูมิและเวลาที่งานวิจัยทั้งสองใช้

การศึกษาอิทธิพลของกระบวนการทางความร้อน T6 ที่มีผลต่ออัลูมิเนียมหมายเลขอื่น เช่น Zoqui E.J. [41] และคณะได้ศึกษาระบวนกระบวนการทางความร้อน T6 ของ Al-4.5wt.%Cu พบว่าการอบละลายอัลูมิเนียมหล่อแบบ Rheocasting ต้องใช้อุณหภูมิที่สูงกว่าการอบละลายอัลูมิเนียมหล่อแบบธรรมชาติ เนื่องจากเฟสสูญเสียกับบริเวณของเกรนของชิ้นงานหล่อแบบ Rheocast มีขนาดค่อนข้างใหญ่ ลักษณะเช่นนี้ทำให้ชิ้นงานแบบนี้มีความสามารถในการต้านการเดินโตรของเกรนขณะนำมาร่อนกระบวนการทางความร้อน ได้ดี นอกจากนี้กระบวนการทางความร้อนทำให้สมบัติทางกลของชิ้นงานที่หล่อทั้ง 2 แบบดีขึ้น แต่สัดส่วนการเพิ่มของสมบัติการต้านแรงดึงของชิ้นงานหล่อแบบ Rheocasting จะสูงกว่าชิ้นงานหล่อแบบธรรมชาติ

Cerri และคณะ [9] ได้ศึกษาระบวนกระบวนการทางความร้อน T5 และ T6 ของอัลูมิเนียมหล่อแบบ Thixocasting เกรด 319 โดยอุณหภูมิที่ใช้บ่มของทั้งสองกระบวนการคือ 170,200 และ 220°C ที่เวลาต่างๆ จากการวิจัยพบว่า T6 เพิ่มความแข็งแรงดึงได้มากกว่า T5 แต่ความหนืดของชิ้นงานที่ผ่านกระบวนการทั้งสองแบบไม่แตกต่างกันมากนัก และได้แนะนำว่าควรใช้ T5 ใน การปรับสมบัติทางกลของชิ้นงานเนื่องจากประหัดเวลาและต้นทุนกว่า T6

#### 2.13.4 ลำดับการเปลี่ยนเฟสของโลหะผสมอัลูมิเนียม-ซิลิกอนหล่อเกรด A356

ในปี คศ. 1960 ได้มีศึกษาเกี่ยวกับลำดับของการเปลี่ยนเฟสในโลหะผสมอัลูมิเนียมซิลิกอนเป็นจำนวนมาก [6,14-16,18,19,21,22,25,26,28,29,32,34,37] ต่อมา Thomas และ Pashley [34,29] เป็นผู้ค้นพบการเปลี่ยนเฟสของอนุภาค Precipitate ในเนื้อเมตริกซ์โดยการใช้กล้องจุลทรรศน์อิเล็กตรอนแบบทรานสมิสชัน (TEM) โดยมีลำดับการเปลี่ยนเฟสดังต่อไปนี้



A.K. Gupta และคณะ [18] , M. Murayama และคณะ [25] ได้ค้นพบขั้นตอนแรกของการเกิดอนุภาค Precipitate แบ่งออกเป็น 2 ลักษณะคือ มีกลุ่มอะตอมของแมgnีเซียมเกิดขึ้นในระหว่างขั้นตอน Quenching ของชิ้นทดสอบ Al-0.65wt%Mg-0.72%wtSi. และ Dutta และคณะ [14] พบว่า หลังจากขั้นตอน Quenching จะเกิดกลุ่มของซิลิกอนขึ้นอย่างรวดเร็วภายในระยะเวลา 1 นาทีหลังจากขั้นตอน Aging ที่อุณหภูมิ 200°C และ Sagalowicz และคณะ [31] พบว่าชิ้นทดสอบมีปริมาณซิลิกอนมากพอทำให้สามารถอะตอมของชาตุซิลิกอนรวมตัวกันชาตุแมgnีเซียม ทำให้เกิดการเปลี่ยนเฟสเป็นอนุภาค Mg<sub>2</sub>Si ที่มีเฟสที่เรียกว่า GP zone ได้ง่ายขึ้น โดย GP Zone ที่เกิดขึ้นเหล่านี้สามารถเกิดขึ้นในบริเวณดีสโลเคชัน หรือ ขอบเกรนซึ่งมีลักษณะการเกิดเป็นแบบ Heterogeneous Nucleation [19,29] ซึ่งเฟส GP Zone ที่เกิดขึ้นมีการจัดเรียงตัวอะตอมของชาตุซิลิกอนและแมgnีเซียมในทิศทาง  $\langle 100 \rangle_{\alpha}$  และมีอัตราส่วนผสมทางเคมีของ

อะตอมแมกนีเซียมกับซิลิกอนเท่ากัน 1 : 1 [22] และมีลักษณะบริเวณรอยต่อระหว่างอนุภาคที่เกิดขึ้นกับเนื้อเยื่อเมตริกซ์เป็นแบบ Semi-Coherent ซึ่งแตกต่างกับ GP Zone ของโลหะผสมอลูมิเนียมชนิดอื่น ๆ เช่น Al-Cu ซึ่งมีลักษณะบริเวณรอยต่อเป็นแบบ Coherent ส่วนผลทำให้ออนุภาคเฟส GP Zone ที่เกิดขึ้นการเปลี่ยนเฟสเป็นเฟส  $\beta''$  ที่อุณหภูมิสูงขึ้นคือ 260°C [34] เมื่อเพิ่มระยะเวลาหรืออุณหภูมิของขั้นตอน Aging มากขึ้น ทำให้เกิดการรวมกลุ่มของเฟส GP Zone ทำให้เกิดการเปลี่ยนแปลงรูปร่างที่ซับซ้อนขึ้นจากเป็นแผ่นบางขนาดเล็กเปลี่ยนเป็นแบบแท่งซึ่งเรียกว่า needle-like Shape [22] โดยทิศทางการเติบโตของเฟส GP Zone และเฟส  $\beta''$  ตามทิศทาง  $\langle 100 \rangle_\alpha$  เมื่อกันกัน และเฟส  $\beta''$  ที่เกิดขึ้นมีอัตราส่วนผสมทางเคมีของ ซิลิกอน : อลูมิเนียม : แมกนีเซียม เท่ากับ 6:3:1 [27] และโดยการเกิดเฟส  $\beta''$  นั้นจะมีเกิดขึ้นนานกับการเกิดเฟส GP Zone เมื่อวิเคราะห์ขั้นทดสอบด้วยเครื่อง Differential Scanning Calorimetry ในโลหะผสมอลูมิเนียมเกรด 6061 พบร้าในขั้นตอนของการเปลี่ยนเฟสจาก GP Zone เป็น  $\beta''$  ไม่เกิดการละลายของเฟส GP Zone ออกมานา [28]

ในขณะนี้มีนักวิจัยจำนวนมากต้องการทราบขนาดและทิศทางของเฟส  $\beta''$  เป็นจำนวนมาก โดย Shchegolevac และคณะ [32] ค้นพบรูปร่างและลักษณะของเฟส  $\beta''$  และคำนวณการเปลี่ยนเฟสจาก  $\beta''$  เป็น  $\beta$  ด้วยเทคนิค X-ray ซึ่งพบว่าโครงสร้างของเฟส  $\beta''$  เป็นแบบ monoclinic มี lattice parameter คือ  $a=b=0.616$  nm.,  $c=0.71$  nm และมุม  $\beta = 82^\circ$  และโครงสร้าง  $\beta$  มีโครงสร้างใกล้เคียงกับ  $\beta$  stable โดยมีโครงสร้างเป็น Tetragonal มี lattice parameter คือ  $a=0.642$  nm และ  $c=0.646$  nm ซึ่งโครงสร้างนี้ถูกยืนยันโดย Wahy และ Von Heimendahl [37] ในปี 1974 ด้วยเทคนิค TEM แต่อย่างไรก็ตามได้มีการพยากรณ์วิเคราะห์โครงสร้างผลึกของเฟส  $\beta''$  ด้วยวิธี คลื่องจุลทรรศน์อิเล็กตรอนแบบทราบสมมิลชัน (TEM) และการเลี้ยวเบนรังสีเอกซ์ (XRD) สรุปได้ดังนี้

### ตารางที่ 2.3 ลักษณะโครงสร้างผลึกของเฟส $\beta''$

นักวิจัย	ลักษณะโครงสร้างผลึก	Lattice Parameter
Lynch[21]	Monoclinic	$A=0.30$ nm, $c=0.33$ nm, $b=0.40$ nm., $\beta = 71^\circ$
Edwards[16]	Based centered monoclinic	$A=1.534$ nm, $c=0.689$ nm, $b=0.405$ nm., $\beta = 106^\circ$
Murayama[26]	Monoclinic	$A=0.714$ nm, $c=0.658$ nm, $b=0.405$ nm., $\beta = 75^\circ$
Naoi[27]	Monoclinic B2/m	$A=0.77$ nm, $c=0.67$ nm, $b=0.40$ nm., $\beta = 75^\circ$
Andersen[6]	Monoclinic C2/m	$A=1.51$ nm, $c=0.674$ nm, $b=0.405$ nm., $\beta = 105.3^\circ$

Andersen และคณะ [4] พบร้า ทิศทางของเฟส  $\beta''$  จะมี orientation ดังต่อไปนี้  $[001]_\beta // [310]_\alpha, [100]_\beta // [230]_\alpha$  และ  $[010]_\beta // [001]_\alpha$

เมื่อเพิ่มระยะเวลาหรืออุณหภูมิของขั้นตอน Aging อะตอมของธาตุชิลิกอนและแมกนีเซียมเกิดการแพร่ออกจากร่องรอยเดิม ทำให้เกิดการเติบโตของเฟส  $\beta''$  เปลี่ยนเป็นเฟส  $\beta'$  และมีการเปลี่ยนแปลงรูปร่างจาก Needle-like เป็น rods-shaped ซึ่งมีทิศทางการโตของเฟส  $\beta''$  เหมือนกับคิวทิศทาง  $\langle 100 \rangle_\alpha$  และในปี ก.ศ. 1972 Jacoba [17] พนว่าเฟส  $\beta''$  มีโครงสร้างผลึกเป็นแบบ Hexagonal ที่มี lattice parameter1 คือ  $a=0.705$  nm และ  $c=0.405$  nm. และมีการศึกษาทิศทางเฟส  $\beta''$  ด้วยการใช้เทคนิค X-ray Micro Diffraction Pattern และ HREM Image เปรียบเทียบกันพบว่าเฟส  $\beta'$  มี orientation เมื่อกันคือในทิศทาง  $(100)_\beta // (100)_\alpha$  และ  $[001]_\beta // [001]_\alpha$  เฟส  $\beta$  (Stable)

เมื่อนูภาค Mg<sub>2</sub>Si ที่เกิดขึ้นมีขนาดใหญ่ขึ้น ทำให้เกิดการเปลี่ยนเฟสจาก  $\beta''$  เป็นเฟส  $\beta'$  โดยมีการเปลี่ยนแปลงรูปร่างจาก Rod-Shaped เปลี่ยนเป็น Platelets และยังคงมีทิศทางของการเติบโตของอนูภาคในทิศทาง  $\langle 100 \rangle_\alpha$  และลักษณะบริเวณรอยต่อระหว่างเนื้อเมตริกซ์และอนูภาค Mg<sub>2</sub>Si (เฟส  $\beta$ ) เป็นแบบ Incoherent และลักษณะของโครงสร้างผลึกของเฟส  $\beta$  เป็นแบบ FCC ซึ่งมีโครงสร้างผลึกเป็นแบบ CaF<sub>2</sub> มี lattice parameter ดังนี้  $a=0.639$  nm. มี Orientation คือ  $(001)_\beta // (100)_\alpha$  และ  $[110]_\beta // [100]_\alpha$

## บทที่ 3

### การดำเนินงานวิจัย

ในบทนี้กล่าวถึงวัสดุและอุปกรณ์ที่ใช้ในงานวิจัย เครื่องมือที่ใช้ในการวิเคราะห์ และวิธีการดำเนินงานวิจัย ซึ่งประกอบด้วยขั้นตอนการเตรียมชิ้นทดสอบ ขั้นตอนการบ่ม และขั้นตอนการเตรียมชิ้นงานทดสอบเพื่อวิเคราะห์โครงสร้างจุลภาค และทดสอบสมบัติทางกลที่ประกอบด้วย การทดสอบความแข็งและการทดสอบแรงดึง

#### 3.1 การขึ้นรูปโลหะกึ่งของแข็งโดยวิธี Squeeze casting เกรด A356

การเลือกใช้วัสดุเริ่มต้นในงานวิจัยมีผลต่อการทดลองโดยตรง ดังนั้นในการเลือกใช้อินกอตจึงมาจากการบวนการผลิตเดียวกัน ซึ่งส่วนผลทำให้มีส่วนผสมทางเคมีและโครงสร้างจุลภาคที่เหมือนกัน ทำให้มั่นใจได้ว่าตัวแปรของชนิดอินกอตเริ่มต้นเหมือนกันในทุกชิ้นงาน วัสดุที่นำมาใช้ในการทดลองเป็นวัสดุอلوминิเนียมผสม เกรด A356 ซึ่งมีส่วนผสมทางเคมีดังตารางที่ 3.1 ผ่านการหล่อขึ้นรูปแบบกึ่งของแข็งด้วยเทคนิค GISS (Gas induced semi-solid) ซึ่งเทคนิค GISS จะทำการหล่อที่อุณหภูมิประมาณ  $700^{\circ}\text{C}$  เมื่ออุณหภูมิลดลงถึง  $650^{\circ}\text{C}$  จะใช้แก๊สเลือยพ่นผ่านแท่งกราไฟต์พรุน (แก๊สอาร์กอน) เพื่อให้เกิดการไหลดันของน้ำโลหะเกิดการแตกตัวของโครงสร้างเดนไครต์ เป็นเวลา 20 วินาที จากนั้นนำน้ำโลหะอلوминิเนียมไปเทลงใน Mold และอัด (Squeeze) ดังรูปที่ 3.1 ที่ความดันไม่น้อยกว่า 2,000 Psi ค้างไว้จนโลหะแข็งตัว ได้เป็นชิ้นงานแบบแผ่นกลมที่มีความหนาประมาณ 1-1.5 เซนติเมตร เส้นผ่าศูนย์กลาง 20 เซนติเมตร ดังรูปที่ 3.2



รูปที่ 3.1 แสดง Mold ที่ใช้ในการอัดขึ้นรูปชิ้นงาน



รูปที่ 3.2 ชิ้นงานหล่อที่ได้จากการขึ้นรูปโลหะกึ่งของแข็งโดยวิธี Squeeze cast เกรด A356

ตารางที่ 3.1 ส่วนผสมทางเคมีของโลหะผสมอัลูมิเนียม-ซิลิกอนหล่อเกรด A356 ที่ใช้ในการทดลอง

Alloy	Chemical Composition (wt%)							
	Al	Si	Mg	Fe	Cu	Mn	Zn	Ti
A356	bal	7.2453%	0.3985%	0.4458%	0.0424%	0.0433%	0.0081%	0.0893%
	Cr	Ni	Pb	Sr				
	0.006	0.0080	0.0030	0.0003				

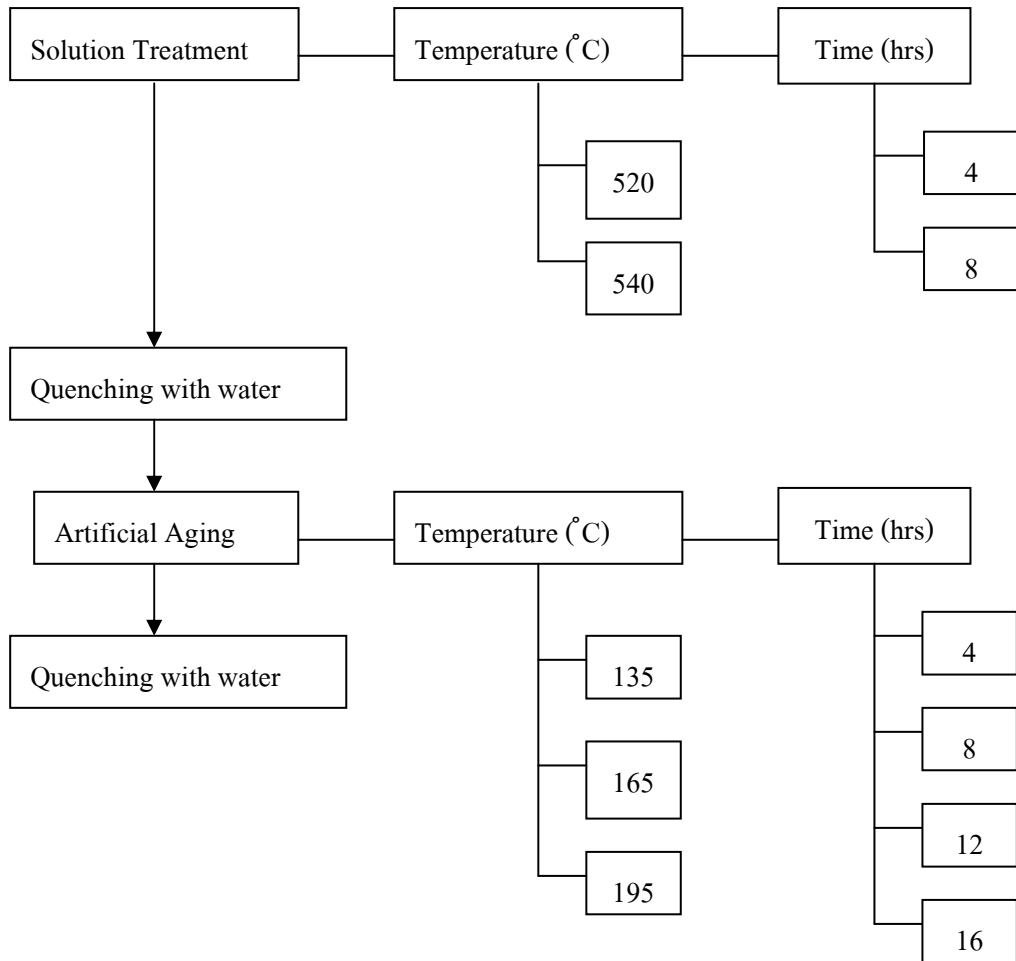
### 3.2 ขั้นตอนทดลองการบ่มชิ้นทดสอบ

#### 3.2.1 ขั้นตอนการทดลองบ่มแบบ T6 ของชิ้นทดสอบ มีขั้นตอนดังต่อไปนี้

- ก) นำชิ้นงานใส่ในเตาเผา และเพิ่มอุณหภูมิจากอุณหภูมิห้องจนกระทั้งอุณหภูมิของเตาเท่ากับ อุณหภูมิที่ต้องการ  $520^{\circ}\text{C}$  และ  $540^{\circ}\text{C}$  ภายในเวลา 1.05 และ 1.07 ชั่วโมงตามลำดับ เมื่อได้อุณหภูมิที่ต้องการแล้วจึงเริ่มจับเวลาการเผาชิ้นทดสอบในขั้นตอน Solution Treatment เป็นระยะเวลา 4 และ 8 ชั่วโมง ตามลำดับ
- ข) เมื่อทำการเผาชิ้นทดสอบตามระยะเวลาต่างๆตามขั้นตอนการทดลอง และจุ่มชิ้นทดสอบลงในน้ำ
- ค) เมื่อผ่านขั้นตอนใน ข) และ ข) แล้ว นำชิ้นทดสอบไปบ่มที่อุณหภูมิ  $135^{\circ}\text{C}, 165^{\circ}\text{C}$  และ  $195^{\circ}\text{C}$  เป็นระยะเวลา 4, 8, 12 และ 16 ชั่วโมง ตามลำดับ

#### 3.2.2 ขั้นตอนการทดลองบ่มแบบ T5 ของชิ้นทดสอบ มีขั้นตอนดังต่อไปนี้

นำชิ้นทดสอบภายหลังการหล่อไปบ่มที่อุณหภูมิ  $135^{\circ}\text{C}, 165^{\circ}\text{C}$  และ  $195^{\circ}\text{C}$  เป็นระยะเวลา 4, 8, 12 และ 16 ชั่วโมง ตามลำดับ



รูปที่ 3.3 ขั้นตอนการบ่มชิ้นงานทดสอบด้วยกระบวนการทางความร้อนแบบ T6

### 3.3 การตรวจสอบโครงสร้างจุลภาค

ขั้นตอนในการตรวจสอบโครงสร้างจุลภาคของชิ้นทดสอบหลังจากผ่านกระบวนการทางความร้อน

- 1) หล่อชิ้นทดสอบที่ผ่านการอบในสภาวะต่างๆ ด้วยเรซินโดยใช้อัตราส่วนผสมของตัวเรซินและตัวเร่งปฏิกิริยาที่อัตราส่วน 10:1 รожนกระทั่งเรซินแข็งตัว
- 2) ขัดชิ้นทดสอบด้วยกระดาษทรายเบอร์ 180, 360, 600, 800 และ 1200 ตามลำดับ
- 3) นำชิ้นงานไปทำการทดสอบด้วยเครื่องทำความสะอาดโดยใช้คลีนอัลตราโซนิกเป็นเวลา 5 นาที
- 4) ขัดชิ้นทดสอบด้วยผ้าสักหลาดที่มีผงอลูมินาไนด์อนุภาค 5, 1 และ 0.3 ไมครอน ตามลำดับ แล้วนำชิ้นงานไปทำการทดสอบด้วยเครื่องทำความสะอาดโดยใช้คลีนอัลตราโซนิกเป็นเวลา 5 นาที
- 5) นำชิ้นทดสอบมากดผิวน้ำด้วยสารละลาย (Keller's reagent) ที่มีส่วนผสมทางเคมีดังนี้

กรดไฮโดรฟลูออริก ความเข้มข้น 48% 2 ml.

กรดไฮโดรคลอริก (เข้มข้น) 3 ml

กรดไนตริก 5 ml และน้ำ 190 ml

เป็นระยะเวลา 5-10 วินาที ล้างด้วยน้ำ และทำให้แห้ง

- 6) ถ่ายภาพโครงสร้างจุลภาคของชิ้นทดสอบด้วยกล้องจุลทรรศน์แบบใช้แสง (Optical Microscope)



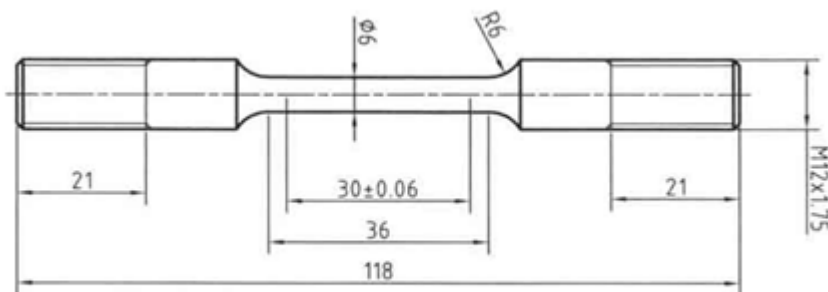
รูปที่ 3.4 แสดงลักษณะรูปร่างของชิ้นงานที่นำไปทำการตรวจสอบโครงสร้างจุลภาค

### 3.4 การเตรียมชิ้นงานเพื่อการทดสอบความแข็ง

นำชิ้นงานที่ผ่านขั้นตอนการขัดไปวัดความแข็ง ซึ่งในการวัดความแข็งนี้ ใช้วิธีวัดความแข็งในหน่วย Vickers ด้วยเครื่องทดสอบแบบ Micro Hardness Vickers Test รุ่น HWDM-3 Type A และได้กำหนดน้ำหนักกดของหัวกดคงที่ (Load Fixed) ไว้ที่ 100 กรัม กดเป็นเวลา 10 วินาที และหาค่าความแข็งของชิ้นงานในแต่ละสภาวะๆละ 3 ชิ้น แต่ละชิ้นจะทำการหาค่าความแข็งของชิ้นงานโดยการวัดค่าความแข็ง 9 จุดต่อ 1 ชิ้นงานแล้วคำนวณหาค่าเฉลี่ย

### 3.5 การเตรียมชิ้นงานเพื่อการทดสอบแรงดึง

ในการทดสอบแรงดึงนั้นนำชิ้นงานที่ผ่านการทำให้เป็นโลหะกึ่งของแข็งแล้วขึ้นรูปโดยวิธี Squeeze casting มาตัดให้ได้ขนาด 14 cm x 13.5 cm เล็กน้อยไปผ่านกระบวนการทางความร้อนที่สภาวะต่างๆจากนั้นจึงนำไปกดด้วยเครื่อง CNC ให้ได้ขนาดตามมาตรฐานที่แสดงไว้ดังรูปที่ 3.5



รูปที่ 3.5 แสดงชิ้นงานทดสอบแรงดึงตามมาตรฐาน ASTM เบอร์ E 8M-04



รูปที่ 3.6 แสดงชิ้นงานทดสอบแรงดึงภายหลังการเตรียมตามมาตรฐาน ASTM เบอร์ E 8M-04

โดยในการทดสอบแรงดึงนั้นทำการทดสอบแรงดึงด้วยเครื่องทดสอบแรงดึง  
อเนกประสงค์ รุ่น H 100 KS ซึ่งในการทดสอบนี้ใช้การดึงโดยกำหนดอัตราเร燔เคลื่อนที่คงที่  
(Displacement Rate Fixed) คือ 1 มิลลิเมตรต่อนาที ชิ้นงานทดสอบมีความยาวช่วง Gauge Length  
30 มิลลิเมตร เมื่อคำนวณเป็น Speed Test คือ  $30 \times 1 \times 10^{-3} \times 60$  เท่ากับ 1.8 mm/min และเครื่อง  
ทดสอบจะหยุดการทดสอบเมื่อชิ้นทดสอบเกิดการแตกหัก

โดยที่ในการทดสอบนั้น จะต้องทำการวัดช่วง Gauge Length และทำสัญลักษณ์  
ไว้ ก่อนทำการทดสอบ เพื่อความสะดวกในการหาระยะหักภายหลังการทดสอบ

## บทที่ 4

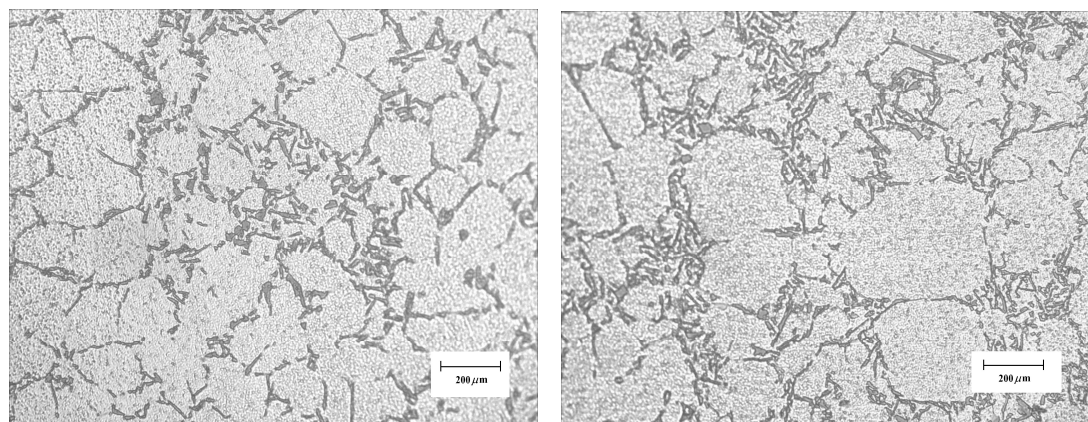
### ผลการทดลองและอภิปรายผลการทดลอง

ในบทนี้จะกล่าวถึงผลการทดลองและอภิปรายผลการทดลอง ซึ่งได้แก่ผลการวิเคราะห์โครงสร้างจุลภาค และผลการทดสอบความแข็งและความต้านทานแรงดึงของชิ้นทดสอบ ในสภาวะหล่อและชิ้นทดสอบหลังการบ่มในสภาวะต่างๆตามขั้นตอนการทดลอง ดังรายละเอียดต่อไปนี้

#### 4.1 ชิ้นทดสอบในสภาวะหล่อ

##### 4.1.1 โครงสร้างจุลภาค

ผลการวิเคราะห์โครงสร้างจุลภาคของชิ้นทดสอบในสภาวะหล่อแบบ Conventional มีลักษณะโครงสร้างจุลภาคที่ประกอบด้วย เฟส  $\alpha$ -Al และเฟสยูเทกติกซิลิกอนที่มีลักษณะเป็นแท่งปลายแหลมกระจาดตัววนเนื่อเมตริกซ์ ในขณะที่โครงสร้างจุลภาคของชิ้นทดสอบในสภาวะหล่อแบบ Semi-Solid มีลักษณะโครงสร้างจุลภาคที่ประกอบด้วย โครงสร้างแบบก้อนกลม (Globular structure) ที่ล้อมรอบด้วยเฟสยูเทกติก ดังแสดงในรูปที่ 4.1 ก และ ข ตามลำดับ



ก) ชิ้นทดสอบในสภาวะหล่อแบบ CSC

ข) ชิ้นทดสอบในสภาวะหล่อแบบ SSM-GIIS-SC

รูปที่ 4.1 โครงสร้างจุลภาคของชิ้นทดสอบก่อนการบ่ม

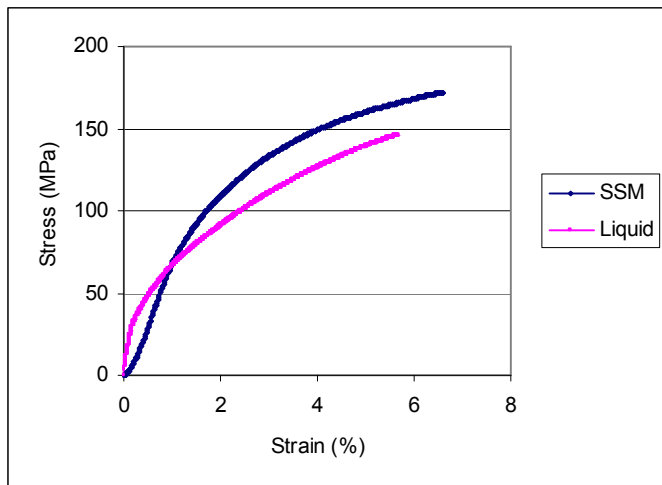
ซึ่งสามารถอธิบายโดยพิจารณาจากแผนภาพสมดุลภาคของโลหะสมอัลミニเนียม-ซิลิกอน เมื่ออุณหภูมิของอัลミニเนียมเหลวต่ำกว่าอุณหภูมิ  $\sim 615^{\circ}\text{C}$  (จุด Freezing Point) พบว่าเริ่มนิวเคลียสของเฟส  $\alpha$ -Al เกิดขึ้นในน้ำอัลミニเนียมเหลว และการเกิดเฟส  $\alpha$ -Al นั้นเป็นแบบ Homogeneous nucleation และ Heterogeneous nucleation โดยปฏิกิริยาที่เกิดขึ้นคือ Liquid  $\rightarrow \alpha\text{-Al} + \text{Liquid}$  เมื่ออุณหภูมิของอัลミニเนียมหลอมเหลาลดต่ำลงอย่างต่อเนื่อง ทำให้เกิดการเติบโตของเฟส  $\alpha$ -Al ซึ่งมีรูปร่างคล้ายกิ่งไม้ เรียกว่า โครงสร้างเดนไดรต์ (Dendrite) ในขณะที่มีการเติบโตของเฟส  $\alpha$ -Al เกิดการผลักดันอะตอมของซิลิกอนและแมgnีเซียมออกจากเฟส  $\alpha$ -Al ส่งผลให้อัลミニเนียมเหลวที่เหลืออยู่ระหว่างแขน Dendrite มีปริมาณความเข้มข้นอะตอมของซิลิกอนและแมgnีเซียมค้าง เมื่อเทียบกับเฟส  $\alpha$ -Al ที่เกิดขึ้น โดยระหว่างแขน Dendrite จะอยู่ในสภาพกึ่งของแข็ง-ของเหลว โดยที่เฟสของแข็งคือ เฟส  $\alpha$ -Al และส่วนบริเวณของเหลวคือ บริเวณที่มีโลหะอัลミニเนียมที่มีความเข้มข้นของอะตอมซิลิกอนและแมgnีเซียมสูง อย่างไรก็ตามกระบวนการของการแข็งตัวยังเกิดขึ้นอย่างต่อเนื่อง เมื่ออุณหภูมิของอัลミニเนียมเหลวต่ำกว่า  $577^{\circ}\text{C}$  (Eutectic Temperature) ของเหลวซึ่งอยู่ระหว่างแขน Dendrite ที่มีความเข้มข้นอะตอมของซิลิกอนและแมgnีเซียมละลายสูง จะเปลี่ยนเฟสเป็นของแข็ง เรียกว่า เฟสยูทेकติกซิลิกอน (Eutectic Silicon) ซึ่งมีลักษณะเป็นแท่งยาวปลายแหลมกระจายตัวอยู่ในเฟส  $\alpha$ -Al ที่เรียกว่านีโอเมตทริกซ์ เมื่ออุณหภูมิอัลミニเนียมหลอมเหลาลงถึงอุณหภูมิ  $555^{\circ}\text{C}$  ในบริเวณที่มีอะตอมของซิลิกอนและแมgnีเซียม เริ่มเกิดเฟส  $\text{Mg}_2\text{Si}$  ขนาดใหญ่ภายในโครงสร้าง ทำให้เกิดการแยกตัวของธาตุในแต่ละบริเวณ เรียกว่า Segregation โดยเฟส  $\alpha$ -Al เป็นบริเวณที่มีอะตอมของอัลミニเนียมอยู่เป็นจำนวนมาก ส่วนในบริเวณเฟสยูทेकติกซิลิกอนเป็นบริเวณที่มีอะตอมของซิลิกอนอยู่เป็นจำนวนมาก

ซึ่งกลไกในการผลิตโลหะกึ่งของแข็งนั้นคือ การเกิดของอนุภาคของแข็ง (Solid Particles) เล็กๆ ที่มีรูปร่างแบบ Equiaxed จำนวนมากๆ ซึ่งอาจจะเกิดจากการนิวคลีเอชั่นและการเติบโต (Nucleation and Growth) หรือ กระบวนการแตกตัวของเดนไดรต์ (Dendrite Fragmentation) หรือ เป็นผลจากทั้งสองกระบวนการผสมกัน จากนั้น Solid Particles เหล่านี้ก็จะเติบโตด้วยการแพร่ของอะตอม หรือ Coarsening ทำให้รูปร่างแบบ Equiaxed ของเกรนเหล่านี้กลายเป็นเกรนแบบก้อนกลม การเติบโตของ Solid Particles หากอนุภาคของแข็งที่เกิดเริ่มแรกนั้นมีขนาดเล็กมากและมีปริมาณมากเกรนแบบก้อนกลมก็จะเกิดได้โดยตรงจากเกรนแบบ Equiaxed

#### 4.1.2 สมบัติทางกล

จากการทดสอบความแข็งค่าความแข็งของชิ้นทดสอบในสภาวะหล่อแบบ Conventional / Semisolid พบว่า ค่าความแข็งเฉลี่ยของชิ้นทดสอบอยู่ที่  $63.34 \text{ Hv}$  ในขณะที่ค่าความต้านทานแรงดึงแสดงดังในรูปที่ 4.2 ซึ่งจากการพบร่วมกัน ค่าความต้านทานแรงดึงสูงสุดคือ  $172.13 \text{ MPa}$  และเปอร์เซ็นต์การยืดตัวคือ  $6.61$  ซึ่งเมื่อเปรียบเทียบกับอัลミニเนียมหล่อ A356 แบบธรรมดานั้น

ค่าความต้านทานแรงดึงและเบอร์เช่นต์การยืดตัวของอลูมิเนียมหล่อแบบกึงของแข็งจะสูงกว่าเนื่องจากโครงสร้างของการหล่อแบบชรรมดานนี้เป็นแบบเด่นไคร์ และเฟสญาเทคโนโลยีก่อนเป็นเฟสที่มีความแข็งสูง ซึ่งลักษณะของเฟสซิลิกอนที่ได้จากการหล่อแบบชรرمดานนี้จะมีลักษณะขาวต่อๆ กันและปลายแหลม เมื่อได้รับแรงดึงจึงส่งผลให้ค่าความต้านทานแรงดึงนั้นต่างกว่า

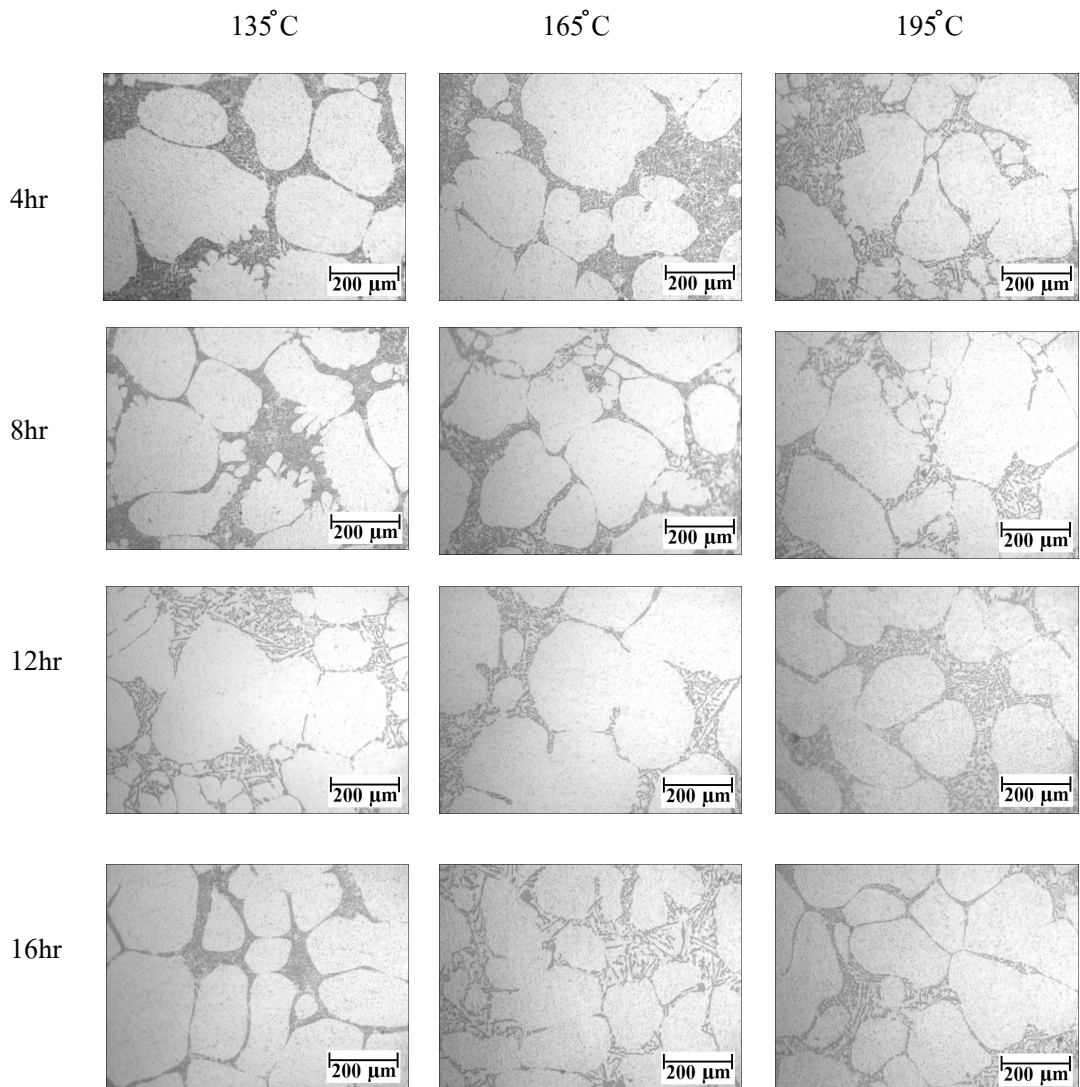


รูปที่ 4.2 แสดงความสัมพันธ์ระหว่างค่า Ultimate Tensile Strength และ Percent Elongation ของชิ้นทดสอบในสภาพะหล่อ

#### 4.2 ชิ้นทดสอบหลังผ่านกระบวนการทางความร้อน T5

##### 4.2.1 อิทธิพลของอุณหภูมิและเวลาในการบ่มที่มีผลต่อโครงสร้างจุลภาค

รูปที่ 4.3 แสดงให้เห็นถึงโครงสร้างจุลภาคของชิ้นงานหล่อแบบ semisolid ที่นำมาผ่านกระบวนการทางความร้อน T5 ณ อุณหภูมิและเวลาในการบ่มที่แตกต่างกันดังนี้ 135, 165 และ 195 °C และ 4, 8, 12 และ 16 ชั่วโมง ตามลำดับ



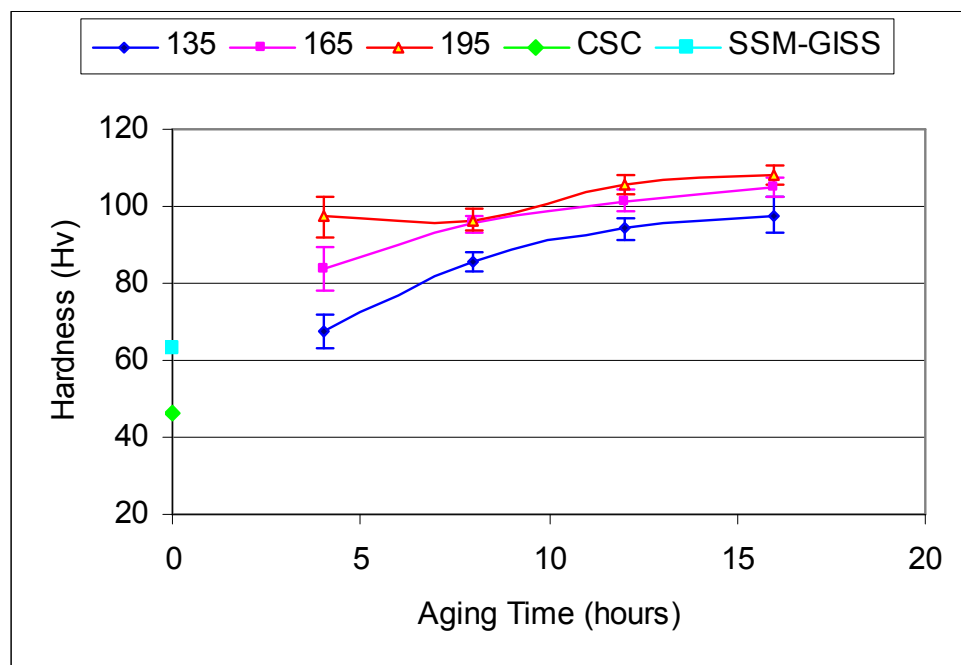
รูปที่ 4.3 โครงสร้างจุลภาคของชิ้นทดสอบที่ผ่านกระบวนการทางความร้อน T5 ที่สภาวะต่างๆ

จากรูปที่ 4.3 พบว่า โครงสร้างทางจุลภาคประกอบด้วยเนื้อเมตริกซ์ คือ เฟส  $\alpha$ -Al (บริเวณสีขาว) และเฟสยูเทกติกซิลิกอน (บริเวณสีเทาเข้ม) ซึ่งมีรูปร่างเป็นแท่งยาวปลายแหลม เมื่อเปรียบเทียบ โครงสร้างจุลภาคกับชิ้นทดสอบที่ไม่ผ่านการบ่มน้ำพบว่ามีโครงสร้างจุลภาคที่คล้ายคลึงกัน เมื่อเพิ่มอุณหภูมิในการบ่มแต่เวลาคงที่นั้น พบว่าอนุภาคของซิลิกอนจะมีขนาดเล็กลง และหนาแน่นขึ้นเนื่องจากการแพร่ของอะตอมภายในโครงสร้างผลึกเกิดໄไดเร็วขึ้นเมื่ออุณหภูมิสูงขึ้น เฟสยูเทกติกจะมีขนาดเล็กลงและมีความหนาแน่นเพิ่มขึ้น และระยะห่างระหว่างอนุภาคของซิลิกอนเพิ่มขึ้น อนึ่ง อุณหภูมิในการบ่มน้ำไม่สูงพอที่จะทำให้เฟสที่สอง (Secondary phase) เกิด

การละลายได้ ทำให้โครงสร้างจุลภาคของชิ้นงานที่ผ่านการบ่มเพียงอย่างเดียวไม่แตกต่างจากโครงสร้างจุลภาคของชิ้นงานหล่อมา กัน ในขณะเดียวกันเมื่ออุณหภูมิคงที่แต่เวลาที่ใช้ในการบ่มนานขึ้นพบว่าเฟสซูเต็กติกจะมีขนาดเล็กลงและมีความหนาแน่นเพิ่มขึ้น และระยะห่างระหว่างอนุภาคของซิลิกอนเพิ่มขึ้น

#### 4.2.2 สมบัติทางกลของชิ้นทดสอบหลังการบ่ม T5

##### 4.2.2.1 อิทธิพลของอุณหภูมิและเวลาในการบ่มที่มีต่อค่าความแข็ง



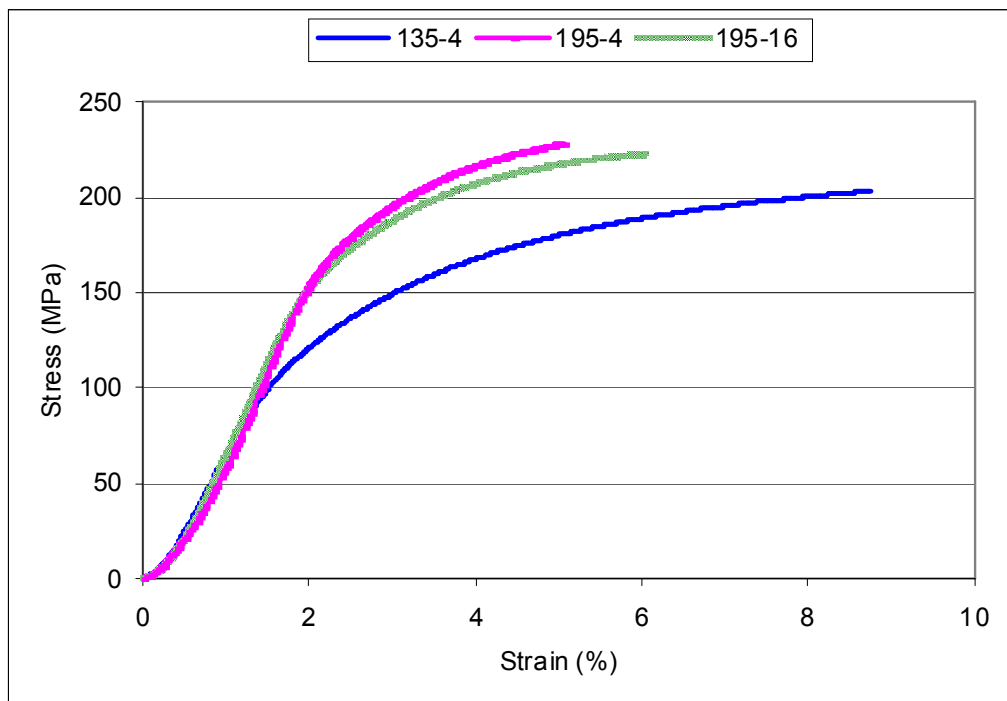
รูปที่ 4.4 แสดงความสัมพันธ์ระหว่างค่าความแข็งกับเวลาที่ใช้ในการบ่มของชิ้นทดสอบ ที่ อุณหภูมิการบ่ม 135, 165 และ 195°C

จากรูปที่ 4.4 พบว่า ที่ระยะเวลาการอบละลายเท่ากัน เมื่ออุณหภูมิในการบ่มเพิ่มขึ้น ค่าความแข็งของชิ้นทดสอบเพิ่มขึ้นตามลำดับ เพราะว่าเมื่ออุณหภูมิเพิ่มขึ้นทำให้ชิ้นงานทดสอบมี พลังงานกระตุ้นเพิ่มมากขึ้น ส่งผลให้เกิดการแพร่และการกระจายตัวของอนุภาคซิลิกอนเพิ่มมากขึ้น ส่งผลให้เฟสซิลิกอนนั้นมีขนาดเล็กลงและกลมมนมากขึ้น จึงทำให้ค่าความแข็งสูงขึ้น และเมื่อ เพิ่มระยะเวลาการอบละลายนานขึ้น ที่อุณหภูมิคงที่ ความแข็งของชิ้นทดสอบเพิ่มขึ้น เพราะ ระยะเวลาในการแพร่องของอนุภาคซิลิกอนมากขึ้นนั่นเอง

จากผลการทดสอบความแข็งสามารถสรุปได้ว่า เมื่อนำชิ้นทดสอบในสภาวะหล่อไปผ่านขั้นตอนการบ่มที่อุณหภูมิ 135, 165 และ  $195^{\circ}\text{C}$  เป็นระยะเวลา 4, 8, 12 และ 16 ชั่วโมงพบว่าเมื่ออุณหภูมิและเวลาในขั้นตอนการบ่มเพิ่มขึ้นนั้น ค่าความแข็งของชิ้นทดสอบจะเพิ่มขึ้น และมีค่าความแข็งสูงกว่าชิ้นทดสอบในสภาวะหล่อ

#### 4.2.2.2 อิทธิพลของอุณหภูมิและเวลาในการบ่มที่มีต่อความต้านทานแรงดึง

ในการทดสอบสมบัติการต้านทานแรงดึง เราเลือกบางสภาวะของการบ่มเท่านั้น โดยจะทำการเลือกสภาวะที่ให้ค่าความแข็งต่ำสุดและสูงสุด ซึ่งก็คือที่อุณหภูมิและเวลาบ่มเป็น  $135^{\circ}\text{C}$ , 4 ชั่วโมง และ  $195^{\circ}\text{C}$ , 16 ชั่วโมง ตามลำดับ นอกจากนี้เรายังเลือกสภาวะการบ่มที่  $195^{\circ}\text{C}$ , 4 ชั่วโมง เพิ่มด้วยเพื่อค่าความแข็งที่ทั้งสองสภาวะนั้นมีค่าแตกต่างกันเพียงเล็กน้อยเท่านั้น จึงต้อง confirm ด้วยการทดสอบแรงดึง



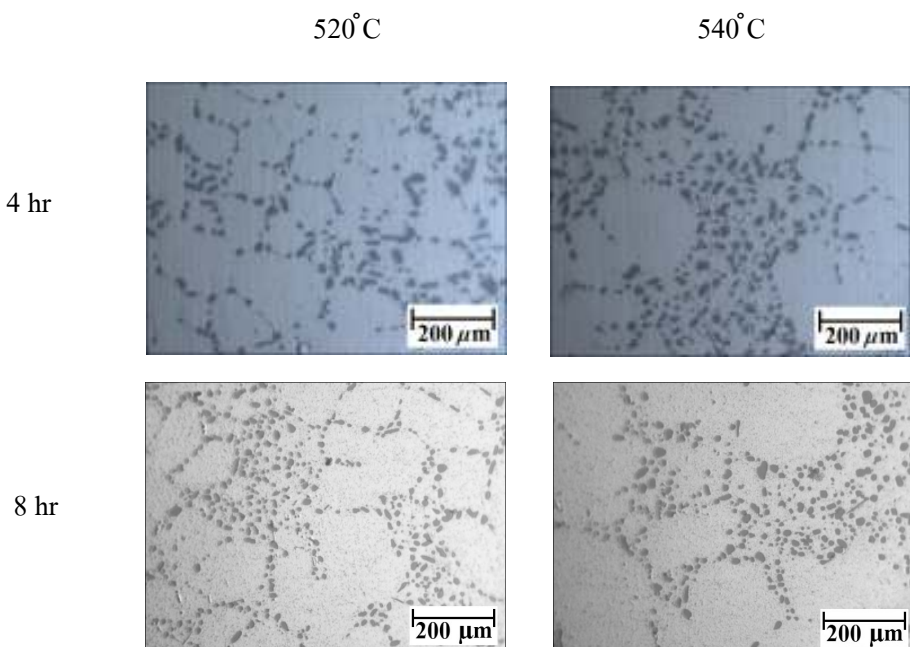
รูปที่ 4.5 แสดงความสัมพันธ์ระหว่างค่าความต้านทานแรงดึงของชิ้นทดสอบกับเวลาที่ใช้ในการบ่มชิ้นทดสอบ ที่อุณหภูมิ 135 และ  $195^{\circ}\text{C}$

จากรูปที่ 4.5 พบร้าค่าความต้านทานแรงดึงจะแปรผันตรงกับค่าความแข็ง ซึ่งที่สภาวะที่ค่าความแข็งต่ำที่สุดเมื่อนำมาทดสอบความต้านทานแรงดึงนั้นก็จะให้ค่าความต้านทานแรงดึงต่ำสุดเช่นกัน ในขณะที่สภาวะที่ให้ค่าความแข็งสูงเมื่อนำมาทดสอบความต้านทานแรงดึงนั้นก็จะให้ค่าความต้านทานแรงดึงที่สูงเช่นกัน โดยขนาดของความคื้นเท่ากับ 228.35 MPa เพราะว่าที่

สภาวะนี้ผ่านกระบวนการทางความร้อน T5 ที่อุณหภูมิและเวลาที่สูงทำให้เกิดการแพร่และการกระจายตัวของอนุภาคซิลิกอน และยังทำให้ออนุภาคซิลิกอนมีขนาดเล็กลง แต่จากการภาพเรາพบว่าค่าความด้านทานแรงดึงที่สภาวะ  $195^{\circ}\text{C}$ , 4 ชั่วโมง มีค่าสูงกว่าที่สภาวะ  $195^{\circ}\text{C}$ , 16 ชั่วโมงนั้น เมื่อพิจารณาที่ค่าความแข็งนั้น ค่าความแข็งของทั้งสองสภาวะมีค่าแตกต่างกันเพียงเล็กน้อยเท่านั้น และเมื่อพิจารณาเปอร์เซ็นต์การยึดตัวนั้นนับว่าที่สภาวะ  $195^{\circ}\text{C}$ , 16 ชั่วโมงนั้นมีค่าเปอร์เซ็นต์การยึดตัวที่มากกว่า

#### 4.3 ขั้นทดสอบหลังผ่านกระบวนการทางความร้อน T6

##### 4.3.1 อิทธิพลของอุณหภูมิและเวลาในการอบละลายที่มีผลต่อโครงสร้างจุลภาค

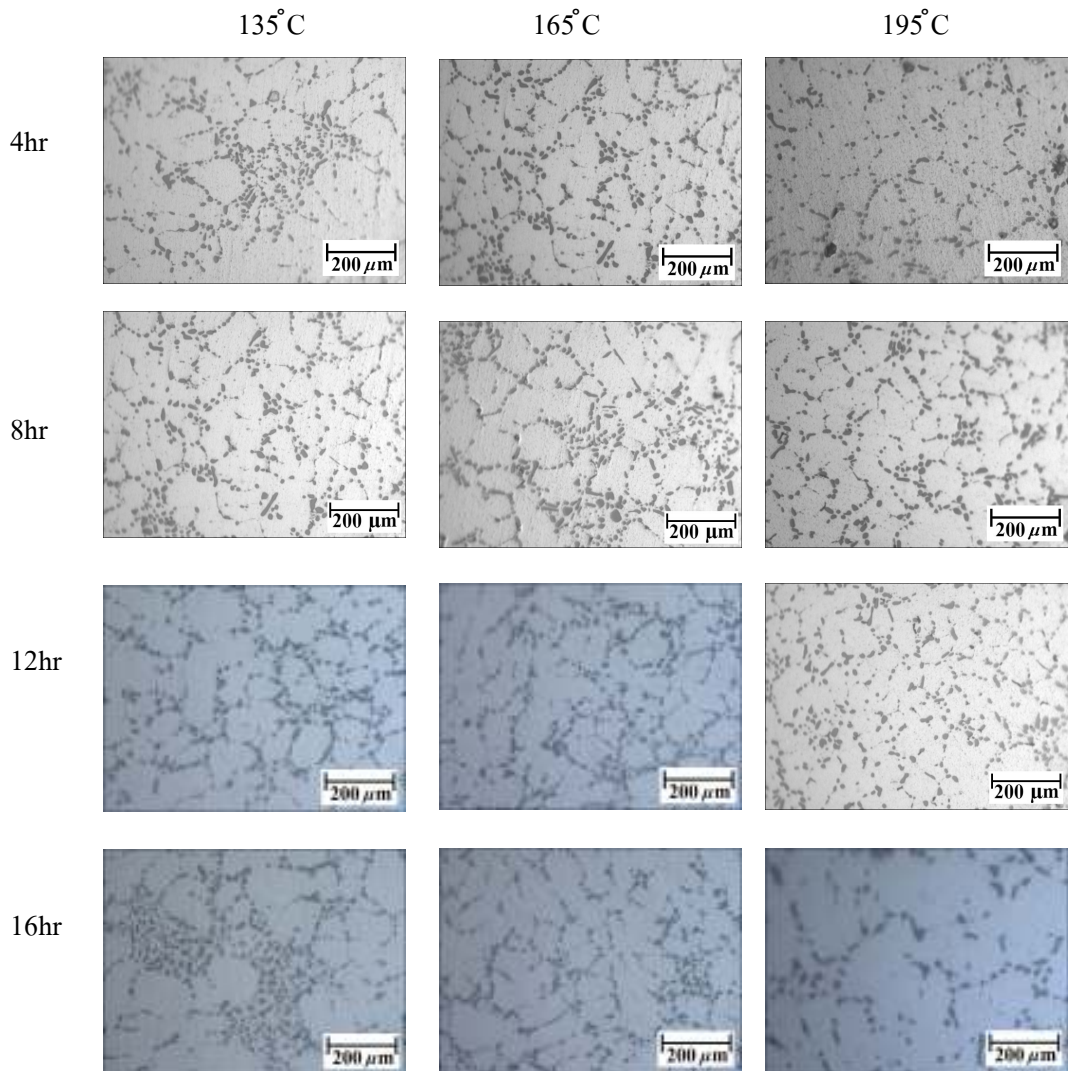


รูปที่ 4.6 โครงสร้างจุลภาคของชิ้นทดสอบที่ผ่านการอบละลายที่อุณหภูมิ  $520$  และ  $540^{\circ}\text{C}$  เป็นเวลา  $4$  และ  $8$  ชั่วโมง

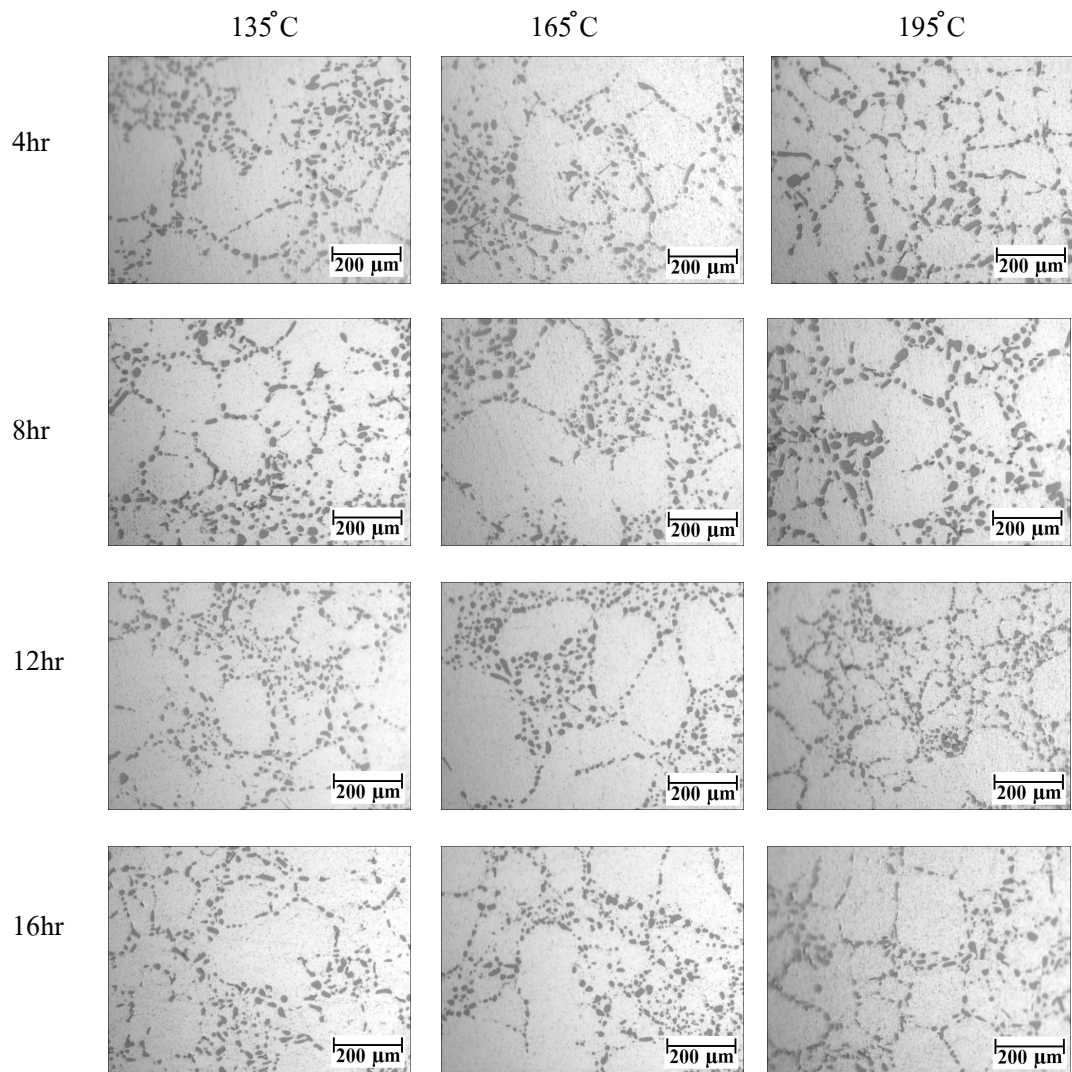
จากรูปที่ 4.6 พบร่วมกันว่าชิ้นทดสอบที่ผ่านการอบละลายในแต่ละสภาวะมีลักษณะโครงสร้างจุลภาคที่คล้ายคลึงกัน โดยประกอบด้วยเนื้อเมตริกซ์ คือ เฟส  $\alpha$ -Al (บริเวณศีขาว) และเฟสยูเทกติกซิลิกอน คือ บริเวณที่มีรูปร่างเป็นแผ่นเล็กๆ กระจายตามขอบเขตของเฟส  $\alpha$ -Al การเปลี่ยนแปลงรูปร่างลักษณะของเฟสยูเทกติกหลังผ่านการอบละลายแสดงให้เห็นว่า มีการแพร่ของอะตอมซิลิกอนออกจากเฟสยูเทกติกซิลิกอนและละลายเข้าสู่เมตริกซ์ เมื่อพิจารณาร่วมกับเฟส ไคลอยด์ของอลูминีียม-ซิลิกอน พบร่วมกันว่าความสามารถในการละลายของซิลิกอนและแมgnีเซียมในอลูминีียมเพิ่มขึ้นเมื่ออุณหภูมิสูงขึ้น ซึ่งสอดคล้องกับผลการทดลอง และเมื่อเปรียบเทียบ

โครงสร้างจุลภาคของชิ้นงานทดสอบที่เวลาอบละลายเท่ากัน แต่อุณหภูมิอบละลายแตกต่างกัน พบว่ามีโครงสร้างจุลภาคที่ไม่แตกต่างกันมากนัก โดยชิ้นทดสอบที่อบละลาย ณ อุณหภูมิ 520 และ  $540^{\circ}\text{C}$  เป็นระยะเวลา 4 ชั่วโมง มีเฟสซูเพ็กติกซิลิกอนที่มีลักษณะกลมมนมากขึ้นและมีขนาดเล็กลง แตกต่างจากเฟสซูเพ็กติกซิลิกอนที่พบในชิ้นงานหล่อที่มีรูปร่างเป็นแท่งยาว ปลายแหลมและมีลักษณะยาวต่อเนื่องกัน นอกจากนี้มีร่องรอยของชิ้นทดสอบที่ผ่านการอบละลาย ณ อุณหภูมิเดียวกัน แต่เวลาอบละลายแตกต่างกันมาเปรียบเทียบ โครงสร้างจุลภาคพบว่าชิ้นงานที่อบละลายนานกว่า (8 ชั่วโมง) มีลักษณะของเฟสซูเพ็กติกที่มีลักษณะกลมและละเอียดกว่าชิ้นทดสอบที่ใช้เวลาในการอบละลายน้อยกว่า (4 ชั่วโมง)

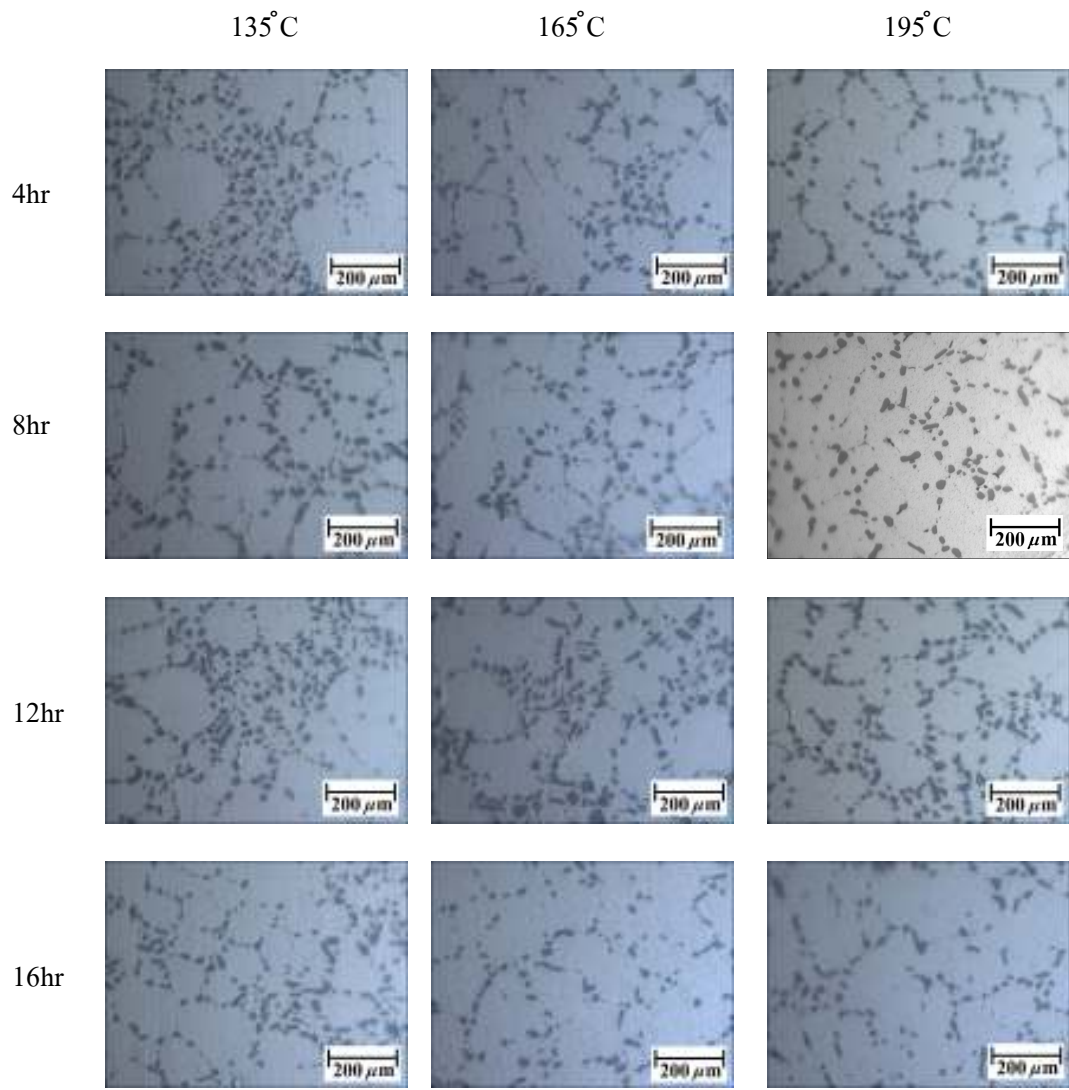
#### 4.3.2 อิทธิพลของอุณหภูมิและเวลาในการบ่มที่มีผลต่อโครงสร้างจุลภาค



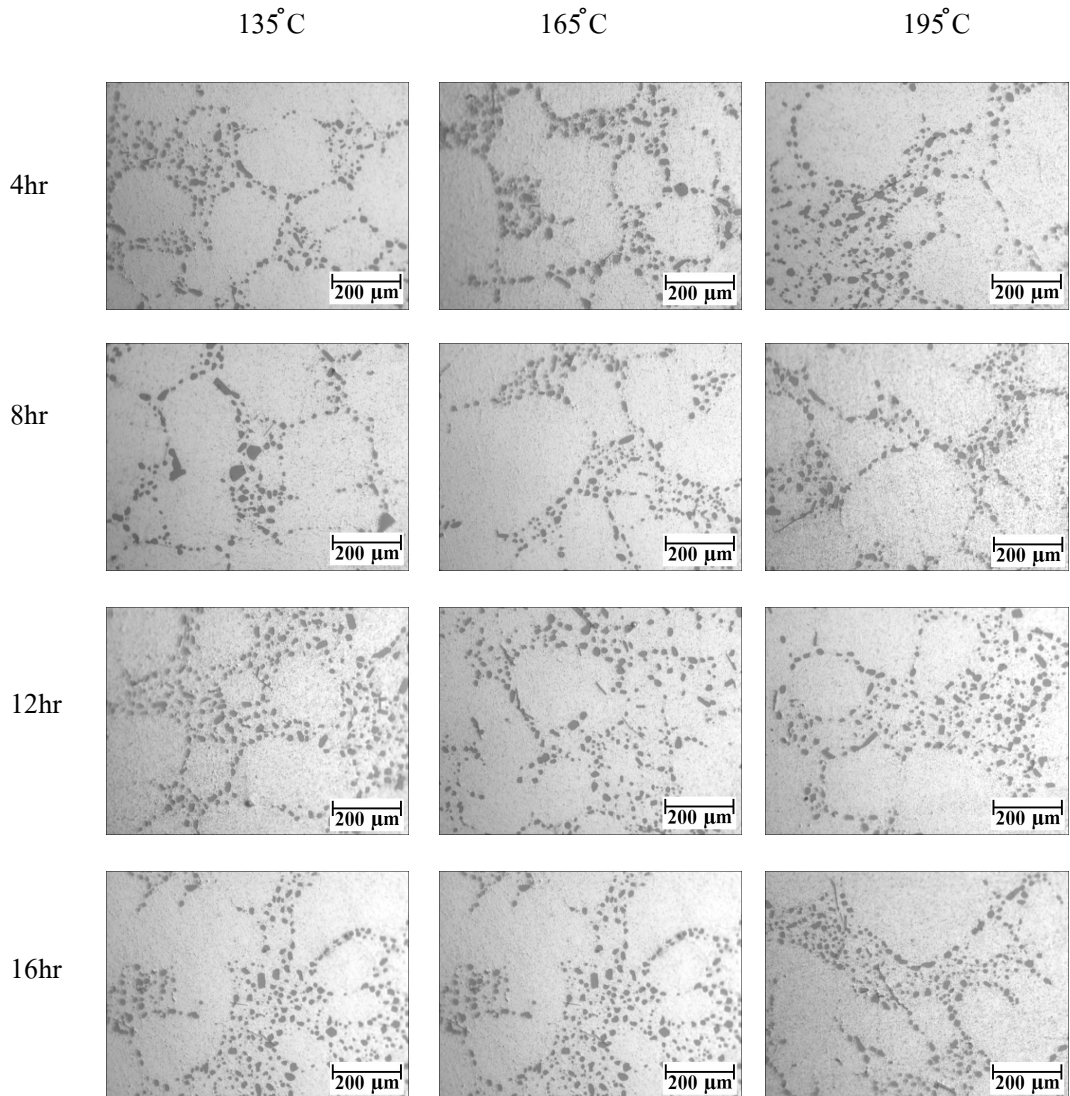
รูปที่ 4.7 โครงสร้างจุลภาคของชิ้นทดสอบที่ผ่านการอบละลาย ณ อุณหภูมิ  $520^{\circ}\text{C}$  เป็นระยะเวลา 4 ชั่วโมง และบ่ม ณ อุณหภูมิและเวลาแตกต่างกัน



รูปที่ 4.8 โครงสร้างจุลภาคของชิ้นทดสอบที่ผ่านกระบวนการอบละลาย ณ อุณหภูมิ 520°C เป็นระยะเวลา 8 ชั่วโมง และบ่ม ณ อุณหภูมิและเวลาแตกต่างกัน



รูปที่ 4.9 โครงการสร้างจุลภาคของชิ้นทดสอบที่ผ่านการอบละลาย ณ อุณหภูมิ  $540^{\circ}\text{C}$  เป็นระยะเวลา 4 ชั่วโมง และบ่ม ณ อุณหภูมิและเวลาแตกต่างกัน



รูปที่ 4.10 โครงสร้างจุลภาคของชิ้นทดสอบที่ผ่านการอบละลาย ณ อุณหภูมิ  $540^{\circ}\text{C}$  เป็นระยะเวลา 8 ชั่วโมง และบ่ม ณ อุณหภูมิและเวลาแตกต่างกัน

จากรูปที่ 4.7-4.10 เมื่อให้เวลาในการบ่มคงที่และอุณหภูมิเพิ่มขึ้นพบว่า เมื่ออุณหภูมิในการบ่มเพิ่มขึ้นความหนาแน่นของอนุภาคซิลิกอนเพิ่มขึ้นแต่ขนาดของอนุภาคจะเล็กลง เนื่องจากอุณหภูมิในการบ่มมีผลต่อโครงสร้าง เนื่องจากอัตราการแพร่ที่อุณหภูมิบ่มสูงจะสูงกว่าที่อุณหภูมิบ่มต่ำ ส่งผลให้อัตราการนิวเคลียเซชันของ precipitate เพิ่มขึ้น precipitate ที่ได้จึงมีขนาดเล็กลงและมีความหนาแน่นเพิ่มขึ้น ในขณะที่อุณหภูมิบ่มคงที่ พบว่าความหนาแน่นของอนุภาคซิลิกอนจะเพิ่มขึ้นเมื่อเวลาในการบ่มเพิ่มขึ้นในช่วงแรก จนถึงจุดที่ทำให้เกิดความแข็งสูงสุด ถ้ายังคงเพิ่มเวลาในการบ่มต่อไปอีก พบว่าความแข็งของชิ้นงานลดลง ซึ่งสอดคล้องกับลักษณะโครงสร้าง

จุลภาคที่พบคือ precipitate มีขนาดโตขึ้นและความหนาแน่นลดลง เพื่อที่จะลดพลังงานอินเตอร์เฟสของระบบลง

จากผลการทดลองจะเห็นได้ว่าทุกสภาพการทดลองมีลักษณะโครงสร้างจุลภาคที่ไม่แตกต่างกันนัก และเนื่องจากงานวิจัย [20] ที่ผ่านมาพบว่าอนุภาค  $Mg_2Si$  ที่ precipitate ขึ้นในเนื้อเมตริกซ์ในช่วงดันของการบ่มมีขนาดเล็กในระดับนาโนเมตร [20] จึงไม่สามารถสังเกตเห็นได้ด้วยกล้องจุลทรรศน์แบบแสง ดังนั้นจึงไม่สามารถมองเห็นความแตกต่างของโครงสร้างจุลภาค ดังแสดงในรูปที่ 4.7-4.10

### 4.3.3 ความแข็งของชิ้นทดสอบหลังผ่านกระบวนการทางความร้อน T6

#### 4.3.3.1 อิทธิพลของอุณหภูมิและเวลาในการอบละลายที่มีต่อค่าความแข็ง

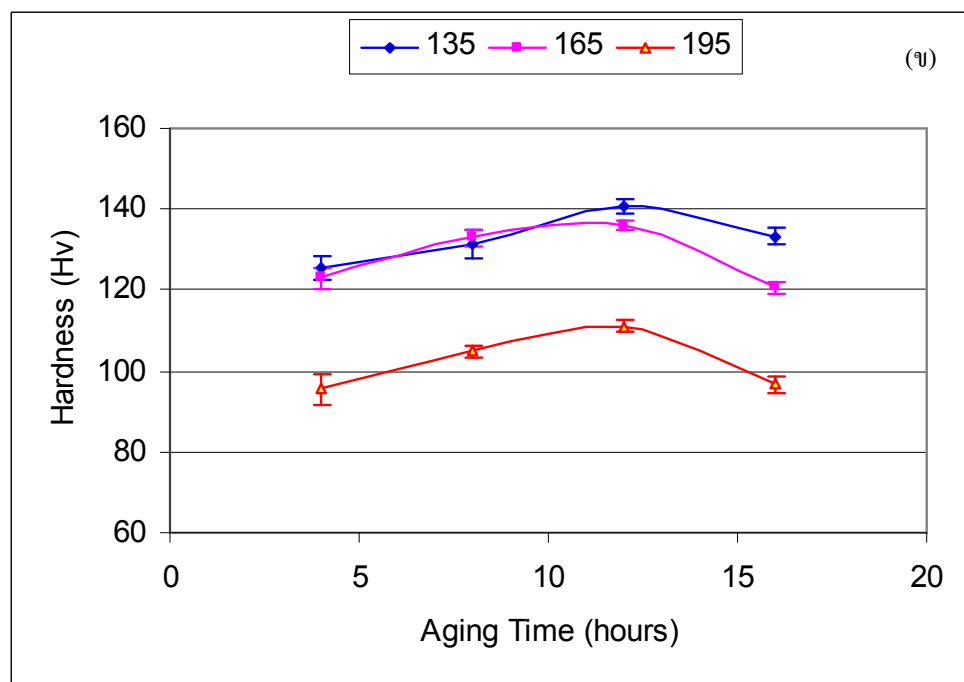
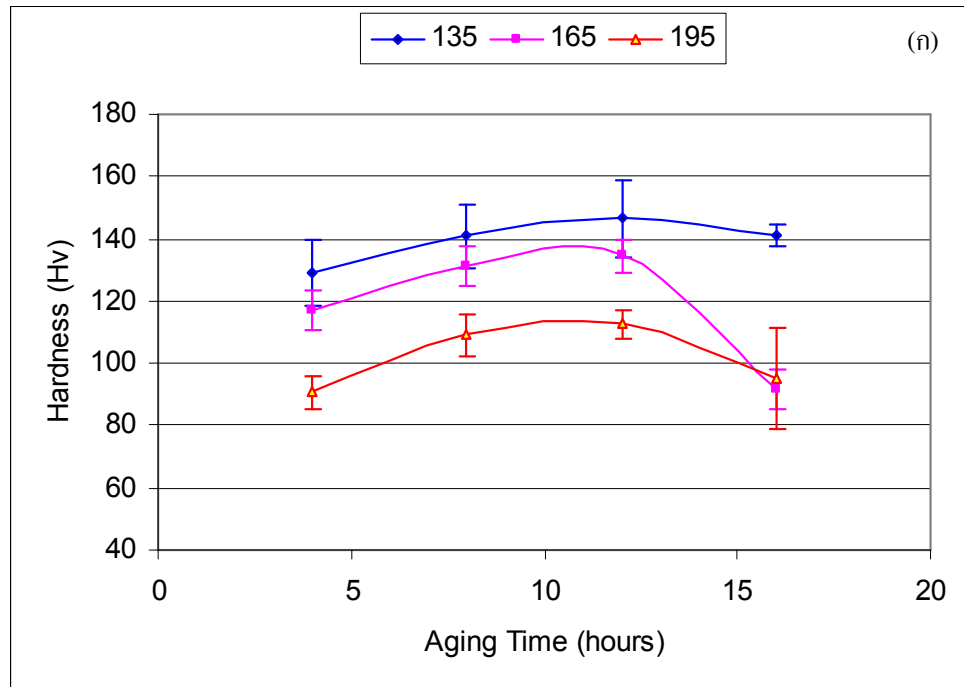
พบว่าค่าความแข็งของชิ้นทดสอบหลังจากการอบละลายที่เวลาเท่ากัน ค่าความแข็งของชิ้นทดสอบที่อบละลายที่อุณหภูมิสูงกว่าจะมีค่าความแข็งที่มากกว่า เพราะว่าการอบละลายชิ้นทดสอบที่อุณหภูมิสูงกว่าทำให้เกิดการละลายและการกระจายตัวของเฟลซิลิกอนได้ดีกว่า และที่อุณหภูมิอบละลายเท่ากันเมื่อเพิ่มระยะเวลาในการอบละลายชิ้นทดสอบ ความแข็งของชิ้นทดสอบที่อบละลายนานกว่าจะสูงกว่า เพราะเวลาในการอบละลายของเฟลซิลิกอนเข้าสู่เมตริกซ์นานกว่าปริมาณแมกนีเซียมและซิลิกอนที่อยู่ในสภาพอิ่มตัวยังคงสูงขึ้น ทำให้ precipitate ที่ฟอร์มตัวขณะบ่มชิ้นงานมีจำนวนเพิ่มมากขึ้น ตารางที่ 4.1 แสดงให้เห็นค่าความแข็งเฉลี่ยที่วัดได้จากชิ้นงานที่ผ่านกระบวนการทางความร้อน ณ สภาวะต่างๆ จากตารางนี้พบว่าค่าความแข็งสูงสุดที่ได้มีค่าเท่ากับ 146.68 Hv ซึ่งได้จากการอบละลายที่  $540^{\circ}C$  เป็นเวลา 8 ชั่วโมง และบ่มที่  $135^{\circ}C$  เป็นเวลา 12 ชั่วโมง และค่าความแข็งต่ำสุดของชิ้นงานที่ผ่านกระบวนการทางความร้อนมีค่าเท่ากับ 90.28 Hv ซึ่งได้จากการอบละลายที่  $520^{\circ}C$  เป็นเวลา 4 ชั่วโมง และบ่มที่  $195^{\circ}C$  เป็นเวลา 4 ชั่วโมง อย่างไรก็ตาม ค่าความแข็งนี้ยังคงสูงกว่าความแข็งของชิ้นงานหล่อที่ไม่ได้ผ่านกระบวนการทางความร้อน ( $63.3\text{ Hv}$ ) และใกล้เคียงกับชิ้นงานหล่อที่ผ่านกระบวนการทางความร้อน T5

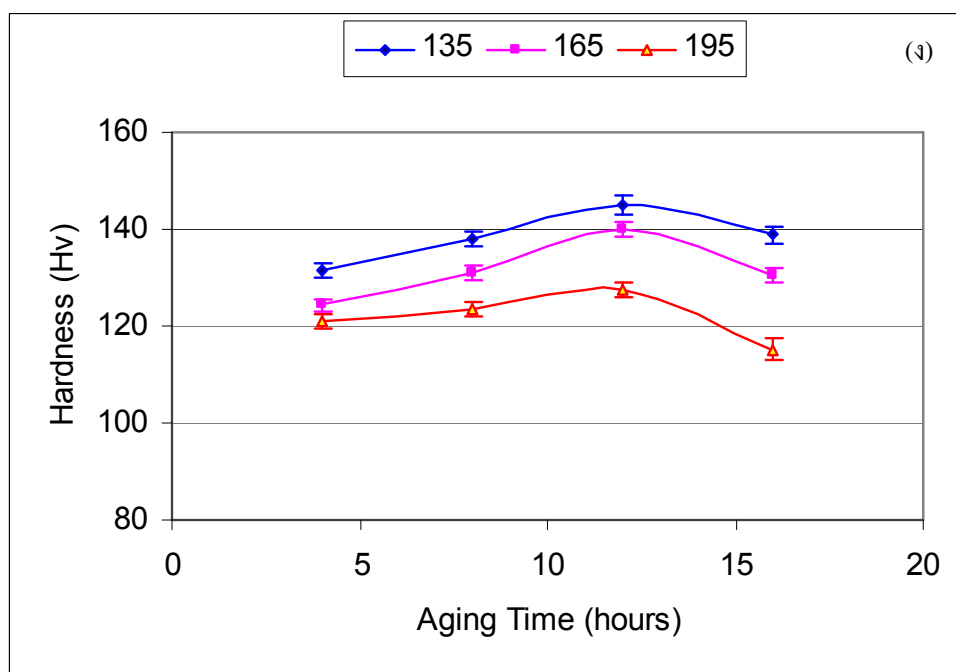
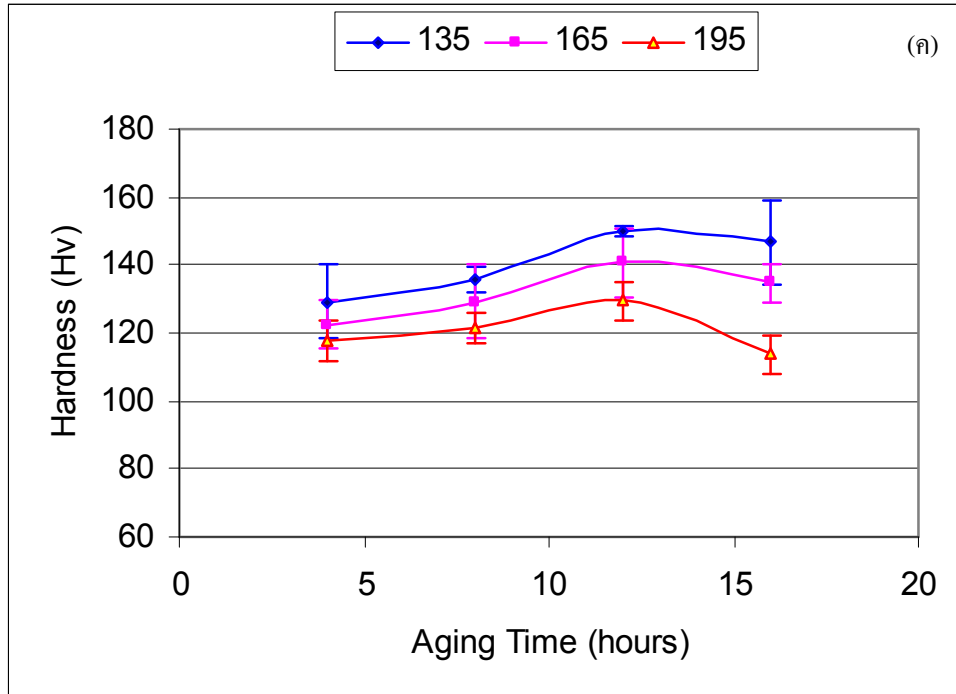
ตารางที่ 4.1 แสดงค่าความแข็งของชิ้นทดสอบที่สภาวะต่างๆ

T(°C) Solution treat	t (hrs) Solution treat	T(°C) Aging	t (hrs) Aging	Hardness (Hv)
520	4	135	4	129.34
			8	140.76
			<b>12</b>	<b>146.65</b>
			16	141.19
		165	4	117.21
			8	131.01
			<b>12</b>	<b>134.53</b>
			16	91.40
		195	4	90.70
			8	109.18
			<b>12</b>	<b>112.54</b>
			16	95.13
520	8	135	4	125.49
			8	131.35
			<b>12</b>	<b>140.63</b>
			16	133.27
		165	4	122.90
			8	132.93
			<b>12</b>	<b>136.2</b>
			16	120.55
		195	4	95.46
			8	104.96
			<b>12</b>	<b>111.05</b>
			16	96.56
540	4	135	4	129.34
			8	136.06

			<b>12</b>	<b>149.90</b>
<b>T( °C) Solution treat</b>	<b>t (hrs) Solution treat</b>	<b>T( °C) Aging</b>	<b>t (hrs) Aging</b>	<b>Hardness (Hv)</b>
			16	146.65
		165	4	122.5
			8	129.34
540	4		<b>12</b>	<b>140.76</b>
			16	134.83
		195	4	117.67
			8	121.32
			<b>12</b>	<b>129.5</b>
			16	113.81
540	8	135	4	131.39
			8	137.84
			<b>12</b>	<b>146.78</b>
			16	139.27
		165	4	124.36
			8	131.05
			<b>12</b>	<b>139.87</b>
			16	130.57
		195	4	120.98
			8	123.57
			<b>12</b>	<b>127.61</b>
			16	115.17

#### 4.3.2.2 อิทธิพลของอุณหภูมิและเวลาในการบ่มที่มีต่อค่าความแข็ง





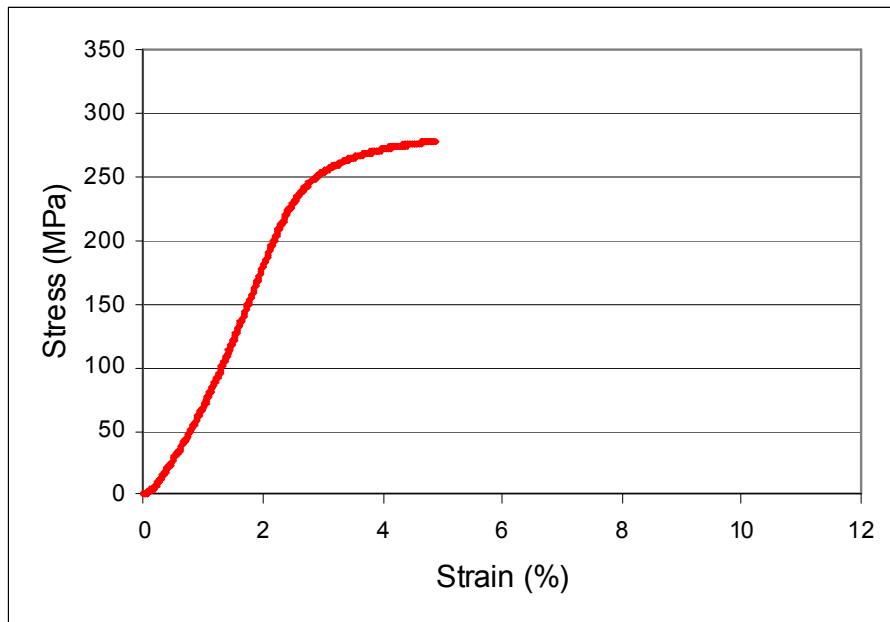
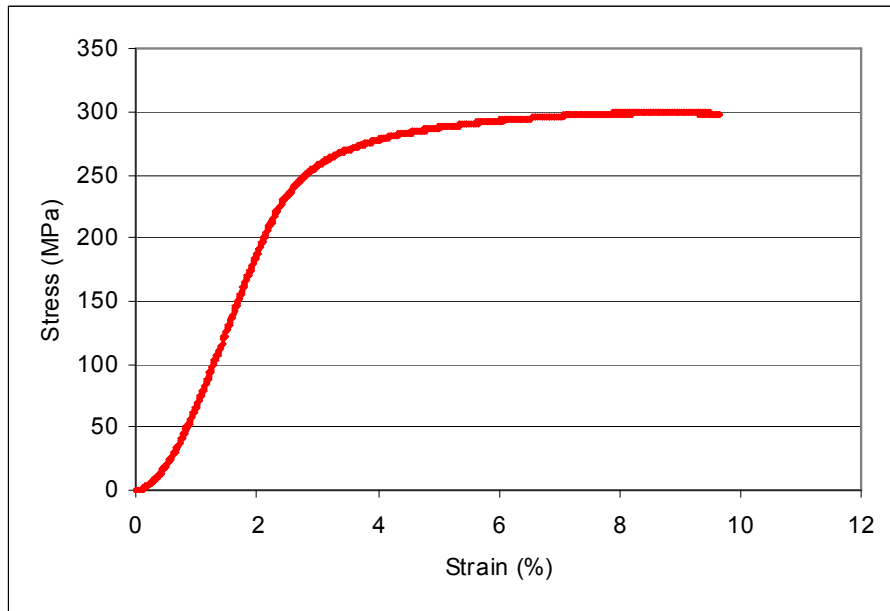
รูปที่ 4.11 แสดงความสัมพันธ์ระหว่างค่าความแข็งกับอุณหภูมิและเวลาในการบ่มที่ อุณหภูมิและเวลาในการอบละลายดังนี้ (ก)  $520^{\circ}\text{C}$ , 4 ชั่วโมง (ข)  $520^{\circ}\text{C}$ , 8 ชั่วโมง (ค)  $540^{\circ}\text{C}$ , 4 ชั่วโมง (ง)  $540^{\circ}\text{C}$ , 8 ชั่วโมง

จากรูปที่ 4.11 พบร่วมกันเมื่อเพิ่มอุณหภูมิในการบ่มมากขึ้น ความแข็งของชิ้นทดสอบจะต่ำกว่าชิ้นทดสอบที่ผ่านการบ่มที่อุณหภูมิการบ่มต่ำกว่า เพราะว่าการ

บ่มที่อุณหภูมิสูงนั้น เฟสแรกที่เกิดการ precipitate นั้น ไม่ใช่ GP Zone ทำให้ความหนาแน่นของ เฟสกึ่งเสถียรเริ่มต้นมีปริมาณน้อยกว่าชิ้นงานที่บ่ม ณ อุณหภูมิต่ำซึ่งจะเกิด GP Zone ขึ้นเป็นลำดับ แรกและมี precipitate ที่มากกว่า เมื่อพิจารณาค่าความแข็งของชิ้นงานที่บ่มที่อุณหภูมิเดียวกันแต่ เวลาแตกต่างกัน พบว่าชิ้นทดสอบที่ผ่านการบ่มที่เวลานานกว่าจะมีค่าความแข็งที่สูงกว่าชิ้นทดสอบ ที่ผ่านการบ่มที่เวลาการบ่มน้อยกว่า แต่เมื่อเพิ่มเวลาในการบ่มมากขึ้นจนกระทั่งเลขจุดที่มีความ แข็งสูงสุด (Optimum aging) แล้ว ค่าความแข็งของชิ้นทดสอบจะลดลง เพราะว่าจำนวนของ precipitate ที่เกิดขึ้นจะลดลงเนื่องจากเฟส  $\beta'$  มี% Mg<sub>2</sub>Si มากกว่า เฟส  $\beta$  ทำให้ Mg<sub>2</sub>Si แพร่จาก เฟส  $\beta'$  ไปยังเฟส  $\beta$  ทำให้ % Mg<sub>2</sub>Si ของเฟส  $\beta'$  ลดลง ส่งผลให้เฟส  $\beta'$  มีขนาดเล็กลง แต่ ขณะเดียวกันเฟส  $\beta$  ก็จะโตขึ้นแต่มีปริมาณน้อย

ซึ่งจากการทดลองของค่าความแข็งนั้นพบว่า อนุภาคที่เกิดขึ้นมีเฟสที่เกิดขึ้น เรียกว่า GP Zone ซึ่งมีลักษณะ โครงสร้างผลึกเหมือนเหมือนกับเนื้อเมตริกซ์ โดยบริเวณ อินเตอร์เฟสระหว่างอนุภาค Mg<sub>2</sub>Si กับเนื้อเมตริกซ์ เป็นแบบ Semi-Coherent ที่มีรูปร่างเป็น Needle-like shape เมื่อเพิ่มระยะเวลาหรืออุณหภูมิในขั้นตอนการบ่ม ส่งผลให้เกิดการเดินไตของ อนุภาค Mg<sub>2</sub>Si และบางส่วนของอนุภาค Mg<sub>2</sub>Si จะเกิดเป็นเฟสที่เรียกว่าเฟส  $\beta''$  ซึ่งพบว่ามีความ แข็งแรงสูงกว่าเฟส GP Zone เพราะแรงต้านการเคลื่อนที่ของดีสโลโคเซ็นเพิ่มขึ้นจากเดิม โดยมีแรง ต้านจากการเคลื่อนที่ของดีสโลโคเซ็นผ่านโคลเอียร์นท์โซน เมื่อเพิ่มระยะเวลาในขั้นตอนการบ่มมาก ขึ้นจะเกิดการเปลี่ยนเฟสจาก GP Zone หรือ  $\beta''$  ไปเป็นเฟส  $\beta'$  และเมื่อเพิ่มระยะเวลาหรืออุณหภูมิ ให้นานขึ้น จะมีการเปลี่ยนเฟสจาก  $\beta'$  เป็นเฟส  $\beta$  (Stable) โดยลักษณะของบริเวณรอยต่อระหว่าง อนุภาค Precipitate กับเนื้อเมตริกซ์เป็นแบบ Incoherent การฟอร์มตัวของ  $\beta''$  ทำให้ความเครียด เพิ่มขึ้นจากเดิมอีก เพราะดีสโลโคเซ็นต้องออกแรงเพิ่มขึ้นในการเคลื่อนที่ผ่านเมตริกซ์ที่มี ความเครียดสูง ความแข็งของชิ้นงานจะค่อยๆลดลงก็ต่อเมื่อ  $\beta'$  ฟอร์มขึ้น เพราะระยะห่างระหว่าง Precipitate ของ  $\beta'$  เพิ่มขึ้น ทำให้ดีสโลโคเซ็นสามารถโกร่งตัวผ่าน (Bow) ระหว่าง Precipitate  $\beta'$  ได้ ง่ายขึ้น ดังนั้นความแข็งของโลหะผสมนี้จะสูงสุดเมื่อระบบประกอบไปด้วย  $\beta''$  และ  $\beta'$  ถ้าเราบ่ม ชิ้นงานนานเกินไป (Overage) จะทำให้ระยะห่างระหว่าง Precipitate เพิ่มมากขึ้น ส่งผลให้ความแข็ง ของชิ้นงานลดน้อยลง ซึ่งสามารถอธิบายได้จากการทดสอบความแข็ง

#### 4.3.3 สมบัติความต้านทานแรงดึงของชิ้นทดสอบหลังผ่านกระบวนการทางความร้อน T6



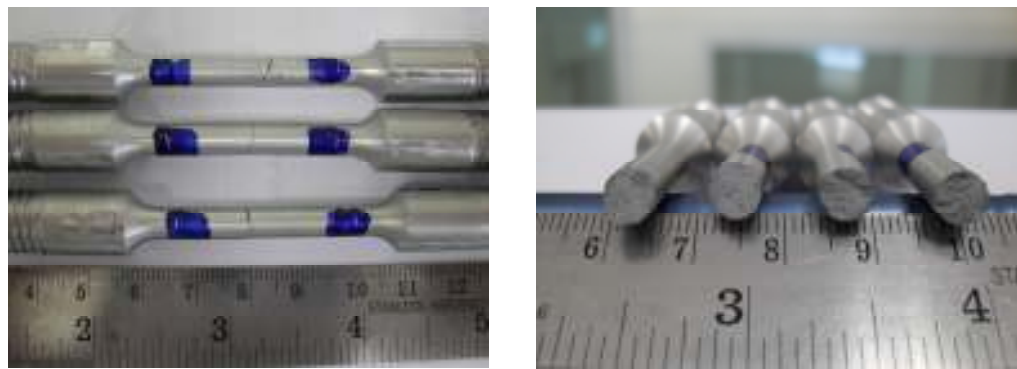
รูปที่ 4.12 แสดงความสัมพันธ์ระหว่างค่าความต้านทานแรงดึงของชิ้นทดสอบกับเวลาที่ใช้ในการบ่มชิ้นทดสอบ ที่สภาวะค่าความต้านทานแรงดึงสูงสุด ก) อบละลายที่  $540^{\circ}\text{C}$ , 8hr และบ่มที่  $165^{\circ}\text{C}$ , 12hr ข) อบละลายที่  $540^{\circ}\text{C}$ , 4hr และบ่มที่  $165^{\circ}\text{C}$ , 12hr

จากรูปที่ 4.12 พบร่วมค่าความต้านทานแรงดึงในรูปที่ 4.12 (ก) เท่ากับ 297.03 MPa และเปอร์เซ็นต์การยืดตัวเท่ากับ 9.66 % และค่าความต้านทานแรงดึงในรูปที่ 4.12 (ข) เท่ากับ

278.28 MPa และเบอร์เซ็นต์การยึดตัวเท่ากับ 4.86 % ซึ่งค่าความต้านทานแรงดึงและเบอร์เซ็นต์การยึดตัวแสดงดังตารางที่ 4.2 จากตารางพบว่าชิ้นงานที่ผ่านกระบวนการขึ้นรูปแบบ SSM-SC จะมีค่าความต้านทานแรงดึงและเบอร์เซ็นต์การยึดตัวมากกว่าชิ้นงานที่ผ่านการขึ้นรูปแบบ CSC เนื่องจากชิ้นงานที่ผ่านการขึ้นรูปแบบ SSM-SC จะมีลักษณะโครงสร้างของเกรนที่เป็นก้อนกลมที่ล้อมรอบด้วยเฟล็กซิลิกอนในขณะที่ชิ้นงานที่ผ่านการขึ้นรูปแบบ CSC นั้นจะมีลักษณะโครงสร้างเป็นเด่นๆ โครงต์ที่ล้อมรอบด้วยยูทेकติกซิลิกอนที่เป็นแท่งยาวต่อเนื่องกัน ทำให้ขาดคุณสมบัติด้านความหนืดยวเมื่อได้รับแรงกระทำจากภายนอก และลักษณะของการแตกหักของชิ้นทดสอบดังแสดงในรูปที่ 4.13 พบว่าชิ้นงานมีลักษณะการแตกหักแบบวัสดุประจำ

ตารางที่ 4.2 แสดงค่าความต้านทานแรงดึงและเบอร์เซ็นต์การยึดตัวของชิ้นงานที่สภาวะต่างๆ

<b>Condition</b>	<b>Tensile Test</b>	
	<b>Ultimate Tensile Strength (MPa)</b>	<b>% Elongation</b>
<b>SSM-SC</b>	172.13	6.61
<b>CSC</b>	145	5.66
<b>T5 SSM-SC</b>		
135°C-4	202.89	8.74
195 °C -4	228.35	5.06
195 °C -16	222.77	6.05
<b>T6 SSM-SC</b>		
540°C -4-165°C -12	278.28	4.86
540°C -8-165°C -12	297.03	9.66
<b>T6 CSC</b>		
540°C -4-165°C -12	236.92	5.90
540°C -8-165°C -12	240.11	6.47



รูปที่ 4.13 แสดงลักษณะรอยแตกของชิ้นงานหลังผ่านกระบวนการทางความร้อน T6

จากรูปแสดงให้เห็นว่าชิ้นทดสอบที่ผ่านการอบละลายนานกว่าจะให้ค่าความต้านทานแรงดึงและเบอร์เช็นต์การขีดตัวที่สูงกว่า เพราะว่าอุณหภูมิและเวลาในการอบละลายและการบ่มมีผลต่อการเปลี่ยนแปลงของโครงสร้างจุลภาคและสัมพันธ์กับผลของการความต้านทานแรงดึงคือที่เวลาในการอบละลายนานกว่าการแพร์และการกระจายตัวของเฟสต่างๆเกิดขึ้นได้มากกว่าที่ระยะเวลาñoຍ

## บทที่ 5

### สรุปผลการทดสอบ

จากผลการทดสอบของชิ้นทดสอบในสภาพะหล่อและบ่มที่อุณหภูมิและเวลาต่างๆ ของโลหะผสมอลูมิเนียม-ซิลิกอนแบบกึ่งของแข็ง เกรด A356 ที่ใช้งานวิจัยนี้ ซึ่งมีผลโครงสร้างจุลภาคที่ประกอบไปด้วยภาพจากกล้องจุลทรรศน์แบบใช้แสง (OM) และผลทดสอบสมบัติทางกลที่ประกอบไปด้วยการทดสอบความแข็งและการทดสอบแรงดึงของชิ้นทดสอบดังต่อไปนี้

5.1 เมื่อพิจารณาโครงสร้างจุลภาคของชิ้นทดสอบในสภาพะหลังหล่อ พบว่า โครงสร้างจุลภาคของชิ้นทดสอบแบบกึ่งของแข็งนี้ประกอบด้วยเนื้อเมตริกซ์คือเฟส  $\alpha - Al$ , เฟสยูเทกติกซิลิกอน และเมื่อพิจารณาผลการทดสอบความแข็งของชิ้นทดสอบพบว่ามีค่าความแข็งคือ 63.34 Hv และค่าความด้านทานแรงดึงคือ 172.13 MPa และเปอร์เซ็นต์การยึดตัวคือ 6.61% ส่วนชิ้นทดสอบที่หล่อแบบธรรมดานั้นมีค่าความแข็งคือ 46.55 Hv และค่าความด้านทานแรงดึงคือ 145 MPa และเปอร์เซ็นต์การยึดตัวคือ 5.66% ขณะนี้จะเห็นว่าชิ้นงานแบบกึ่งของแข็งจะให้สมบัติทางกลที่ดีกว่า

5.2 เมื่อนำชิ้นทดสอบในสภาพะหล่อหลังการบ่มเพียงกระบวนการเดียว (T5) นั้น เมื่อพิจารณาโครงสร้างจุลภาคนี้ประกอบด้วยเนื้อเมตริกซ์คือเฟส  $\alpha - Al$ , เฟสยูเทกติกซิลิกอน และค่าความแข็งของชิ้นทดสอบในสภาพะที่ผ่านการบ่มที่อุณหภูมิ 195 °C เป็นเวลา 16 ชั่วโมง ซึ่ง พบว่าค่าความแข็งคือ 109.27 Hv และสภาพะที่มีค่าความด้านทานแรงดึงสูงสุดคือ สภาวะที่ผ่านการบ่มที่อุณหภูมิ 195 °C เป็นเวลา 16 ชั่วโมง ซึ่งค่าความด้านทานแรงดึงคือ 228.35 MPa และ เปอร์เซ็นต์การยึดตัวคือ 5.06%

5.3 ในขณะที่ชิ้นทดสอบที่ผ่านขั้นตอนการอบละลายที่อุณหภูมิ 520 °C และ 540 °C เป็นระยะเวลา 4 และ 8 ชั่วโมง เมื่อพิจารณาโครงสร้างทางจุลภาคของชิ้นทดสอบประกอบด้วยเนื้อเมตริกซ์คือเฟส  $\alpha - Al$ , เฟสยูเทกติกซิลิกอน โดยที่ความหนาแน่นของอนุภาคซิลิกอนจะแตกต่างกัน โดยที่สภาพะการอบละลายที่อุณหภูมิ 540 °C เป็นระยะเวลา 8 ชั่วโมงจะมีความหนาแน่นของอนุภาคซิลิกอนมากที่สุด จากการทดสอบยังพบว่า อุณหภูมิที่ต่างกันของอุณหภูมิ 520 °C และ 540 °C จะมีความแตกต่างทางด้านโครงสร้างจุลภาคที่น้อยมาก แต่พบว่าระยะเวลาที่ต่างกันของขั้นตอนการอบละลายที่อุณหภูมิ 540 °C มีผลต่อโครงสร้างจุลภาคคือ

1. ปริมาณอะตอมของซิลิกอนและแมกนีเซียม ที่แพร่ออกจาเฟสยูเทกติกซิลิกอนและเฟส  $Mg_2Si$  ละลายเข้าสู่เนื้อเมตริกซ์ เมื่อเพิ่มระยะเวลาของการอบละลายของชิ้นทดสอบพบว่าเกิด

อนุภาคสีดำขนาดเล็กจำนวนมากกระจายตัวภายในเนื้อเมตัลิกซ์ โดยอนุภาคเหล่านี้นิ่งจากการแพร่ของซิลิกอนอะตอนจากไฟฟ้าสถิติกซิลิกอนและลายเข้าสู่เนื้อเมตัลิกซ์ และผลการวิเคราะห์โครงสร้างจุลภาค พบว่าเมื่อระยะเวลาของขั้นตอนการอบละลายเพิ่มจาก 4 ชั่วโมง เป็น 8 ชั่วโมง มีอนุภาคสีดำขนาดเล็กกระจายตัวอยู่ในเนื้อเมตัลิกซ์เพิ่มขึ้น

2. ลักษณะและรูปร่างของไฟฟ้าสถิติกซิลิกอน โดยระยะเวลาของขั้นตอนการอบละลาย ส่งผลต่อการเปลี่ยนแปลงลักษณะและรูปร่างของไฟฟ้าสถิติกซิลิกอน จากเดิมเป็นไฟฟ้าที่มีรูปร่างและลักษณะแห่งยาวปลายแหลมที่ต่อเนื่องกัน แต่เมื่อเพิ่มระยะเวลาจาก 4 ชั่วโมง เป็น 8 ชั่วโมง พบว่าไฟฟ้าสถิติกซิลิกอนมีลักษณะกลมมนมากขึ้น

3. ความแข็งของชิ้นทดสอบ ซึ่งระยะเวลาของขั้นตอนการอบละลายที่เพิ่มขึ้นส่งผลทำให้มีค่าความแข็งที่สูงกว่าที่สภาวะอื่นๆค่าความแข็งคือ 94 Hv ในขณะที่สภาวะการอบละลายที่อุณหภูมิ 540°C เป็นระยะเวลา 4 ชั่วโมง ค่าความแข็งคือ 83.29 Hv

5.4 เมื่อนำชิ้นทดสอบที่สภาวะผ่านขั้นตอนการบ่ม ในขั้นตอนการอบละลายที่ อุณหภูมิ 520°C และ 540°C เป็นระยะเวลา 4 และ 8 ชั่วโมง และผ่านขั้นตอนการชุบด้วยการชุบชิ้นทดสอบในน้ำและผ่านขั้นตอนการบ่มที่อุณหภูมิ 135°C, 165°C และ 195°C เป็นระยะเวลา 4, 8, 12 และ 16 ชั่วโมง เมื่อนำชิ้นทดสอบวิเคราะห์โครงสร้างจุลภาคและสมบัติทางกลคือความแข็งและแรงดึง ได้ผลดังนี้

- โครงสร้างจุลภาคของชิ้นทดสอบพบว่าประกอบไปด้วยเฟส  $\alpha - Al$  และไฟฟ้าสถิติกซิลิกอน และไม่สามารถมองเห็นอนุภาคของ  $Mg_2Si$  ที่มีขนาดเล็กในระดับนาโนเมตรที่เกิดขึ้นในขั้นตอนการบ่ม
- ความแข็งของชิ้นทดสอบที่ทุกสภาวะพบว่าระยะเวลาของขั้นตอนการบ่มมีผลความแข็งของชิ้นทดสอบที่เพิ่มขึ้นเมื่อกัน โดยความแข็งของชิ้นทดสอบที่ผ่านขั้นตอนการบ่มมีค่าเพิ่มขึ้นอย่างรวดเร็วในช่วงเริ่มต้น โดยระยะเวลาของขั้นตอนการบ่มมีความสัมพันธ์กับระยะเวลาของขั้นตอนการอบละลายกล่าวคือ เมื่อชิ้นทดสอบผ่านขั้นตอนการอบละลายเป็นระยะเวลานานคือ 8 ชั่วโมง พบว่าธาตุซิลิกอนและแมgnีเซียมละลายอยู่ในเนื้อเมตัลิกซ์ทำให้เนื้อเมตัลิกซ์อยู่ในสภาวะสารละลายของแข็งอิมตั้งยิ่งวด สังเกตได้จากอนุภาคสีดำที่กระจายตัวในเนื้อเมตัลิกซ์เริ่มลดลง เมื่อนำชิ้นทดสอบเหล่านั้นผ่านขั้นตอนการบ่ม ทำให้เกิดอนุภาค  $Mg_2Si$  ที่เกิดขึ้นขั้นตอนการบ่มใช้ระยะเวลาการเติบโตที่สั้นกว่าชิ้นทดสอบที่ผ่านขั้นตอนการอบละลายเป็นระยะเวลาอีกคือ 4 ชั่วโมง โดยสังเกตจากค่าความแข็งของชิ้นทดสอบ พบว่าชิ้นทดสอบที่ใช้ระยะเวลาในขั้นตอนการอบละลายสั้นคือ 4 ชั่วโมง ทำให้ต้องเพิ่มระยะเวลาของขั้นตอนการบ่มให้นานขึ้น

- ค่าความแข็งสูงสุดของชิ้นงาน GISS-SC ที่ผ่านกระบวนการทางความร้อนแบบ T6 คือที่สภาวะการอบละลายที่ 540°C เป็นระยะเวลา 4 ชั่วโมง และบ่มที่อุณหภูมิ 135°C เป็นระยะเวลา 12 ชั่วโมง มีค่าความแข็งเท่ากับ 149.90 Hv และสภาวะที่ให้ค่าความแข็งต่ำสุดคือที่สภาวะการอบ

ละลายที่  $520^{\circ}\text{C}$  เป็นระยะเวลา 4 ชั่วโมง และบ่มที่อุณหภูมิ  $195^{\circ}\text{C}$  เป็นระยะเวลา 4 ชั่วโมง มีค่าความแข็งเท่ากับ  $90.70\text{ Hv}$

- ค่าความต้านทานแรงดึงของชิ้นงานธรรมชาติที่ผ่านการขึ้นรูปแบบ Conventional Squeezed Casting (CSC) ที่ผ่านกระบวนการทางความร้อนแบบ T6 มีค่าความต้านทานแรงดึงคือมีค่าความต้านทานแรงดึงเท่ากับ  $236.92\text{ MPa}$  และเปอร์เซ็นต์การยึดตัวมีค่าเท่ากับ  $5.90\%$  และชิ้นงานที่ผ่านการขึ้นรูปแบบ Gas Induced Semi-Solid Squeezed Casting (GISS-SC) มีค่าความต้านทานแรงดึงสูงสุดของชิ้นงานเท่ากับ  $297.07\text{ MPa}$  และเปอร์เซ็นต์การยึดตัวมีค่าเท่ากับ  $9.66\%$  ซึ่งชิ้นงานที่ผ่านกระบวนการทางความร้อนแบบ T6 ที่ให้สมบัติต้านทานแรงดึงสูงสุดคือที่สภาวะการอบละลายที่ อุณหภูมิ  $540^{\circ}\text{C}$  เป็นระยะเวลา 8 ชั่วโมง และบ่ม ที่อุณหภูมิ  $165^{\circ}\text{C}$  เป็นระยะเวลา 12 ชั่วโมง
- ค่าความต้านทานแรงดึงและเปอร์เซ็นต์การยึดตัวของชิ้นทดสอบ พบว่า ค่าความต้านทานแรงดึงของชิ้นทดสอบลดลงเมื่ออุณหภูมิกการบ่มเพิ่มขึ้นแต่ค่าเปอร์เซ็นต์การยึดตัวจะเพิ่มขึ้น

## บรรณานุกรม

1. เจยฎา วรรณสินธ์ เจยฎา วรรณสินธ์ “โครงการวิจัยเรื่องเทคโนโลยีการหล่ออลูมิเนียมไดแคสติงแบบกึ่งของแข็ง” ภาควิชาวิศวกรรมเหมืองแร่และวัสดุ คณะวิศวกรรมศาสตร์ มหาวิทยาลัยสงขลานครินทร์
2. พยุง เกตุกราย “การหล่อโลหะ ภาคการผลิต” สมาคมเทคโนโลยี (ไทย – ญี่ปุ่น) กรุงเทพมหานคร 2523.
3. วิจิตร พงษ์บันทิต “การหลอมละลาย และการปรับปรุงทางโลหะวิทยาของอะลูมิเนียม ผสมกลุ่ม Al-Si-Cu-Mg alloys LM25” เทคโนโลยีการหล่อโลหะ ศูนย์เทคโนโลยีโลหะ และวัสดุแห่งชาติ กรุงเทพมหานคร 2542.
4. เม่น ออมรลักษณ์ และ สมชัย อัครทิวา. 2544. แปล, วัสดุวิศวกรรม. McGraw-Hill. กรุงเทพมหานคร.
5. สุวันชัย พงษ์สุกิจวัฒน์ และ กอบนุษ หล่อทองคำ, 2548, วัสดุและวิศวกรรมวัสดุพื้นฐาน, กรุงเทพฯ: ท้อป, หน้า 79-94.
6. Akhter R., Ivanchev L., and Burger, H.P., “Effect of Pre/Post T6 Heat Treatment on the Mechanical Properties of Laser Welded SSM Cast A356 Aluminum Alloy”, Materials Science and Engineering A 447 , pp. 192-196, 2007.
7. Andersen, S.J., Zandbergen, H.W. Jansen, J., Tr holt, C., Tundal, U. and Reiso, O., 1998, “Quantification of the Mg<sub>2</sub>Si  $\beta'$  and  $\beta'$  Phase in AlMgSi Alloys by transmission Electron Microscopy”, Acta Mater., Vol 46, pp. 3283-3287.
8. Bruner, R.W., 1997, Metallurgy of Die Casting Alloys, SDCE, Detroit, MI, pp 25-26.
9. Calvo, F.A., Criado, A.J., Gomez de Salazar, J.M. and Molleda, F., 1985, “Influencia de Los Tratamientos termicos De Esferoidizacion Sobre La Durezs De Las Aleaciones del Sistema Al-Si”, Rev. Metal. Madrid, pp.312-316.
10. Cerri E., et.al., Effects of Thermal Treatments on Microstructure and Mechanical Properties in a Thixocast 319 Aluminum Alloy”, Materials Science and Engineering A 284, pp. 254-260, 2000.
11. Chamberlain B., Wayanabe, S. and Zabek, V.J., 1977, “A natural Aluminum Alloy Designed for Permanent Mold Use ”, AFS Trans., Vol.85, pp.133-142.
12. Closset, B., Drew, R.A.L. and Gruzleski, J.E., 1986, “Eutectic Silicon Shape Control by Situ Measurement Of Resistivity”, AFS Trans., Vol. 94, pp. 9-16.
13. Davis, J.R. ed., 1996, Aluminum and Aluminum Alloys Asm Specialty handbook, ASM

- International, pp.290-555.
14. Druschitz A.P., et. al, "Mechanical Properties of High Performance Aluminum castings", SAE 2001 World Congress, Detroit, Michigan, 2001.
15. Dutta, I. and Allen, S.M., 1991, "A Calorimetric Study of Precipitation in Commercial Aluminum Alloy 6061", J. Mater. Sci. Let., Vol.10, pp.323-326.
16. Edwards, G.A., Dunlop, G.L. and Couper, M.J., 1994, "Fine scale Precipitation in Alloys 6061", 1994 Proceeding of the 4<sup>th</sup> International Conference of Aluminum Alloys ICAA4, Sanders, T.H. and Starke, E.A., editor, Georgia Institute of Technology, Atlanta, GA, Vol.1, pp.260.
17. Edwards, G.A., Stiller, K., Dunlop, G.L. and Couper, M.J., 1998, "The precipitation Sequence in Al-Mg-Si Alloys", Acta Mater., Vol.46, pp.3893-3904.
18. Gruzleski, J.E. and Benard, J.E., 1990, The Treatment of Liquid Aluminum-Silicon Alloys, American Foundrymen's Society, USA, pp.1-142.
19. Gupta, A.K. and Lloyd, D.J., 1992, "The Precipitation in a Superpurity Al-Mg-Si Alloy", ICAA3, pp.21-25.
20. Jacobs, M.H., 1972, "The Structure of the Metastable Precipitate formed During Aging of a Al-Mg-Si Alloy", Phil. Mag., Vol.26, pp.1-13.
21. Jorstad J.L., Pan Q.Y. and Apelian D., "Solidification Microstructure affecting Ductility in Semi-Solid-Cast Products", Materials Science and Engineering A 413-414, pp. 186-191, 2005.
22. Lynch, J.P., Brown, L.M. and Jacobs, M.H., 1982, "Microanalysis of Age hardening Precipitates in Aluminum Alloys", Acta Metallurgica, Vol.30, pp.1389-1395.
23. Matsuda K., Gamada H., Fujii K., Uetani Y., Sato T., Kamio A. and Ikeno S., 1998, "High Resolution Electron Microscopy on the Structure of Guinier Preston Zones in an Al-1.6 Mass Pct Mg<sub>2</sub>Si Alloy", Metall. Mater. Trans A, Vol.29, pp.1161-1168.
24. Meyers, C.W., 1985, "Solution Heat Treatment Effects on Ultimate Tensile Strength and Uniform Elongation in A357 Aluminum Alloys", AFS Trans., Vol. 93, pp.511-518.
25. Mohanty, P.S. and Gruzleski, J.E., 1995, "Mechanism of Grain Refinement in Aluminum", Acta Mater., Vol. 43, No.5, pp.2001-2012.

26. Murayama, M., Hono, K., Saga, M. and Kikuchi, M., 1998, "Atom Probe Studies on the Early Stages of Precipitation in Al-Mg-Si Alloys", Mater. Sci. Eng., A, Vol. 250, pp.127-132.
27. Murayama, M. and Hono, K., 1999, "Pre-precipitate Clusters and Precipitation Processes in Al-Mg-Si Alloys", Acta Mater., Vol.47, pp.1537-1545.
28. Naoi, T., Matsuda, K., Sato, T., Kamio, A. and Ikeno, S., 1998, The crystal structure of  $\beta''$ -Phase in Al-1.0 mass% Mg<sub>2</sub>Si-0.4 mass%Si Alloys, Proceeding of the 6<sup>th</sup> International Conference on Aluminum Alloys ICAA6, edited by T.Sato and S.kumai, (Toyohashi: The Japan Institute of Light Metals),2, p. 849-854.
29. Ou, B.L. and Shen, C.H., 2005, "Impact of Pre-aging on the tensile and bending properties of AA6061", Scandinavian J. Metallurgy, Vol.34, pp.318-325.
30. Pashley D.W., Rhodes J.W. and Sendorek A., 1966, "Delayed Ageing in Aluminum-Magnesium-Silicon Alloys: Effect on Structure and Mechanical Properties", J.inst. Metals, Vol. 94, pp. 41-49.
31. Porter, D.A. and Easterling, K.E., 1991, Phase Transformations in Metals and Alloys, Great Britain, UK, pp. 186-237.
32. Sagalowicz L., Hug G., Bechet D., Saintfort P. and Lapasst G., 1994, "A Study of the Structure Precipitation in the Al-Mg-Si-Cu System", ICAA, pp. 644-651.
33. Shchegoleva, T., 1968, "Ageing Mechanism of the Alloy Al-Mg-Si", The physics of metals and Metallography, Vol. 25, pp. 56-64.
34. Shivkumar, S., Ricci Jr, S., Steenhoff, B., Apelian, D. and Sgiworth, G., 1989, "An Experimental Studt to Optimize the Heat Treatment of A356 Alloy", AFS Trans., Vol. 97, pp. 791-810.
35. Thomas, G., 1961, "The Ageing Characteristics of Aluminum Alloya-Electron Transmission Studies of Al-Mg-Si Alloys", Journal of the Institute of Metals, Vol. 90, pp. 57-63.
36. Tsukuda, M., Koike, S. and Harada M., 1978 "The Heat Treatment of Al-7%Si-0.3%Mg Alloys", J. of Japan Inst. Of Light Metals, pp. 8-14.
37. Verhoeven, J.D., 1975, Fundamentals of Physical Metallurgy, John Wiley & Sons, Canada, pp. 190-195.
38. Wahi, R.P. and von Heimendahl, M., 1974, "Hardening Precipitation in AlMgSi Alloys", Phys. Status Solidi (a), Vol. 24, pp. 607-612.

39. Yu Y.B., et.al., "Possibility of Improving Tensile Strength of Semi-Solid Processed A356 Alloy by a Post Heat Treatment at an Extremely High Temperature", Scripta Materialia, 40, no.7, pp. 767-771, 1999.
40. Zhang, D.L., Zheng, L.H. and StJohn, D.H., 2002, "Effect of Short Solution Treatment Time on Microstructure and Mechanical Properties of Modified Al-7wt.%Si-0.3wt.%Mg Alloys", J. Light Metals 2, pp.27-36.
41. Zhu, P.Y., Liu, Q.Y. and Hou, T.X., 1985, "Spheroidization of eutectic silicon in Al-Si alloys", AFS Trans., Vol. 93, pp.609-614.
42. Zoqui E.J. "Morphological analysis of SSM Al-4.5 wt%Cu measured by the rheocast quality index" Journal of Materials Processing Technology., Vol. 143-144, 20 December 2003, pp. 195-201.

**ภาคผนวก 1**  
**ผลงานที่เผยแพร่ในการประชุมวิชาการ**

## Influence of Heat Treatment Processing Parameters on the Hardness and the Microstructure of Semi-Solid Aluminum Alloy A356

Siriporn KUNTONGKUM<sup>1</sup>, Sirikul WISUTMETHANGOON<sup>2</sup>,  
Thawatchai PLOOKPHOL<sup>1</sup> and Jessada WANNASIN<sup>1</sup>

<sup>1</sup> Department of Mining and Materials Engineering, Faculty of Engineering,  
Prince of Songkla University, Hat Yai, Songkhla 90112,

<sup>2</sup> Department of Mechanical Engineering, Faculty of Engineering,  
Prince of Songkla University, Hat Yai, Songkhla 90112,

### Abstract

Received Nov. 13, 2008

Accepted Feb. 10, 2009

The objective of this research is to study the influence of heat treatment parameters on the mechanical properties and the microstructure of semi-solid aluminum alloy A356. The cast specimen were heat treated by using T6 heat treatment processes.

T6 treatment condition was as follows: solubilizing at 520 and 540°C for 4 hr, before quenching and aging at 135°C, 165°C and 195°C for 4, 8, 12 and 16 hr.

Mechanical properties of semi-solid aluminum alloy A356 were investigated by hardness tests and by using OM.

The process in preparation called Gas Induced Semi-Solid (GISS) utilizes the combination of local rapid heat extraction and agitation achieved by the injection of fine gas bubbles through a graphite diffuser to create semi-solid slurry. In the GISS process, the die casting machine and the process cycle remain little changed from those of conventional die casting. The GISS unit creates a low solid fraction of semi-solid slurry in the ladle during the ladle transfer to the shot sleeve. The semi-solid slurry is then poured directly into the shot sleeve.

**Key words:** Semi-solid, A356, Heat treatment

### Introduction

Aluminum-silicon alloy is known for its good castability and good corrosion resistance. In this alloy series, A356 (Al-7%Si-0.3%Mg) has a very good properties for cast aluminum and was used to produce many important parts which require high strength, elongation and light weight. The automobile industries increase the use of aluminum alloy because of the greater demand for lightweight and high strength materials resulting in reduction of fuel consumption. Magnesium addition makes this alloy heat treatable and hence improves its mechanical properties by forming Mg<sub>2</sub>Si phase. During heat treatment process, solution treatment makes large Mg<sub>2</sub>Si particles in the aluminum alloy dissolved and diffuse throughout the matrix as solid solution. Upon rapid quenching the solution-treated sample, magnesium

stays in the matrix as the supersaturated solid solution, and ready to precipitate out during aging process. These intermetallic precipitates enhance the mechanical properties by precipitation hardening. Therefore, the mechanical properties of these alloys are significantly influenced by the present of the  $\beta$  (Mg<sub>2</sub>Si) phase and distribution of eutectic Si. The precipitation sequences are shown below:



The Gas Induced Semi-Solid (GISS) process applies the knowledge that the semi-solid structure can be efficiently formed by the combination of local rapid heat extraction and agitation.<sup>1,2</sup> In the GISS process, the local rapid heat extraction occurs at the surfaces of the porous graphite diffuser when it is submerged in liquid aluminum. At the same time, vigorous agitation is

induced at the chill surfaces by the flow of very fine inert gas bubbles out of the porous graphite. Figure 1 shows the schematic of the GISS process.

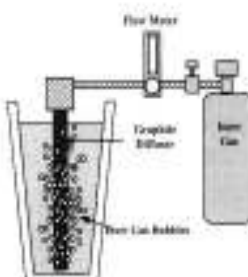


Figure 1. Schematic of the Gas Induced Semi-Solid (GISS) process.

In the GISS die casting process, the die casting equipment and the process cycle remain little changed from those of conventional die casting. The only added step occurs during the ladle transfer when a graphite diffuser is immersed for about 10 seconds to create semi-solid slurry with a low solid fraction of about 10%. The semi-solid slurry is then poured into the shot sleeve for a die casting injection to produce a semi-solid casting part. Figure 2 shows the schematic of the GISS die casting process.

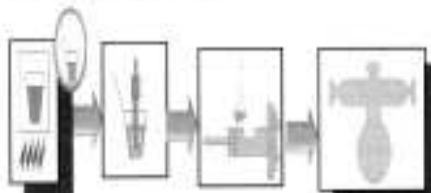


Figure 2. Schematic of the GISS die casting process.

Funning in the semi-solid state may be attractive in this regard as it helps with the porosity and segregation problems inevitable in conventional casting and provides a sound, globular microstructure with relatively higher hardness and ductility values.<sup>11</sup>

Heat treatment can be used for improving the mechanical properties of SSM. These studies identified the following precipitation sequence: (i) aluminum supersaturated solid solution, (ii) cluster of Si and Mg atoms, (iii) dissolution of Mg cluster and formation of Mg/Si co-cluster (GP-zone), (iv)  $\beta$  rod precipitates, (v)  $\beta$  ( $Mg_2Si$ ) stable plates.<sup>12</sup>

It has been suggested that the increase in strength of Al-Mg-Si alloy during the early stage of aging is due to the increase in energy required for the dislocations to break the Mg-Si bond as they pass through GP-zone precipitates. As the aging time increases, GP zone transform to larger  $\beta$  precipitates, and the alloy becomes stronger and harder but less ductile. If aging is continued so that the intermediate precipitates coalesce and coarsen to form  $\beta$  equilibrium phase, the alloy becomes overaged and weaker than in the peak aged condition. A maximum strength (peak aged condition) is eventually reached if the aging temperature is sufficiently high, and is usually associated with the formation of an intermediate metastable precipitate.

## Materials and Experimental Procedures

### Methodology

The material used in this study was semi-solid aluminum alloy A356 produced by new rheocasting (NRC). Its nominal composition is shown in Table 1.

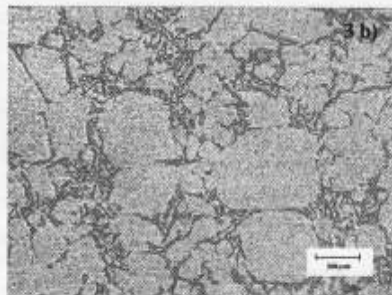
Table 1. Nominal composition of the A356 alloy

Al	Si	Mg	Fe	Cu	Mn	Zn	Ti
10.1	7%	.35	20	.20	.10	.10	.230

T6 was used as the heat treatment process with the solution treated temperature and time of 520 and 540°C and 4 hours, respectively. After quenching the specimens were aged at 135°C, 165°C and 195°C. The microstructure of the as-cast and heat-treated specimen was examined using the optical microscopy. The hardness was measured from three specimen for each condition, and from nine different points in each specimen by using Vickers micro-hardness test. The test head load was fixed at 100 grams.



*Influence of Heat Treatment Processing Parameters on the Hardness and the Microstructure of Semi-Solid Aluminum Alloy A356*

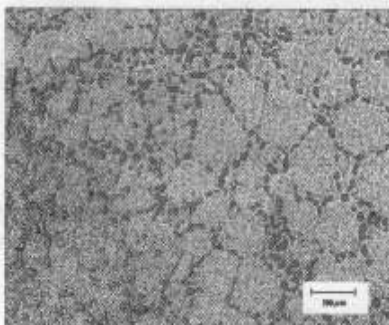


**Figure 3.** A typical dendritic liquid-cast structure (3a), compared to a semisolid-cast structure of A356 alloy (3b)

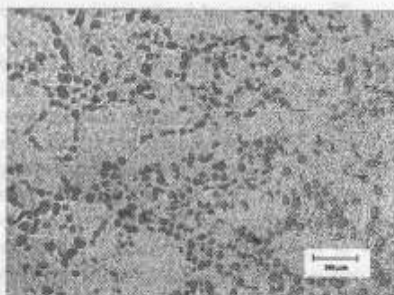
Figure 3a. Shows the dendritic structure of conventional cast A356 while Figure 3b illustrates the globular structure of SSM cast A356. Both structures consist of primary phase  $\alpha$ -Al and eutectic mixture of Al and Si along the grain boundaries.

### Results and Discussion

Figures 4 and 5. Show the microstructure of semi-solid A356 after solution-treated at 520°C and 540°C for 4 hrs. The structure consists of  $\alpha$ -Al and Mg<sub>2</sub>Si phases in which Mg<sub>2</sub>Si phase along the grain boundary becomes discontinuous and round in shape suggesting that solution treatment dissolve Mg<sub>2</sub>Si phases into the Al-matrix. However, there is not much difference in the microstructure between the two samples with different solution treated temperatures.

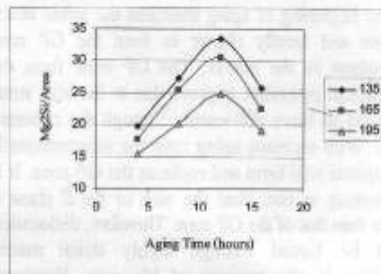


**Figure 4.** Optical micrograph of semi-solid A356 alloy solution-treated at 520°C for 4 hours.

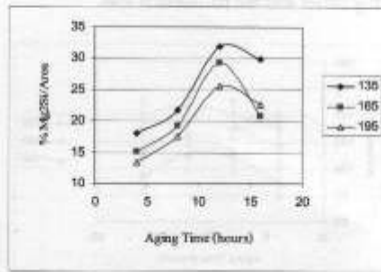


**Figure 5.** Optical micrograph of semi-solid A356 alloy solution-treated at 540°C for 4 hours

After quenching, the solute atoms in the matrix are in the supersaturated condition and tend to precipitate out during aging. It can be observed from Figures 6 and 7 that as the aging time increases, but less than 12 hours, the numbers of Mg<sub>2</sub>Si phase increase. Moreover, the numbers of Mg<sub>2</sub>Si phase is highest at the aging temperature of 135°C.



**Figure 6.** % Mg<sub>2</sub>Si of semi-solid A356 alloy solution-treated at 520°C for 4 hours and aged at 135, 165 and 195°C for 4,8,12 and 16 hours.



**Figure 7.** % Mg<sub>2</sub>Si of semi-solid A356 alloy solution-treated at 540°C for 4 hours and aged at 135, 165 and 195°C for 4,8,12 and 16 hours.

The variations of hardness when exposed to different aging temperatures for different aging times are shown in Figures 8 and 9. These are correlated with the numbers of Mg<sub>2</sub>Si phase in which the hardness increases with increasing the number of Mg<sub>2</sub>Si phase. The peak hardness is achieved at the aging time of 12 hours in every condition. Although not including in this study, it is observed from Figure 8 and 9 that the optimum aging time seems to be shorter at higher aging temperature. The shorter aging time is due to the higher diffusion rate of the solute atoms at higher aging temperature, and hence the peak hardness is achieved after shorter aging time.

It is also found in Figures 8 and 9 that the hardness of the specimen increases with increasing aging time until the peak hardness is attained. Then the hardness tends to decrease upon further aging. This result could be explained by the precipitation hardening process of aged specimen which depends greatly on the aging time and aging temperature. The initial increase in hardness is attributed to the diffusion assisted from second phase particles. At the beginning of aging treatment the solute atoms diffuse and locally cluster to form the GP zone throughout in the matrix. The GP zone form the mechanical properties improve due to the high stress required to force dislocation through the coherent zone. With increase aging time the intermediate B' precipitate will form and replaces the GP zone. It is interesting to note that the size of the B' phase is larger than that of the GP zone. Therefore, dislocation must be forced through highly strain matrix resulting in the increase of hardness. However, aging has effect to the growth of the B' phase and transformation of B' phase to the stable and finally B phase transformation to B phase incoherent. As the B phase grow its decrease in number of dislocation bowing easier and the hardness is loss.

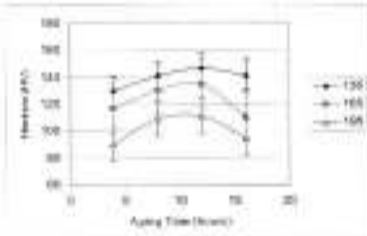


Figure 8. The average hardness of semi-solid A356 alloy solution-treated at 520°C for 4 hours and aged at 135, 165 and 195°C for 4, 8, 12 and 16 hours.

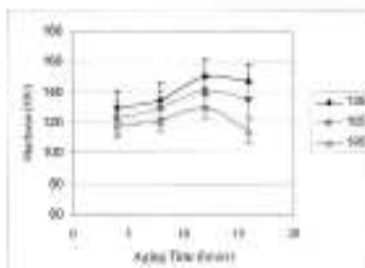


Figure 9. The average hardness of semi-solid A356 alloy solution-treated at 540°C for 4 hours and aged at 135, 165 and 195°C for 4, 8, 12 and 16 hours.

Figures 10 to 12 show the microstructure of semi-solid A356 specimens aging for 12 hours at 135, 165 and 195°C, respectively. Referring to Figure 7 and Figure 9, the maximum hardness and the densest Mg<sub>2</sub>Si phase is derived for aging at 135°C. This is due to the change in precipitation sequence at high aging temperature in that the GP zone will not form at the early state of aging. The lack of GP zone formation contributes to lower density of the B' phase because the GP zone is potent to be nucleation site for the B' phase as described in Figures 10 to 12 in which the numbers of Mg<sub>2</sub>Si phase decrease as the aging temperature increases.

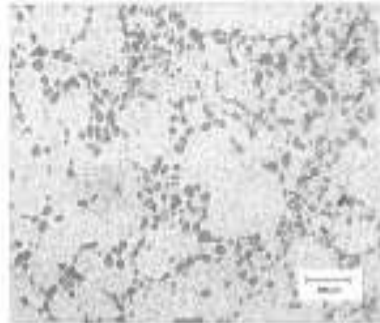
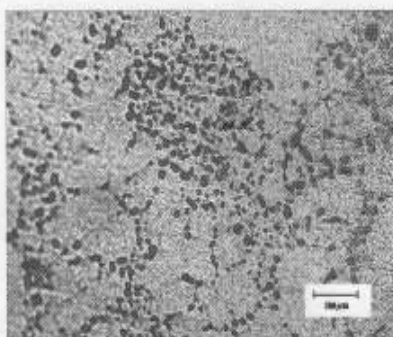
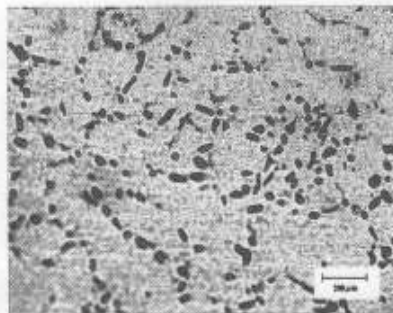


Figure 10. Optical microstructure of semi-solid A356 alloy solution-treated at 540°C for 4 hours and aged at 135°C at 12 hours.

*Influence of Heat Treatment Processing Parameters on the Hardness and the Microstructure of Semi-Solid Aluminum Alloy A356*



**Figure 11.** Optical microstructure of semi-solid A356 alloy solution-treated at 540°C for 4 hours and aged at 165°C at 12 hours.



**Figure 12.** Optical microstructure of semi-solid A356 alloy solution-treated at 540°C for 4 hours and aged at 195°C at 12 hours.

### Conclusions

1. As the aging temperature increase the optimum aging time is shorter and the maximum value of hardness decrease.
2. The shorter aging time at higher aging temperature is due to the higher diffusion rate of the solute atoms.
3. As the aging temperature decrease to proper temperature, the numbers of Mg<sub>2</sub>Si phase increase.

### Acknowledgements

The authors gratefully acknowledge the financial support from the PSU-Research Fund. Equipment and facilities were also provided by the Department of Mining and Materials Engineering.

Prince of Songkla University, Hat Yai, Thailand. We also thank Mr. Somjai Junudom for helping with the casting aluminum alloy A356 in this experiment.

### References

1. Flemings, M.C. and Martinez, R.A. 2005. Evolution of particle morphology in semisolid processing Metall. Trans A-Phys. Metall. Mater. Sci. **36A(8)** : 2205-2210.
2. Yucel Birol, 2008. *Semi-solid processing of the primary aluminium die casting alloy A356*. Tubitak, Kocaeli : Materials Institute, Marmara Research Center.
3. Evangelista, E., Cabibbo, M. and Spigarelli, S. 2003. A TEM investigation on the effect of semi-solid forming on precipitation processes in an AL-Mg-Si Alloy. Mater. Charact. **49** : 193-202.

## ประวัติผู้เขียน

ชื่อ สกุล นางสาว สิริพร ขันทองคำ

รหัสประจำตัวนักศึกษา 5010120076

วุฒิการศึกษา

วุฒิ

ชื่อสถาบัน

ปีที่สำเร็จการศึกษา

วิศวกรรมศาสตรบัณฑิต มหาวิทยาลัยเทคโนโลยีพระจอมเกล้าธนบุรี

2549

(วิศวกรรมวัสดุ)

### การตีพิมพ์เผยแพร่ผลงาน

สิริพร ขันทองคำ, ศรีกุล วิสุทธิเมธางกูร, นวัชชัย ปลูกผล, เจริญ วรรษตินธุ์. "Influence of Heat Treatment Processing Parameters on the Hardness and the Microstructure of Semi-Solid A356 Aluminum Alloy". ในงาน The Fifth Thailand Materials Science and Technology Conference (MSAT5) วันเดือนปีและสถานที่ จัดประชุม 16-19 September 2008 , Miracle Grand Hotel, Bangkok, Thailand จัดงานโดย Technical Training Section, National Metal and Materials Technology (MTEC)